



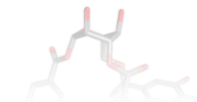
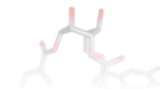
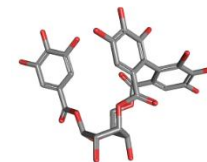
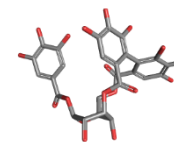
SIAN

Simpósio de Alimentos e Nutrição

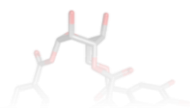
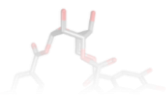
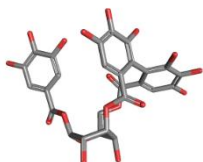
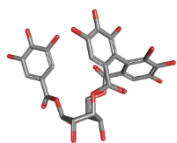
4ª EDIÇÃO

Sustentabilidade e Inovação na Ciência dos Alimentos - Impacto na Bioeconomia

17 E 18 DE JUNHO DE 2019



Espectrometria de Massas: aplicações e tendências dentro das ciências “ômicas”



Laboratório Multiusuários de Química de Produtos Naturais (LMQPN)



Prof. Dr. Guilherme Julião Zocolo (Embrapa)

Profa. Dra. Davila Zampieri (UFC)

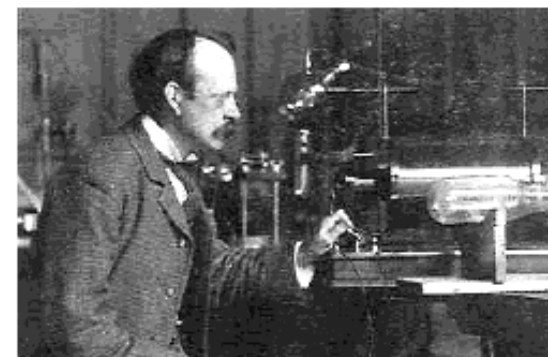
Dr Edy Sousa de Brito (Embrapa)

Espectrometria de Massas

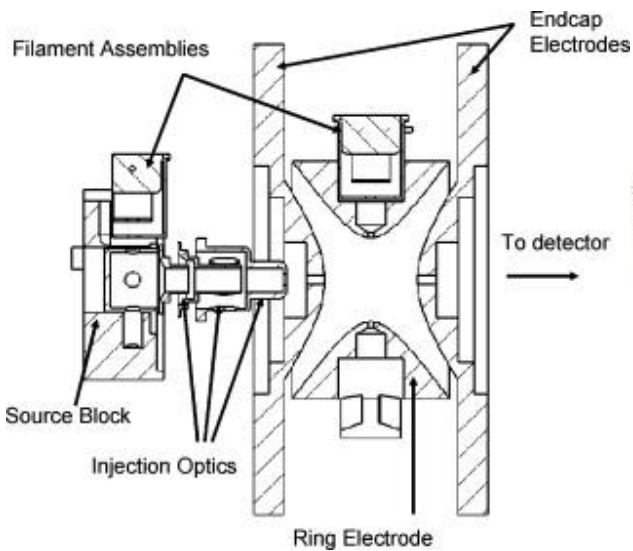
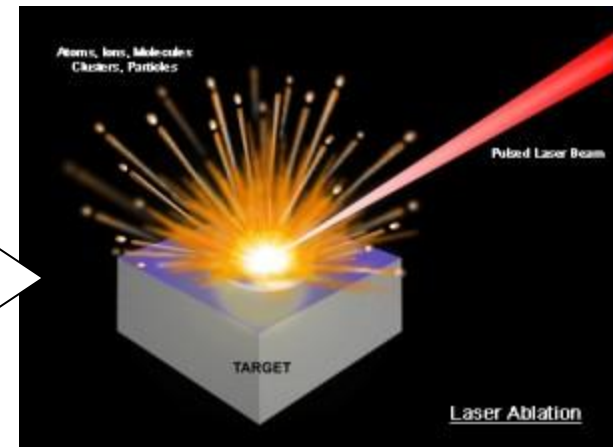
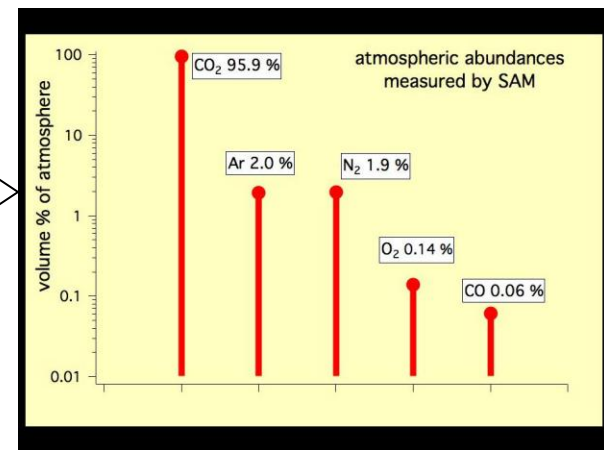
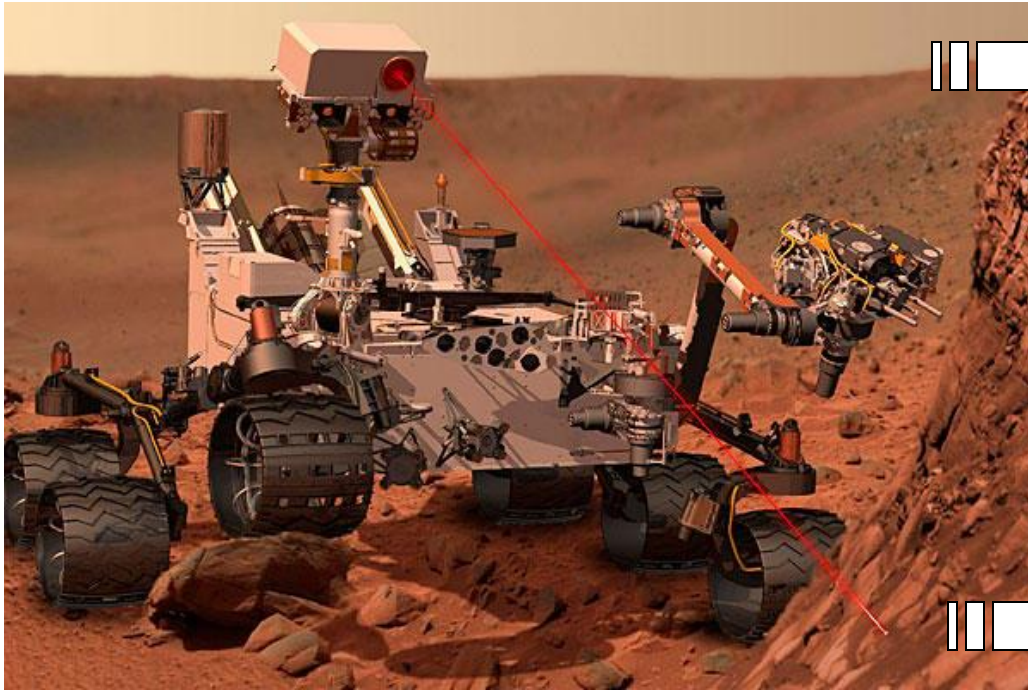
- 1897, Joseph John Thompson descobriu que todos os gases produzem a mesma partícula carregada negativamente e determinou a razão massa carga (m/z), a partir da magnitude das deflexões de raios negativamente carregados através de campos magnéticos e elétricos.



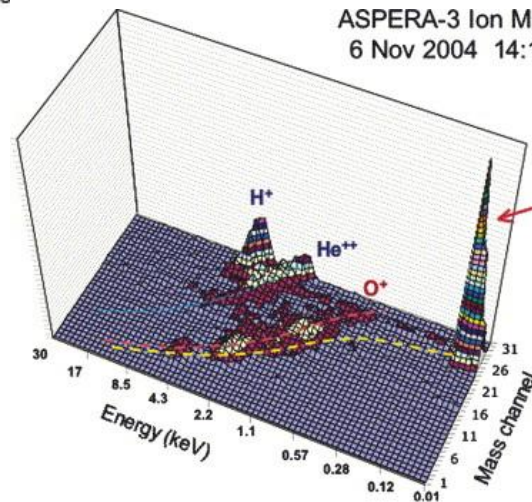
- 1911 – J. J. Thompson
Primeiro Espectrômetro de Massas



Exploração de Marte



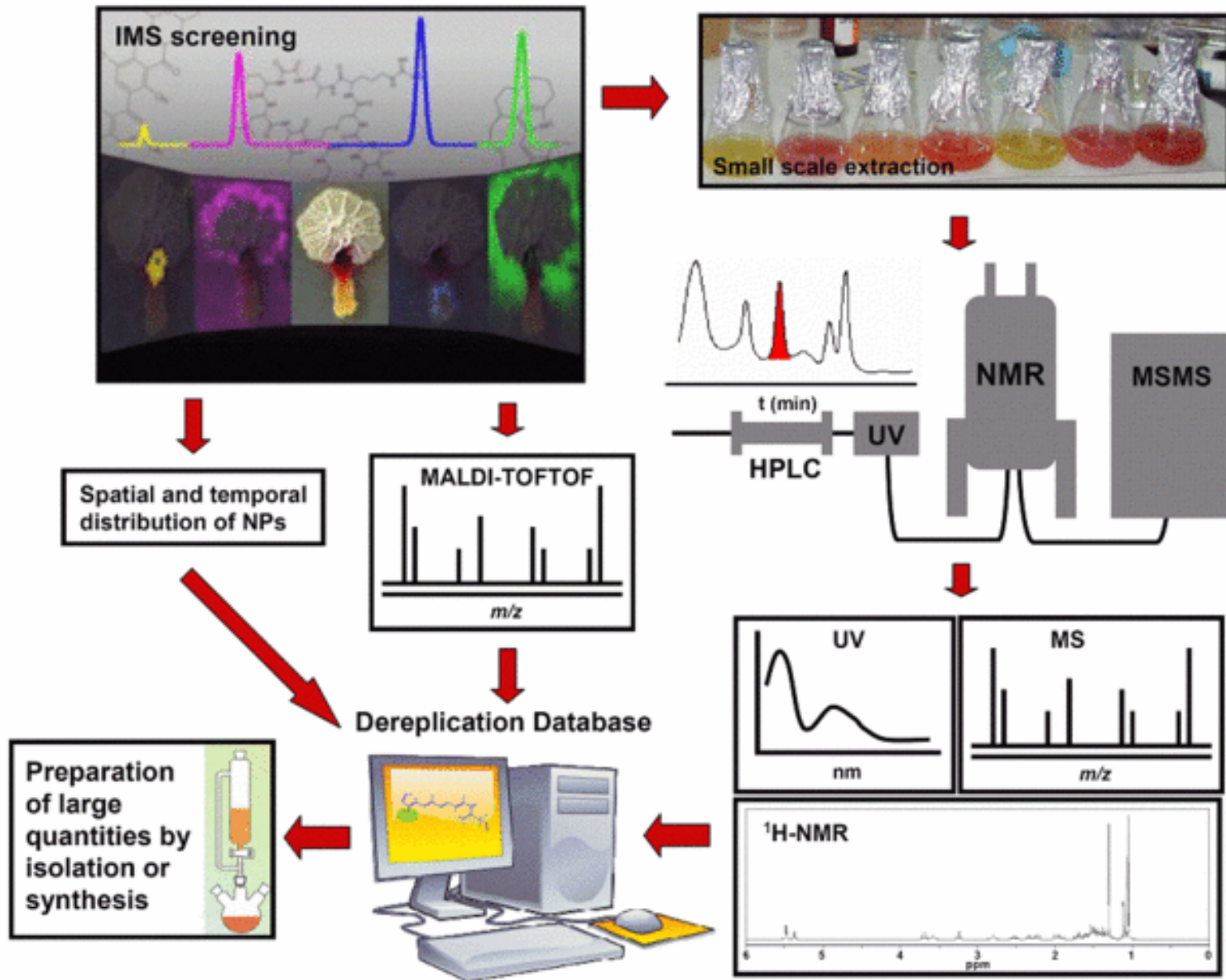
ASPERA-3 Ion Mass Spectrum
6 Nov 2004 14:18 - 14:24 UT



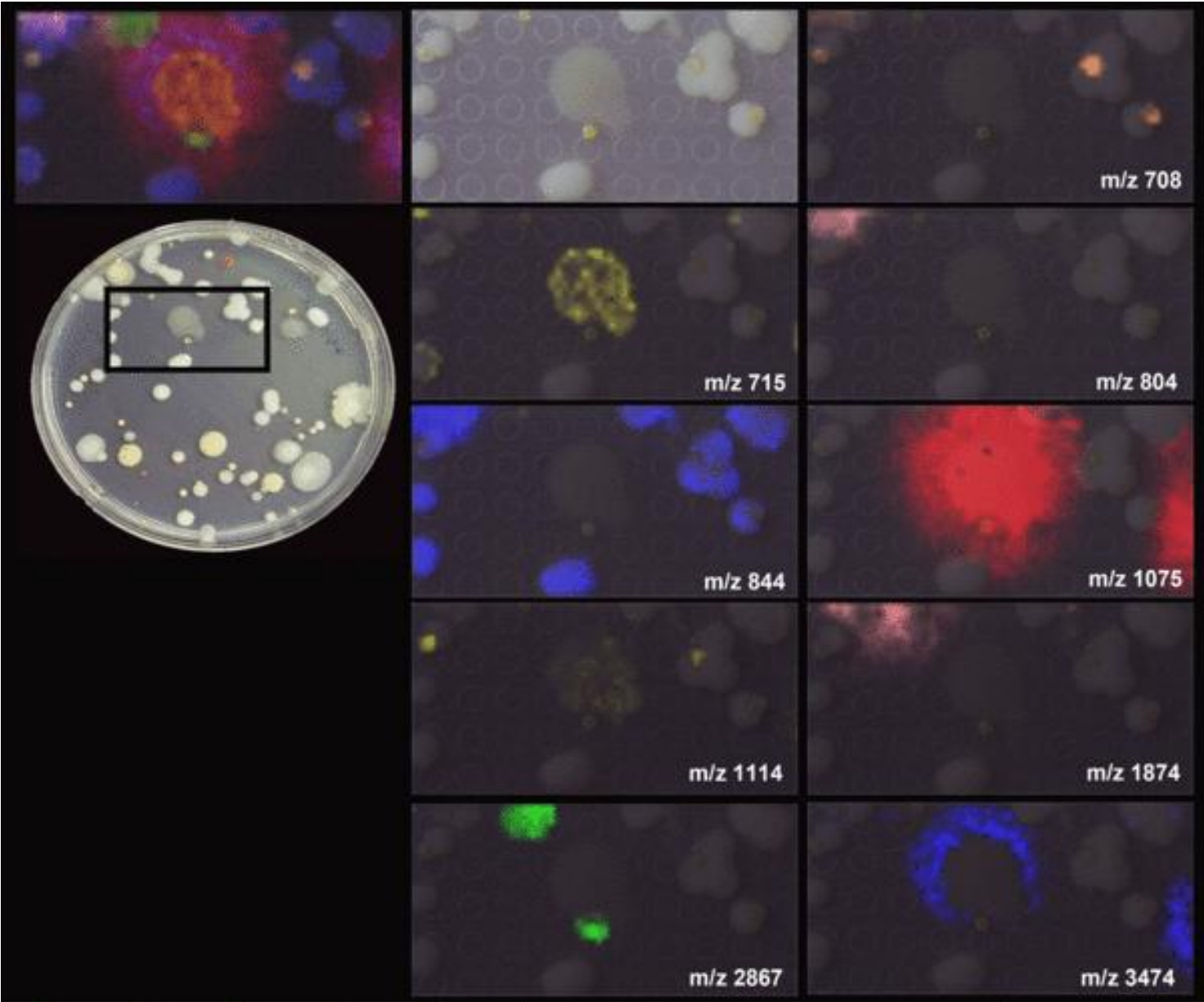
Cold dense ionospheric ions
(O₂⁺, CO₂⁺, ...)

Fonte: NASA/JPL-Caltech

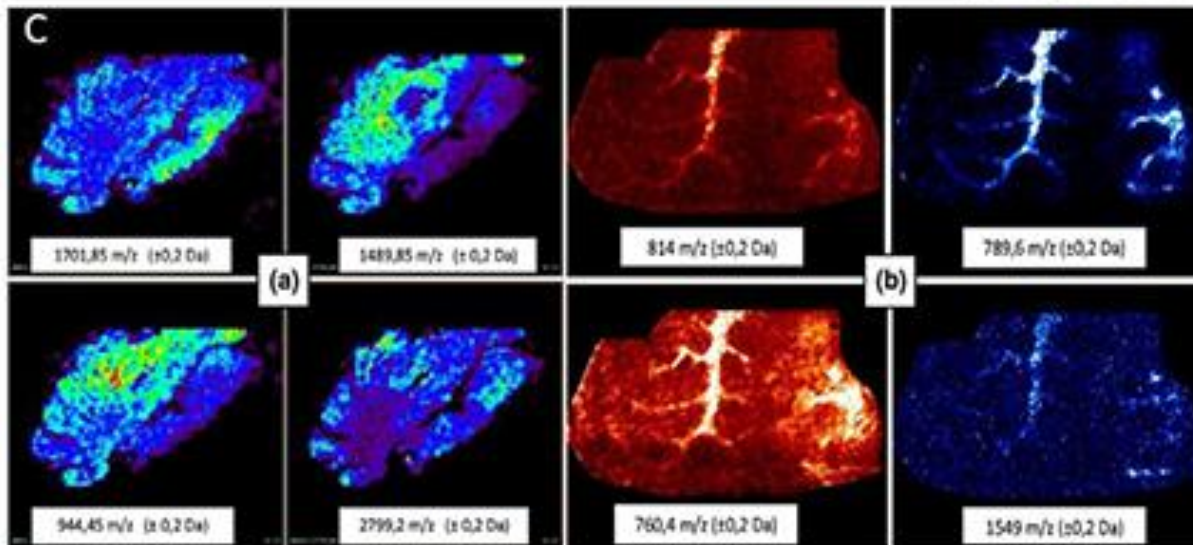
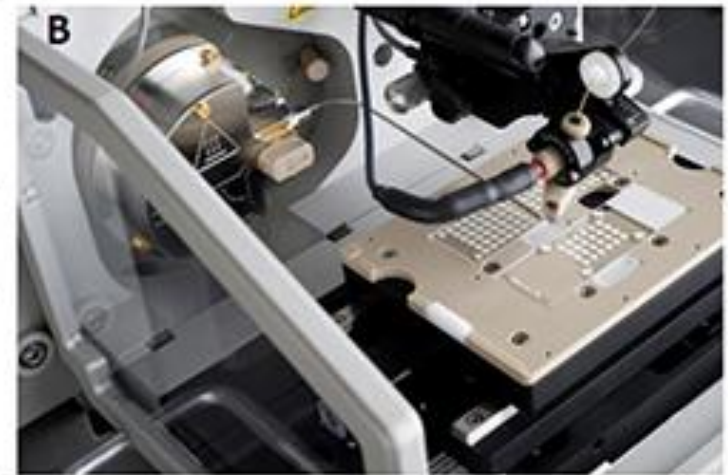
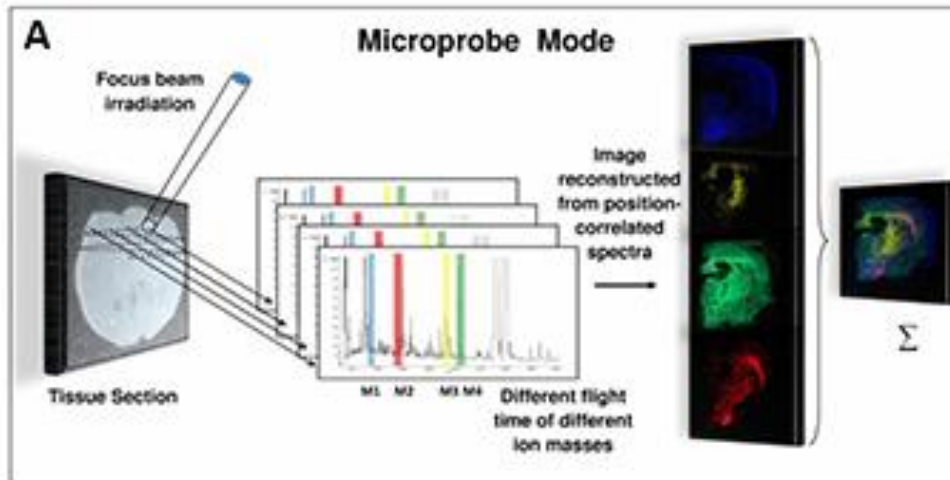
Desenvolvimento e aplicação de imagens em espectrometria de massas



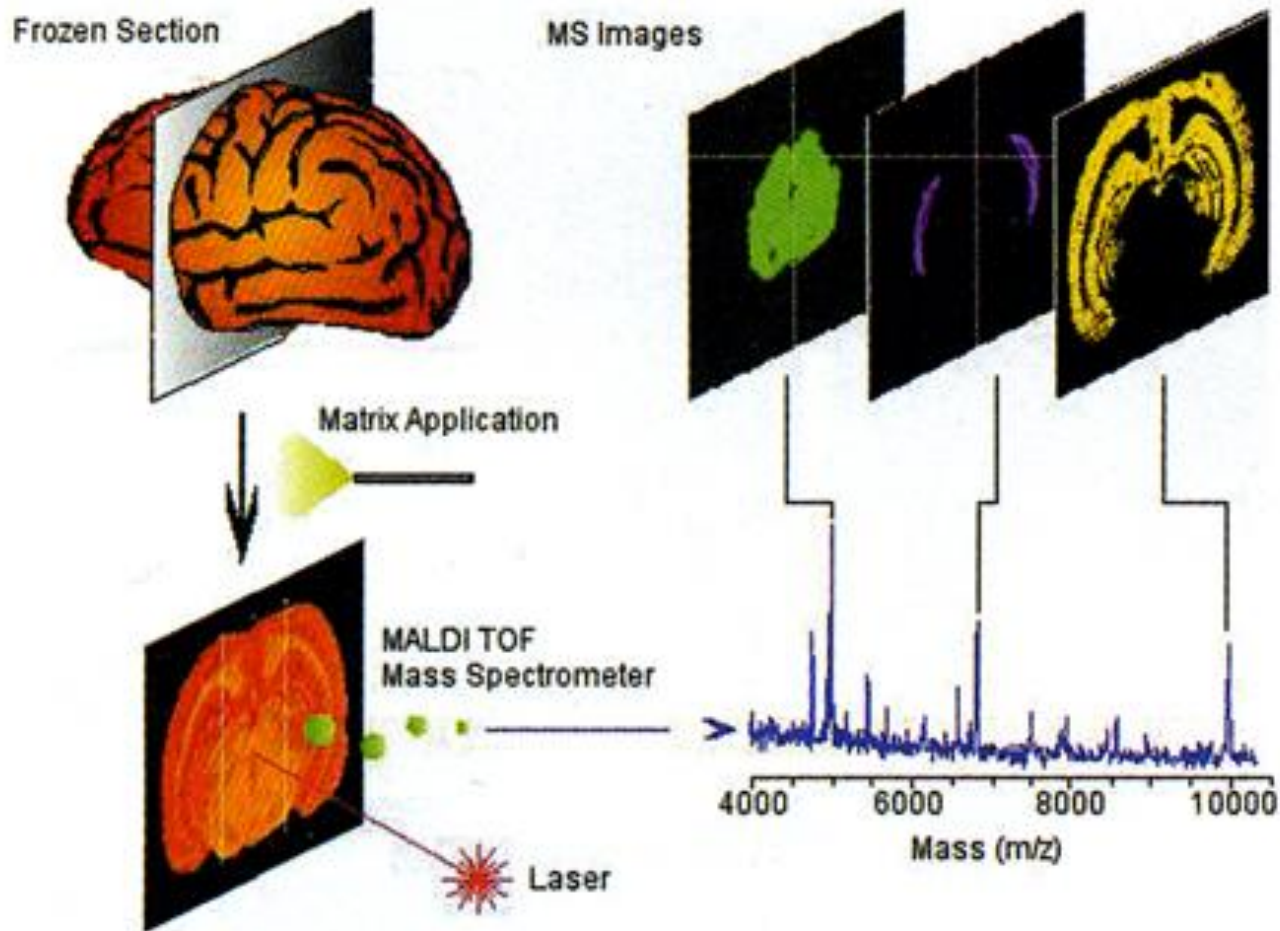
Desenvolvimento e aplicação de imagens em espectrometria de massas



Metodologia desenvolvida para a análise espacial de tecido por espectrometria de massa MALDI

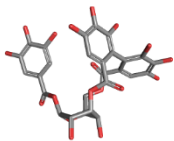
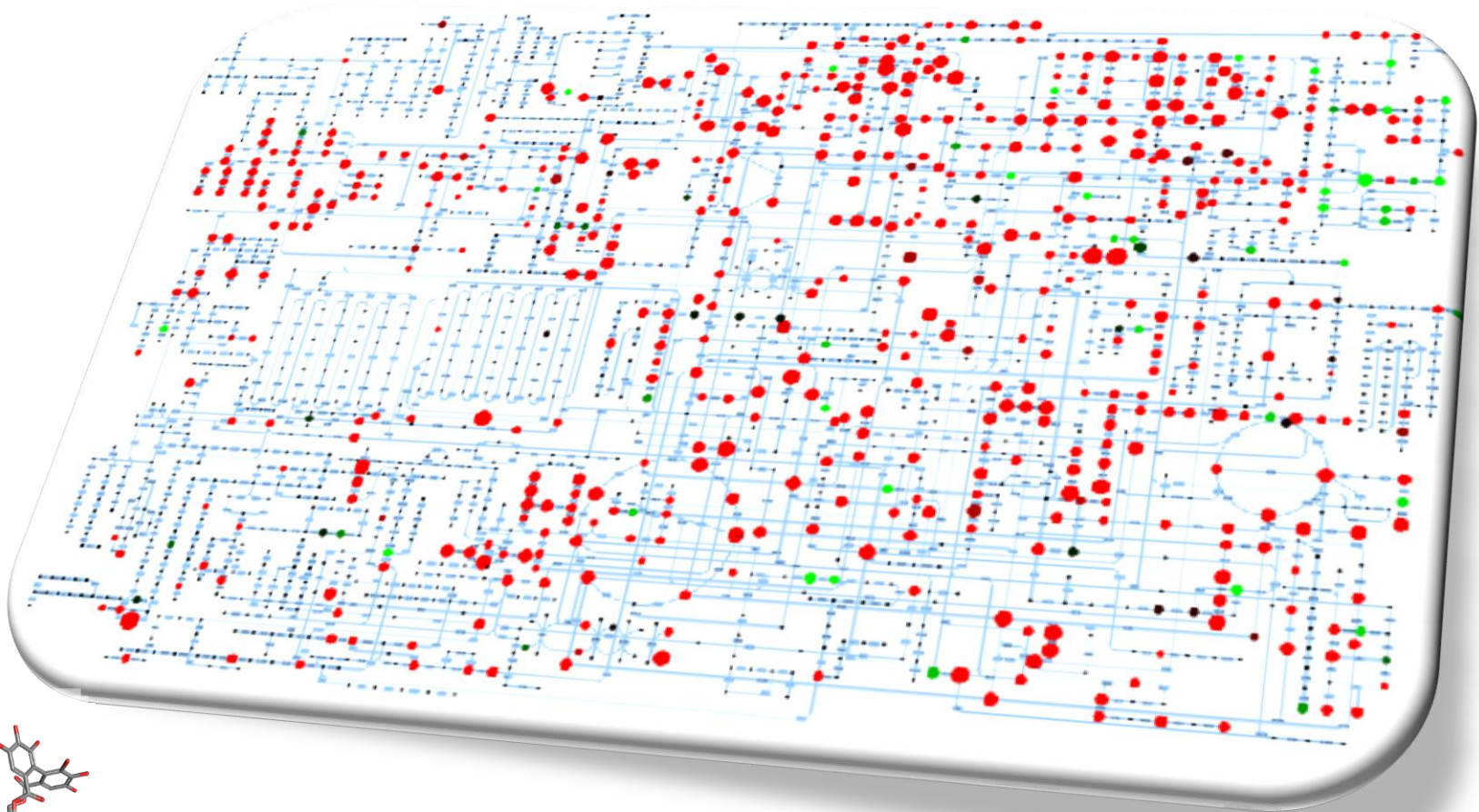
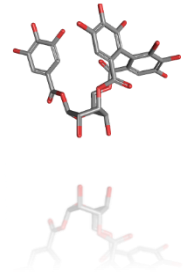


Metodologia desenvolvida para a análise espacial de tecido por espectrometria de massa MALDI



Metabolômica

Conjunto de moléculas de
baixa massa molecular
produzidas por um organismo



Metabolômica

Area of application

Plant breeding and crop quality assessment

Food assessment and safety

Toxicity assessment

Nutrition assessment

Medical diagnosis and assessment of disease status

Pharmaceutical/drug developments

Yield improvement in crops and fermentations

Biomarker discovery

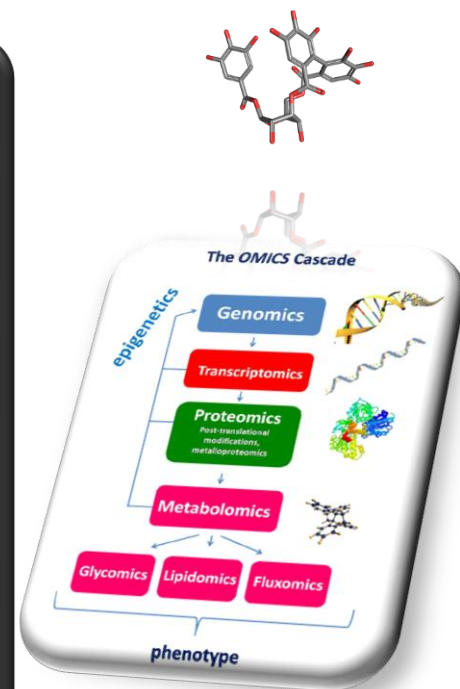
Technological advances in analytical chemistry

Genotyping

Environmental adaptations

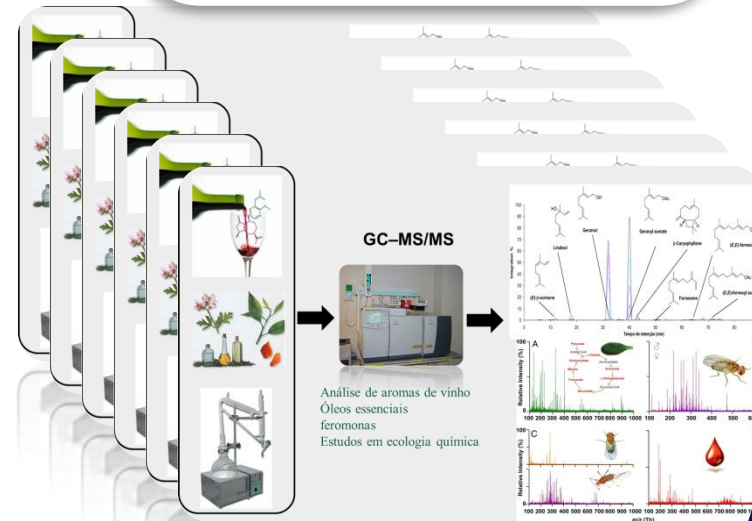
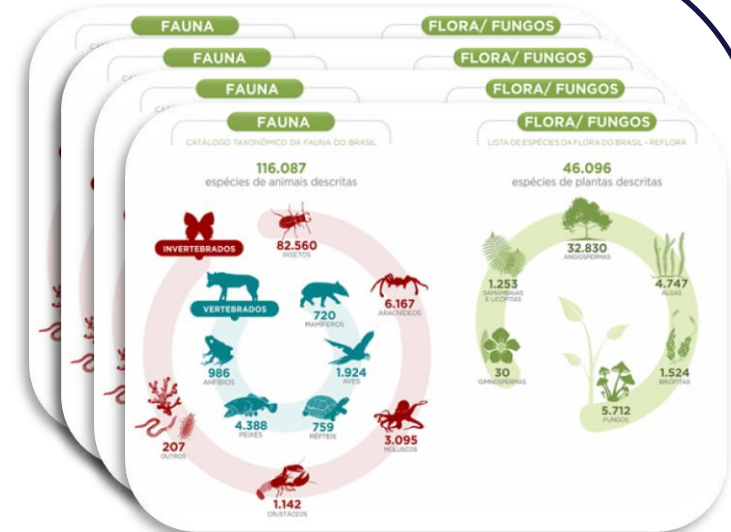
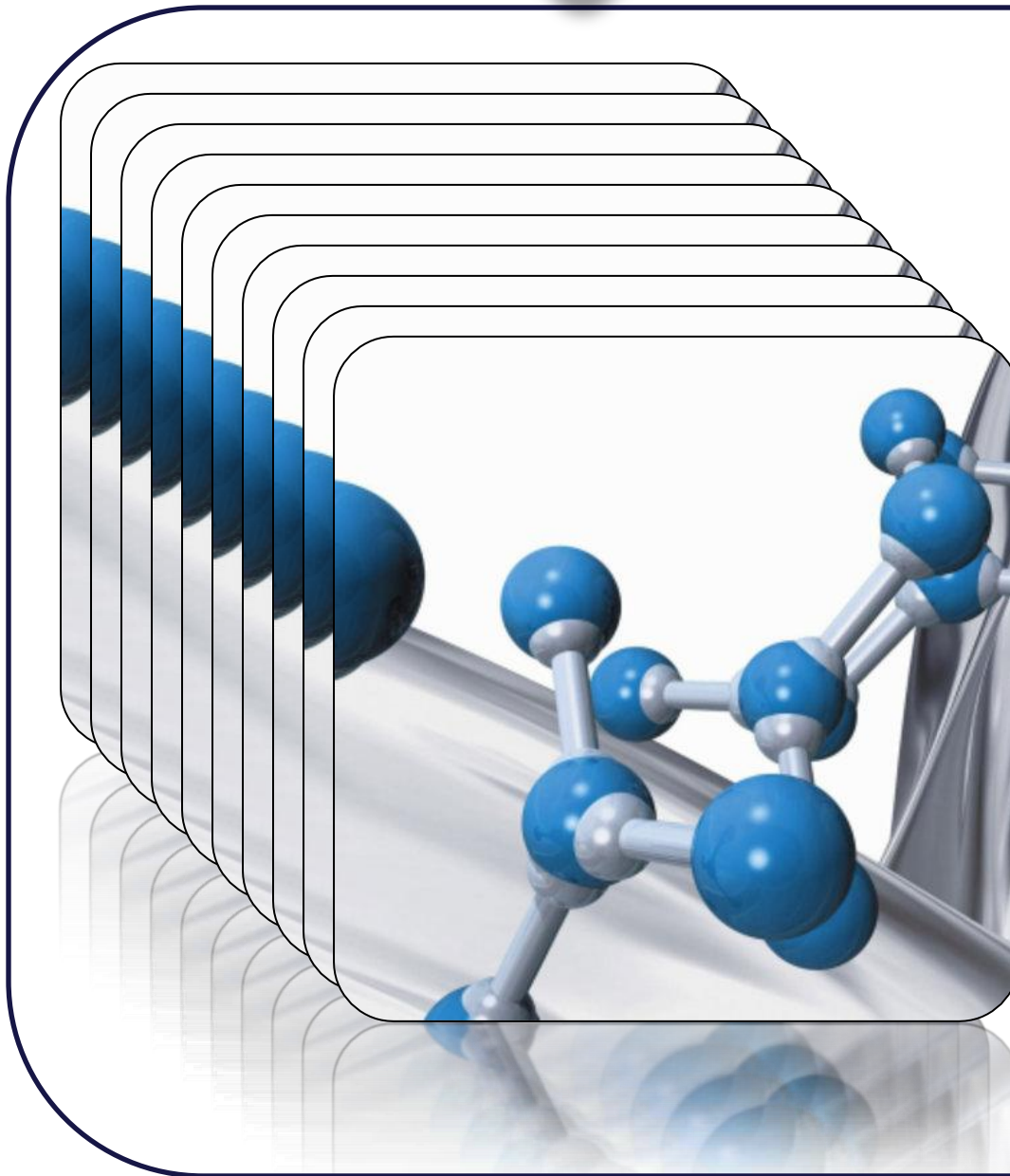
Gene function elucidation

Integrated in systems biology

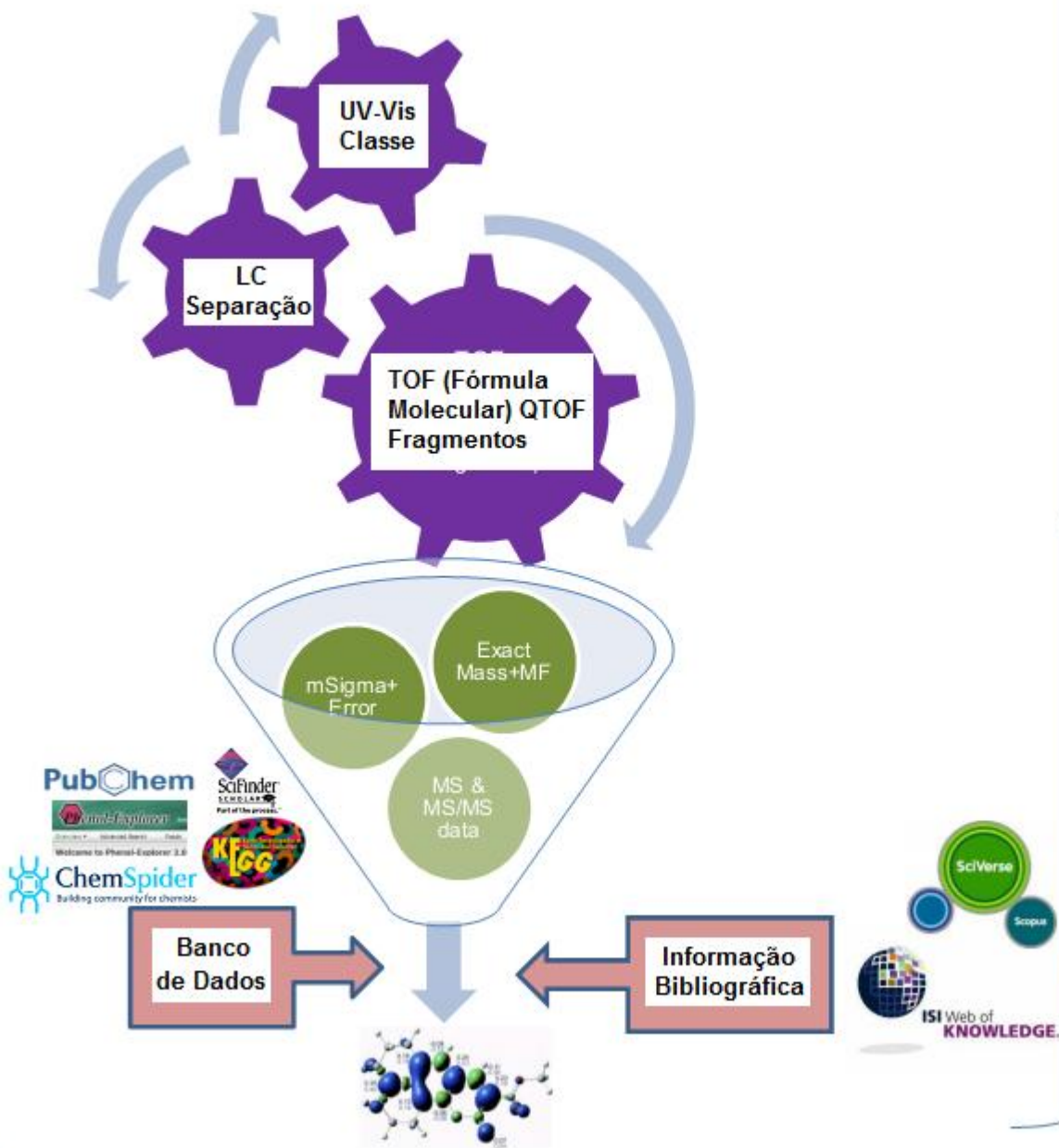


Metabolômica

Complexidade



Metodologia de Desreplificação

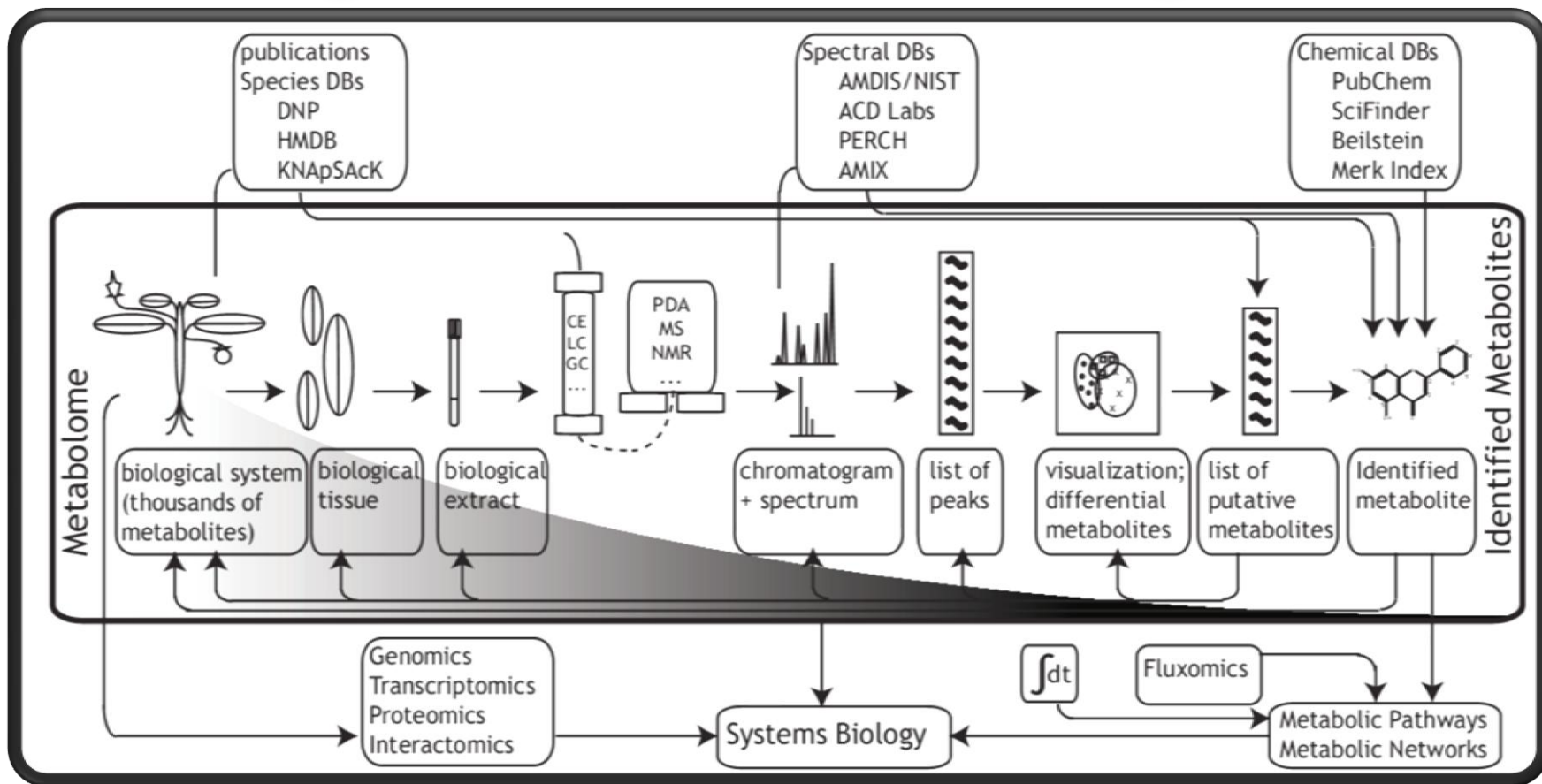


Caracterização

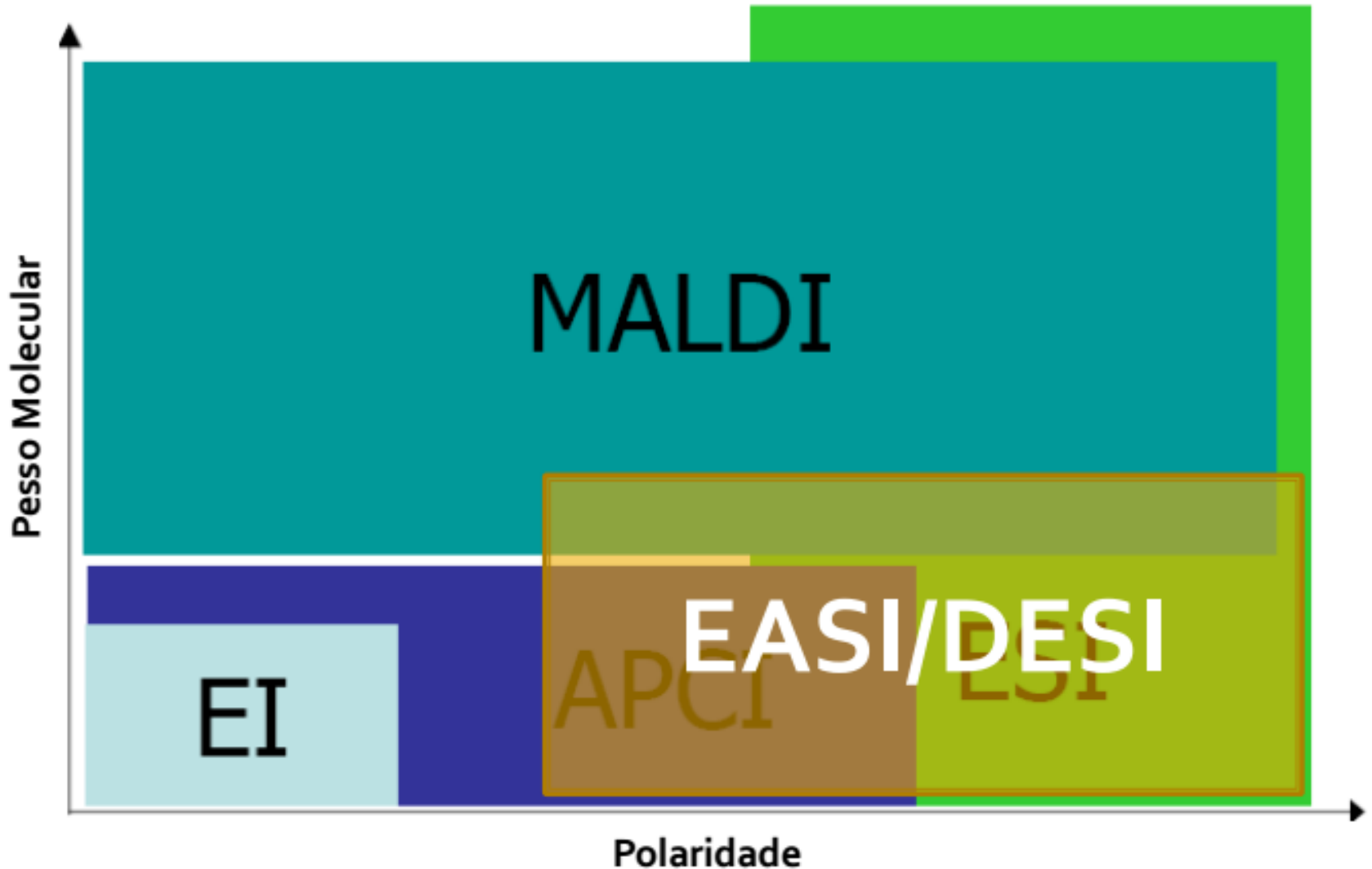
RMN

Metabolômica

Complexidade

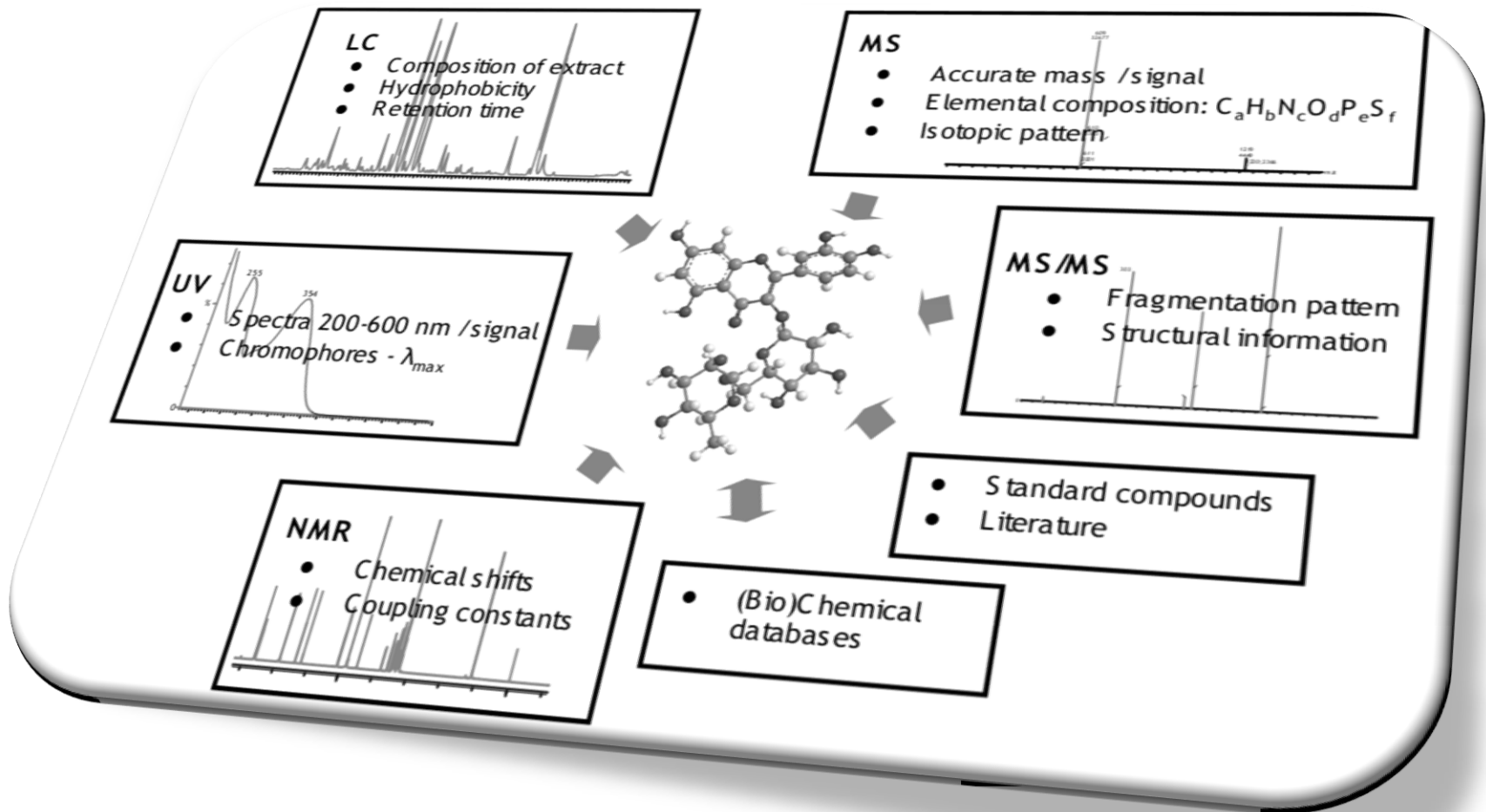


Abrangência da espectrometria de massas



Desafios

- **Grande volume de dados**



Tendências

Espectrometria de Massa em Alta Resolução

Mass resolution

What is it?

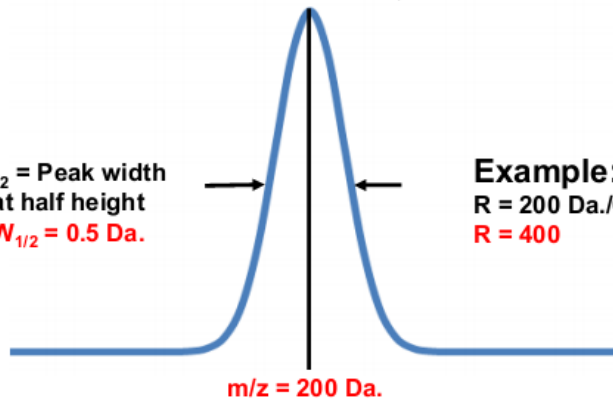
Definition:

Mass resolution = (ion mass)/(mass peak width)

$$R = (m/z) / W_{1/2}$$

$W_{1/2}$ = Peak width
at half height
 $W_{1/2} = 0.5 \text{ Da.}$

Example:
 $R = 200 \text{ Da.} / 0.5 \text{ Da.}$
 $R = 400$



Mass resolution

Older definition – peaks of equal heights

Definition:

Mass resolution = (ion mass)/(mass peak separation)

$$R = (m/z) / \Delta_m$$

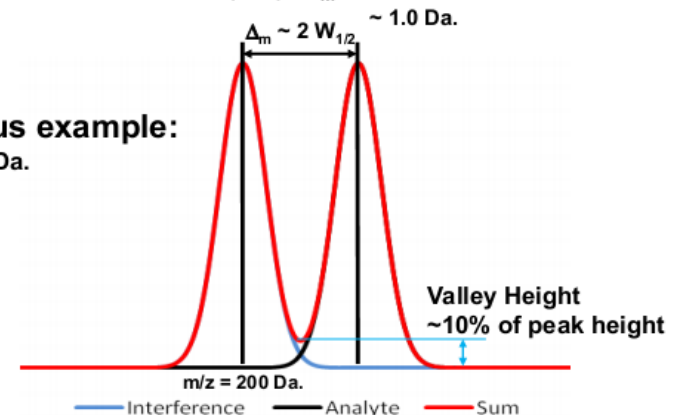
$\Delta_m \sim 2 W_{1/2} \sim 1.0 \text{ Da.}$

From previous example:

$R = 200 \text{ Da.} / 1.0 \text{ Da.}$

$R_{10\%} = 200$

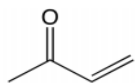
$R_{W_{1/2}} = 400$



Differentiating Structures Using HRMS

Many structures may have the same integer value molecular weight, but different molecular formulas

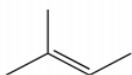
These structures can be differentiated with HRMS



C₄H₆O₁

70.0418 amu

For example:



C₅H₁₀

70.0783 amu



C₃H₆N₂

70.0531 amu

Mass resolution

Older definition – peaks of equal heights

Definition:

Mass resolution = (ion mass)/(mass peak separation)

$$R = (m/z) / \Delta_m$$

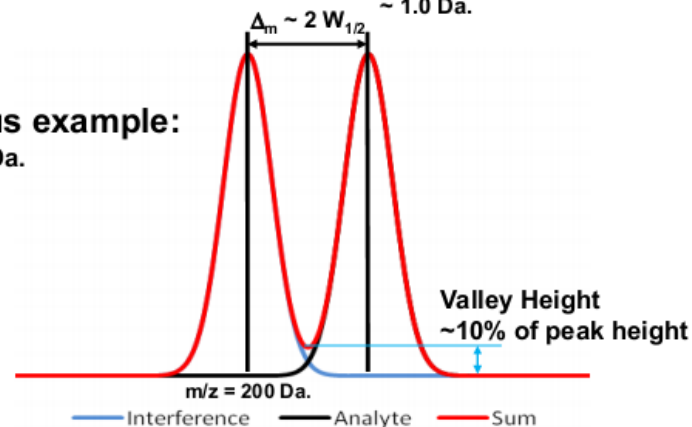
~ 1.0 Da.

From previous example:

R = 200 Da. / 1.0 Da.

R_{10%} = 200

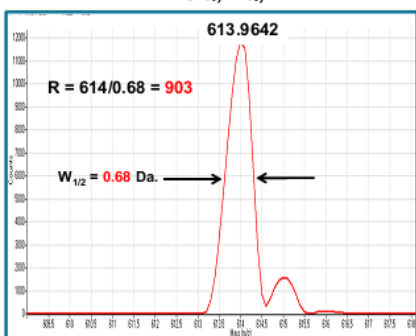
R_{W1/2} = 400



Resolving power & mass accuracy

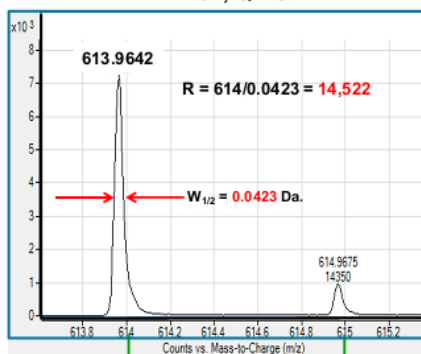
m/z = 613.964203

SQ, TQ, IT



1 Da.

TOF, Q-TOF

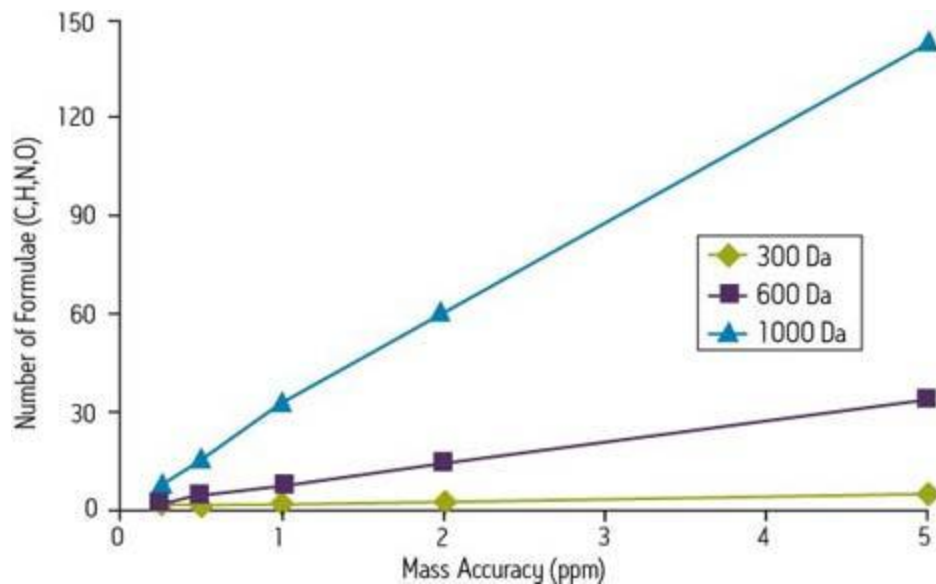


1 Da.

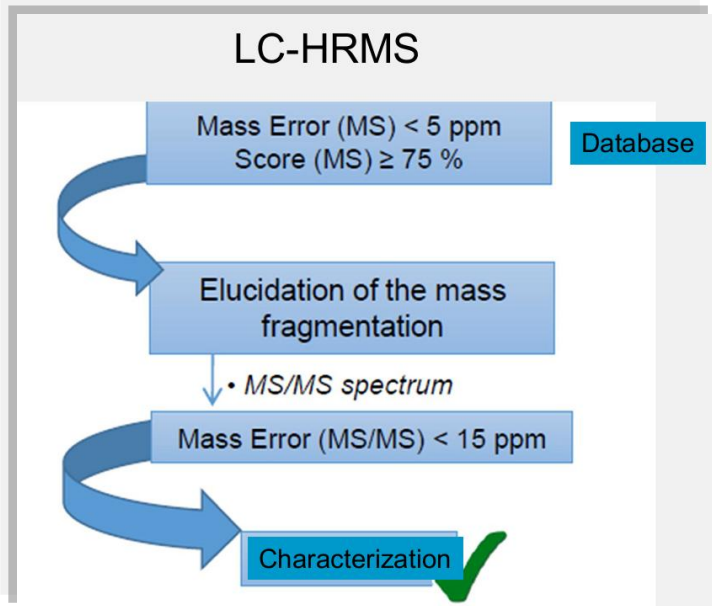
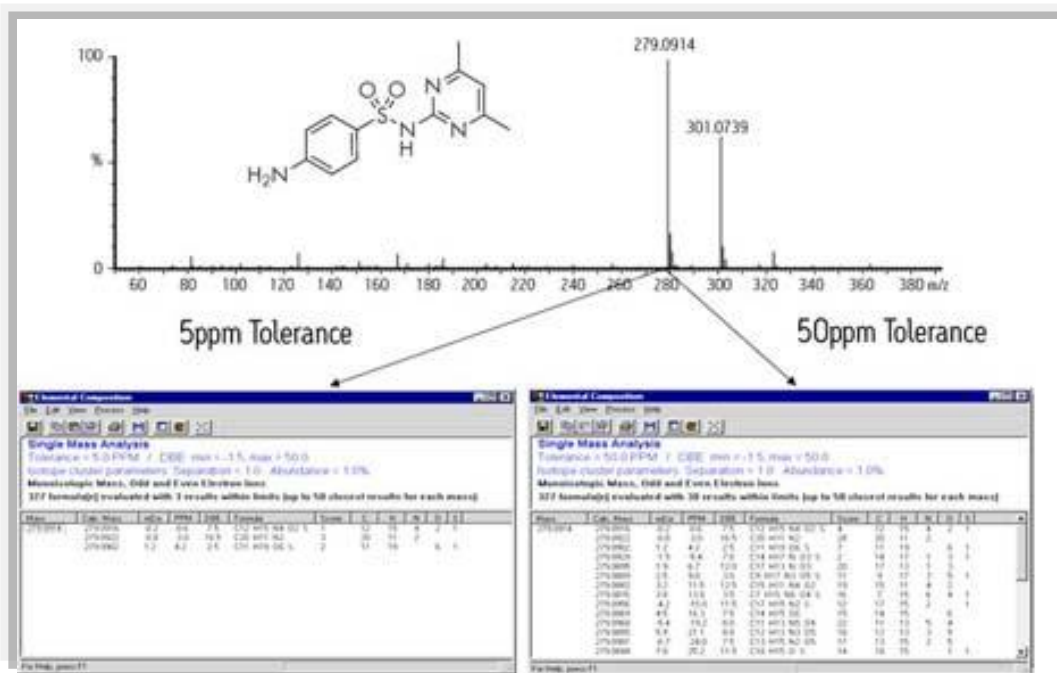
Mass error

- Mass error = (exact mass) – (accurate mass)
- Mass error in parts per million (ppm) =

$$\frac{(\text{mass error})}{(\text{exact mass})} \times 10^6$$



- ### What will we discuss?
- What is mass resolution and mass accuracy
 - Why and when they are important
 - How to use resolution and mass accuracy for practical analysis

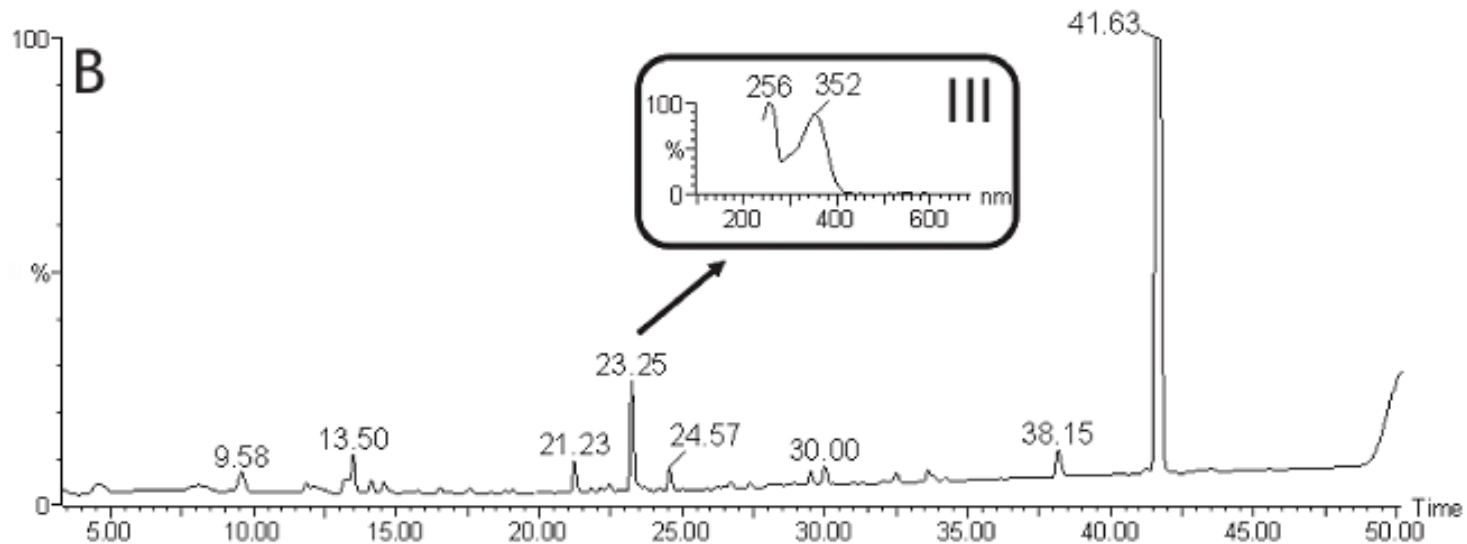
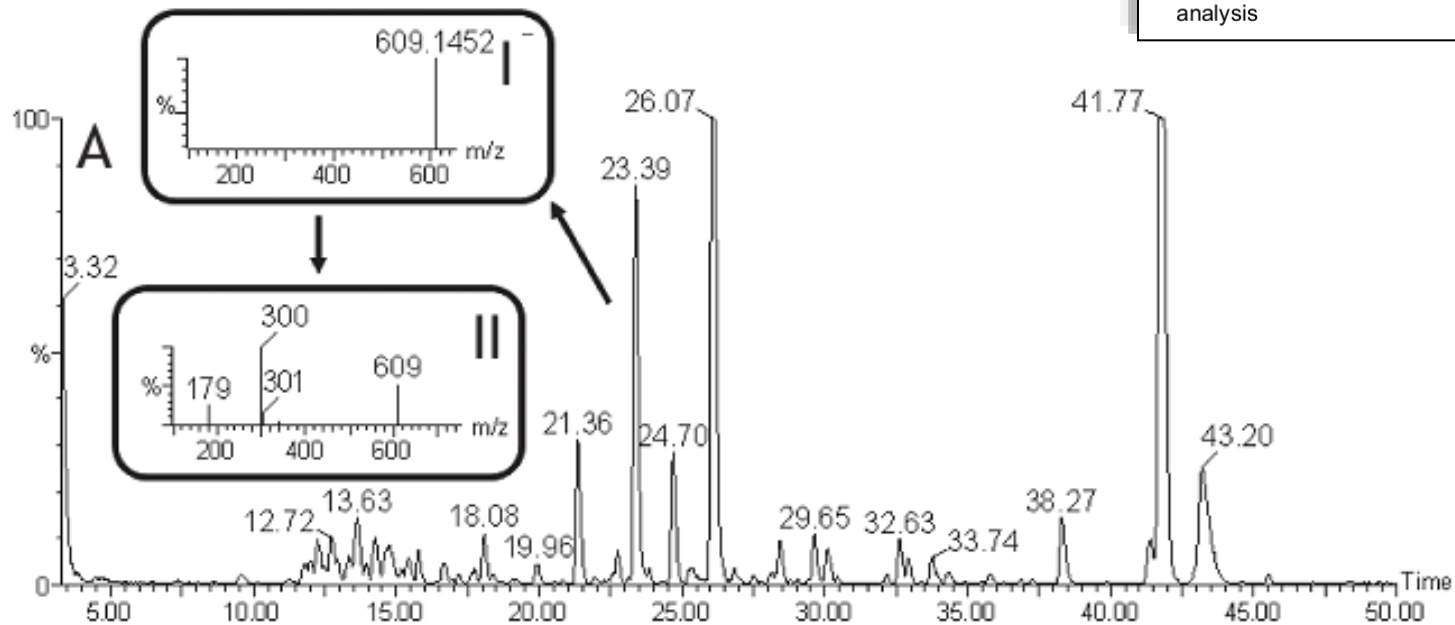


A Liquid Chromatography Mass Spectrometry based Metabolome Database for Tomato

Sofia Moco, Raul J. Bino, Oscar Vorst, Harrie A. Verhoeven, Joost de Groot, Teris A. van Beek, Jacques Vervoort and Ric C.H. De Vos *Plant Physiology* 141: 1205-1218 (2006)

What will we discuss?

- What is mass resolution and mass accuracy
- Why and when they are important
- How to use resolution and mass accuracy for practical analysis



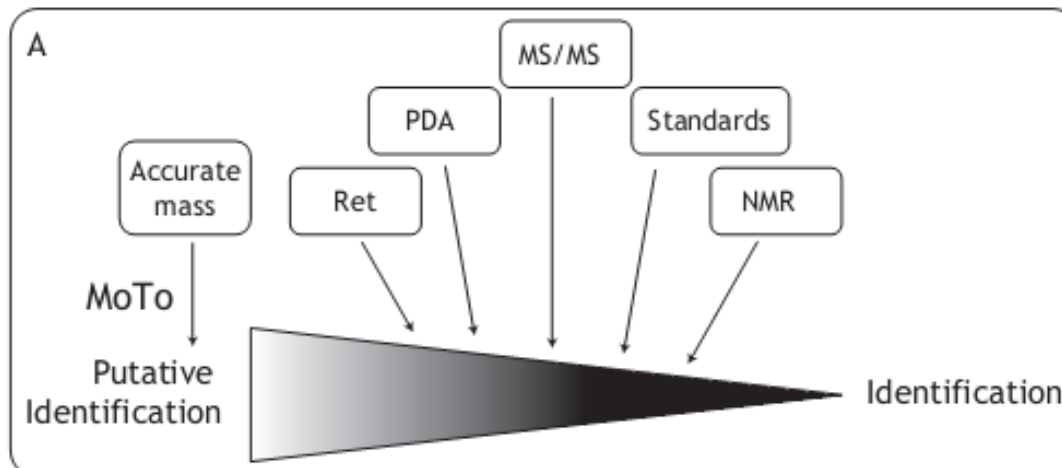
A Liquid Chromatography Mass Spectrometry based Metabolome Database for Tomato

Sofia Moco, Raoul J. Bino, Oscar Vorst, Harrie A. Verhoeven, Joost de Groot, Teris A. van Beek,
Jacques Vervoort and Ric C.H. De Vos *Plant Physiology* 141: 1205-1218 (2006)

Ret (min)		Av m/z	UV/Vis	MS/MS fragments	Mol Form	Theo. Mass	Mean Δ (ppm)	Putative ID
Av	StDev							
9.45	0.09	341.0883	-	179, 135	C ₁₅ H ₁₈ O ₉	341.0878	1.52	Caffeic acid-hexose I
9.75	0.08	325.0930	294sh, 313	163	C ₁₅ H ₁₈ O ₈	325.0929	0.25	Coumaric acid-hexose I
10.32	0.08	341.0883	310	179, 161, 135	C ₁₅ H ₁₈ O ₉	341.0878	1.58	Caffeic acid-hexose II
11.35	0.08	341.0883	302sh, 318	281, 251, 233, 221, 179, 161, 135	C ₁₅ H ₁₈ O ₉	341.0878	1.53	Caffeic acid-hexose III
12.08	0.06	355.1036	290sh, 313	193, 177, 145	C ₁₆ H ₂₀ O ₉	355.1035	0.31	Ferulic acid-hexose I
12.58	0.07	341.0883	-	181, 179, 137, 135	C ₁₅ H ₁₈ O ₉	341.0878	1.49	Caffeic acid-hexose IV
13.32	0.05	341.0883	-	281, 221, 181, 179, 161, 137, 135	C ₁₅ H ₁₈ O ₉	341.0878	1.39	Caffeic acid-hexose V
13.43	0.07	353.0878	300sh, 327	191, 173, 127	C ₁₆ H ₁₈ O ₉	353.0878	0.01	3-Caffeoylquinic acid
13.71	0.07	325.0929	285	163, 119	C ₁₅ H ₁₈ O ₈	325.0929	0.05	Coumaric acid-hexose II
14.41	0.10	353.0878	295sh, 327	179, 173	C ₁₆ H ₁₈ O ₉	353.0878	-0.08	5-Caffeoylquinic acid (S)
15.90	0.05	355.1036	-	193, 175, 160	C ₁₆ H ₂₀ O ₉	355.1035	0.42	Ferulic acid-hexose II
15.98	0.06	341.0886	-	179	C ₁₅ H ₁₈ O ₉	341.0878	2.26	Caffeic acid-hexose VI
16.76	0.07	353.0880	323	191, 173, 161, 127	C ₁₆ H ₁₈ O ₉	353.0878	0.49	4-Caffeoylquinic acid
19.53	0.25	1272.5901	-	1227, 1095, 1065, 933, 866, 770	C ₅₇ H ₉₅ NO ₃₀	1272.5866	2.75	(Esculeoside B)FA
21.42	0.04	741.1870	256, 299sh, 351	301, 271, 255	C ₃₂ H ₃₈ O ₂₀	741.1884	-1.82	Quercetin-hexose- deoxyhexose-pentose
22.83	0.06	1314.6001	-	1269, 1137, 1107, 974, 770, 752	C ₅₉ H ₉₇ NO ₃₁	1314.5972	2.21	(Lycoperoside G)FA or (Lycoperoside F)FA or (Esculeoside A)FA I
23.43	0.04	609.1451	256, 299sh, 355	301, 271, 255	C ₂₇ H ₃₀ O ₁₆	609.1461	-1.59	Quercetin-glucose- rhamnose (S)
25.48	0.16	1314.6005	-	1269, 1137, 1107, 975, 908, 866, 812, 770, 752, 275, 179, 161, 149, 143, 125, 113	C ₅₉ H ₉₇ NO ₃₁	1314.5972	2.54	(Lycoperoside G)FA or (Lycoperoside F)FA or (Esculeoside A)FA II

A Liquid Chromatography Mass Spectrometry based Metabolome Database for Tomato

Sofia Moco, Raoul J. Bino, Oscar Vorst, Harrie A. Verhoeven, Joost de Groot, Teris A. van Beek, Jacques Vervoort and Ric C.H. De Vos *Plant Physiology* 141: 1205-1218 (2006)



Search Results for Waxen

Accession	Formula	PubChem
0101304	C ₂₂ H ₃₄ O ₄	171211

Search results table:

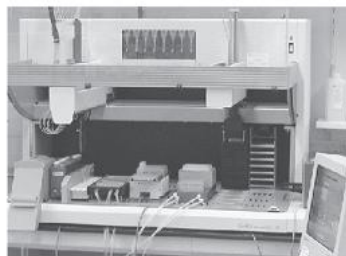
Accession	Formula	pubchem ID	name
0101304	C ₂₂ H ₃₄ O ₄	171211	4-(2,4-dihydroxyphenyl)-2,4,6-trimethyl-3-pentenoic acid
0101304	C ₂₂ H ₃₄ O ₄	171211	4-(2,4-dihydroxyphenyl)-2,4,6-trimethyl-3-pentenoic acid



Freezing and grinding

STEPS 1-2

Growth and harvest of plant material

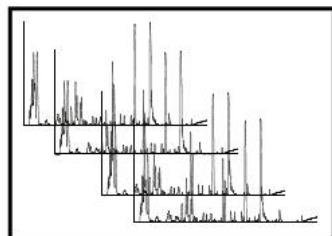


Transfer vials to autosampler

Extraction, centrifugation and filtration STEPS 3-7

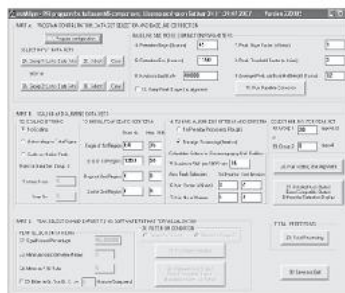


LC-PDA-QTOF MS STEPS 8-9



LC-MS profiles

Data processing



MetAlign for mass peak extraction and alignment over samples STEPS 10-14

Output: CSV file STEP 15

Data analyses

- t-tests
- multivariate analyses tools
- correlation analyses
-

Identification of relevant mass peaks

STEPS 16-19



CRITICAL INSIGHT

Untargeted Metabolomics Strategies—Challenges and Emerging Directions

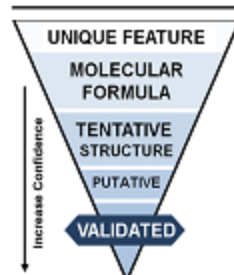
Alexandra C. Schrimpe-Rutledge,^{1,2,3,4} Simona G. Codreanu,^{1,2,3,4} Stacy D. Sherrod,^{1,2,3,4} John A. McLean^{1,2,3,4}

¹Department of Chemistry, Vanderbilt University, Nashville, TN 37235, USA

²Center for Innovative Technology, Vanderbilt University, Nashville, TN 37235, USA

³Vanderbilt Institute of Chemical Biology, Vanderbilt University, Nashville, TN 37235, USA

⁴Vanderbilt Institute for Integrative Biosystems Research and Education, Vanderbilt University, Nashville, TN 37235, USA



Abstract. Metabolites are building blocks of cellular function. These species are involved in enzyme-catalyzed chemical reactions and are essential for cellular function. Upstream biological disruptions result in a series of metabolomic changes and, as such, the metabolome holds a wealth of information that is thought to be most predictive of phenotype. Uncovering this knowledge is a work in progress. The field of metabolomics is still maturing; the community has leveraged proteomics experience when applicable and developed a range of sample preparation and instrument methodology along with myriad data processing and analysis approaches. Research focuses have now shifted toward a fundamental understanding of the biology responsible for metabolomic changes. There are several types of metabolomics ex-

periments including both targeted and untargeted analyses. While untargeted, hypothesis generating workflows exhibit many valuable attributes, challenges inherent to the approach remain. This Critical Insight comments on these challenges, focusing on the identification process of LC-MS-based untargeted metabolomics studies—specifically in mammalian systems. Biological interpretation of metabolomics data hinges on the ability to accurately identify metabolites. The range of confidence associated with identifications that is often overlooked is reviewed, and opportunities for advancing the metabolomics field are described.

Keywords: Metabolomics, Untargeted, Targeted, Discovery, Global, Validation, Identification, Bioinformatics

Untargeted Metabolomics Strategies—Challenges and Emerging Directions

Alexandra C. Schrimpe-Rutledge,^{1,2,3,4} Simona G. Codreanu,^{1,2,3,4} Stacy D. Sherrod,^{1,2,3,4}
John A. McLean^{1,2,3,4}

¹Department of Chemistry, Vanderbilt University, Nashville, TN 37235, USA

²Center for Innovative Technology, Vanderbilt University, Nashville, TN 37235, USA

³Vanderbilt Institute of Chemical Biology, Vanderbilt University, Nashville, TN 37235, USA

⁴Vanderbilt Institute for Integrative Biosystems Research and Education, Vanderbilt University, Nashville, TN 37235, USA

Metabolomics

Untargeted

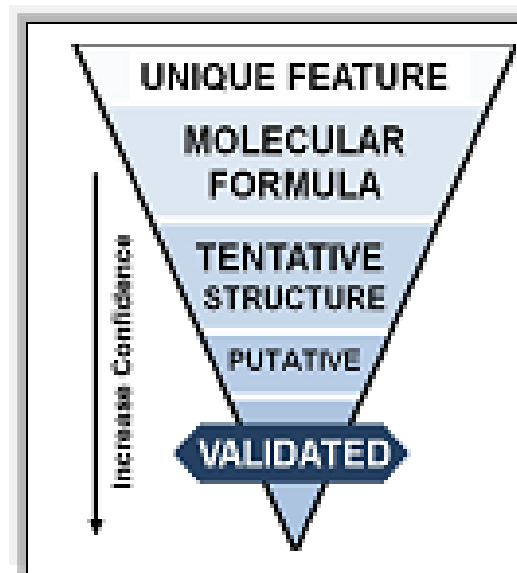
Discovery

- Hypothesis generating
- Global/Comprehensive analysis
- MS/MS correlated to databases/libraries
- Qualitative identification
- Relative quantification

Targeted

Validation

- Hypothesis driven
- Subset analysis
- MS/MS correlated to reference standards
- Identification already known
- Absolute quantification



Metabolite identification confidence

Level 5

61M+ compounds (PubChem)

Unique Feature

Mass measurement accuracy, \pm ppm

- unit resolution..... 354 \pm 1 Da..... 200k molecules
- 100 ppm..... 354.16 \pm 0.03 D..... 44k molecules
- 10 ppm..... 354.158 \pm 0.003 Da..... 11k molecules
- 1 ppm..... 354.1579 \pm 0.0003 Da..... 10k molecules
- Heuristic Filtering

Level 4

Molecular Formula

Isotope abundance distribution, charge state and adduct ion determination

$C_{20}H_{22}N_2O_4$ 10k isomeric structures

Level 3

Tentative Structure

MS1 m/z database match

Orthogonal information

- fragmentation data (MS/MS)
- retention time
- collision cross section
- spatial/temporal location
- optical spectroscopy
- NMR

Level 2

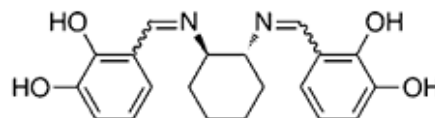
Putative Identification

MS/MS spectrum match

Level 1

Validated Identification

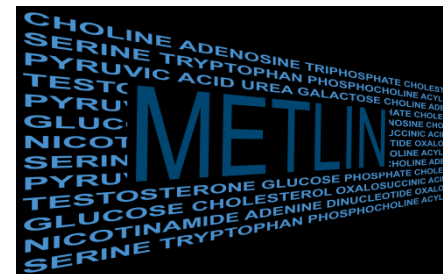
Reference standard confirms structure



..... 1 confirmed identification

Increasing confidence





The Future of Natural Products Research and Mass Spectrometry

Table 2. Confidence Annotation, Statistical Evaluation, and Selected Bioinformatics Tools

Confidence	Utility	Statistical treatment/ Approach	Bioinformatic tools
Levels 5 and 4 (Unique m/z feature or Molecular formula)	Ranking significant differences	t-test Principle Component Analysis (PCA) Partial Least Squares (PLS) Modeling	Most statistical software packages
	Data visualization and prioritization	Cloud Plot/Volcano Plot Self-organizing Map (SOM)	XCMS Online [38] Metabolite Expression Dynamics Inspection (MEDI) [39]
	Pathway/network analysis without formal annotation	Pathway and network prediction	<i>mummichog</i> [45]
Level 3 (Tentative structure)	Matching parent ion exact mass and fragmentation patterns	MS1 database and MS2 spectral library	ChemSpider, METLIN, HMDB, MassBank, mzCloud, LipidBlast, GNPS, NIST [16–19]
Levels 2 and 1 (Putative identification or Validation)	Integration with known biology	Pathway and network analyses	MetaboAnalyst [40] Kyoto Encyclopedia of Genes and Genomes (KEGG) [41] Mbrole (Metabolite Biological Role) [42] MetaCyc/BioCyc [43]



Bases de Dados de Produtos Naturais que podem ser utilizadas para busca de substâncias em meios virtuais

Database	Number of entries	Additional information	Refs
Super NaturalII	355,000	2D structures; vendor information for over 215,000 compounds	*
Universal Natural Product Database	197,201	3D structures assembled from other available Chinese databases	289
Chinese Natural Product Database	53,000	Has been used in a virtual screen for PPAR- γ agonists	290
Drug Discovery Portal	40,000	Not all natural products, but all based on available samples	49
iSMART	20,000	Based on components from traditional Chinese medicines	291, 292
Database from historical medicinal plants, DIOS	6,702	Successfully used in several virtual screening campaigns	293
AfroDb	1,000	Compounds from African medicinal plants	294
NuBBE	640	Compounds from Brazilian sources	295 [†]

2D, two-dimensional; 3D, three-dimensional; iSMART, integrated systems biology-associated research with traditional Chinese medicine; PPAR- γ , peroxisome proliferator-activated receptor- γ . *See the Super Natural II database. [†]See the NuBBE database.



Substances

Get References Get Reactions Tools Send to SciPlanner

Save Print Export

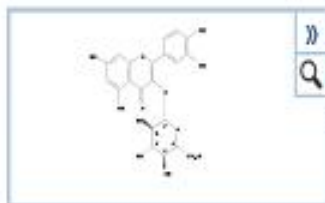
Sort by: Number of References

Answers per Page [50] View: [Icons]

0 of 47 Substances Selected

1. Substance Detail
22688-79-5

~816



C21 H18 O13
β-D-Glucopyranosiduronic acid, 2-(3,4-dihydroxyphenyl)-5,7-dihydroxy-4-oxo-4H-1-benzopyran-3-yl

Spectra
Experimental Properties

2. Substance Detail
38934-20-2

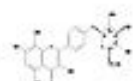
~46



C21 H18 O13
β-D-Glucopyranosiduronic acid, 4-(3,5,7,8-tetrahydroxy-4-oxo-4H-1-benzopyran-2-yl)phenyl

3. Substance Detail
54869-23-7

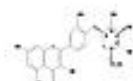
~46



C21 H18 O13
β-D-Glucopyranosiduronic acid, 4-(3,5,7,8-tetrahydroxy-4-oxo-4H-1-benzopyran-2-yl)phenyl

4. Substance Detail
201463-36-7

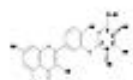
~29



C21 H18 O13
β-D-Glucopyranosiduronic acid, 2-hydroxy-4-(3,5,7-trihydroxy-4-oxo-4H-1-benzopyran-2-yl)phenyl

5. Substance Detail
328006-77-5

~29

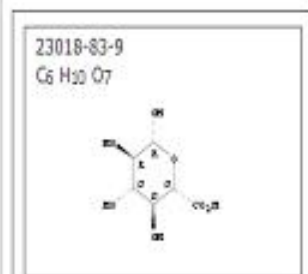


C21 H18 O13
β-D-Glucopyranosiduronic acid, 2-hydroxy-5-(3,5,7-trihydroxy-4-oxo-4H-1-benzopyran-2-yl)phenyl

Experimental Properties

6. Substance Detail
73123-11-2

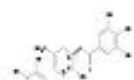
~21



117-20-6

7. Substance Detail
95753-52-9

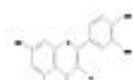
~14



C21 H18 O13
Benzoic acid, 3,4,5-trihydroxy-, 1,1'-[(1R,2S,3R)-5-carboxy-2-hydroxy-4-cyclohexene-1,3-diy] ester

8. Substance Detail
74336-89-3

~12



C21 H18 O13
β-D-Galactopyranosiduronic acid, 2-(3,4-dihydroxyphenyl)-5,7-dihydroxy-4-oxo-4H-1-benzopyran-3-yl

Analysis Refine

Analyze by:

Substance Role

Click bar to view only those substances within the current answer set

Biological Study	36
Preparation	30
Occurrence	27
Properties	23
Uses	22
Analytical Study	12
Formation, Nonpreparative	8
Reactant or Reagent	7
Process	4

Show More

ChemSpider

Search and share chemistry

[Simple](#) [Structure](#) [Advanced](#) [History](#)

Search ChemSpider

Matches any text strings used to describe a molecule.



Systematic Name, Synonym, Trade Name, Registry Number, SMILES, InChI or CSID [?](#)

What is ChemSpider?

ChemSpider is a free chemical structure database providing fast text and structure search access to over 47 million structures from hundreds of data sources.

Search by chemical names

- Systematic names
- Synonyms
- Trade names
- Database identifiers

Search by chemical structure

- Create structure-based queries
- Draw structures in the web page
- Use structure files from your computer

Find important data

- Literature references
- Physical properties
- Interactive spectra
- Chemical suppliers

Blog

Subscribe

[Introduction to the new ChemSpider website](#)

[What's new with ChemSpider?](#)

[Linking from ChemSpider to the Crystallography Open Database](#)

VISIT OUR BLOG

49 Million
chemical structures

513
Data sources

Welcome Ibrahim Abu Reidah | Sign Out

Add KMP Alert: Molecular Formula "C21 H18 O13" > substances (47)

Substances

Get References

Get Reactions

Tools

Send to SciPlanner

Save Print Export

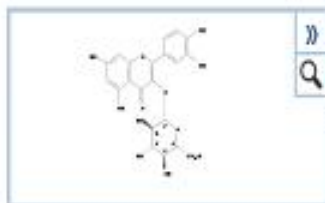
Sort by: Number of References

Answers per Page [50] View: [Icons]

0 of 47 Substances Selected

1. Substance Detail
22688-79-5

~816



C21 H18 O13
β-D-Glucopyranosiduronic acid, 2-(3,4-dihydroxyphenyl)-5,7-dihydroxy-4-oxo-4H-1-benzopyran-3-yl

Spectra
Experimental Properties

2. Substance Detail
38934-20-2

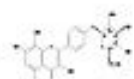
~46



C21 H18 O13
β-D-Glucopyranosiduronic acid, 4-(3,5,7,8-tetrahydroxy-4-oxo-4H-1-benzopyran-2-yl)phenyl

3. Substance Detail
54869-23-7

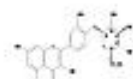
~46



C21 H18 O13
β-D-Glucopyranosiduronic acid, 4-(3,5,7,8-tetrahydroxy-4-oxo-4H-1-benzopyran-2-yl)phenyl

4. Substance Detail
201463-36-7

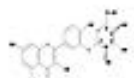
~29



C21 H18 O13
β-D-Glucopyranosiduronic acid, 2-hydroxy-4-(3,5,7-trihydroxy-4-oxo-4H-1-benzopyran-2-yl)phenyl

5. Substance Detail
328006-77-5

~29

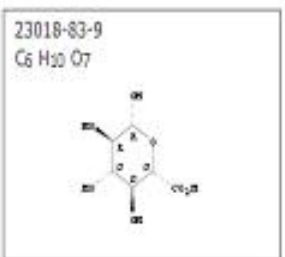


C21 H18 O13
β-D-Glucopyranosiduronic acid, 2-hydroxy-5-(3,5,7-trihydroxy-4-oxo-4H-1-benzopyran-2-yl)phenyl

Experimental Properties

6. Substance Detail
73123-11-2

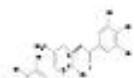
~21



117-20-5

7. Substance Detail
95753-52-9

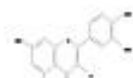
~14



C21 H18 O13
Benzoic acid, 3,4,5-trihydroxy-, 1,1'-[(1R,2S,3R)-5-carboxy-2-hydroxy-4-cyclohexene-1,3-diy] ester

8. Substance Detail
74336-89-3

~12



C21 H18 O13
β-D-Galactopyranosiduronic acid, 2-(3,4-dihydroxyphenyl)-5,7-dihydroxy-4-oxo-4H-1-benzopyran-3-yl

Analysis

Refine

Analyze by:

Substance Role

Click bar to view only those substances within the current answer set

Biological Study	36
Preparation	30
Occurrence	27
Properties	23
Uses	22
Analytical Study	12
Formation, Nonpreparative	8
Reactant or Reagent	7
Process	4

Show More

Table 1

Freely and commercially available web-resources for MS-based metabolomics.

Name	Link	Note
<i>"Freely available" software</i>		
Pathway		
AraCyc	http://www.arabidopsis.org/biocyc/index.jsp	<i>Arabidopsis</i>
BioCyc	http://biocyc.org/	Organisms
EcoCyc	http://ecocyc.org/	<i>Escherichia coli</i>
KaPPA-View3	http://kpv.kazusa.or.jp/kpv3/guest/index.jsp	<i>Arabidopsis</i> , rice, tomato, lotus
KEGG	http://www.genome.jp/kegg/ligand.html	Organisms
MetaCyc	http://metacyc.org/index.shtml	Organisms
MetaCrop	http://metacrop.ipk-gatersleben.de	Crops
PlantCyc	http://www.plantcyc.org/	Plants
Analytical data (samples)		
ARMEC	http://www.armac.org/MetaboliteLibrary/index.html	<i>Arabidopsis</i> , potato
KOMICS	http://webs2.kazusa.or.jp/komics/	Tomato
McGill-MD	http://metabolomics.mcgill.ca/	Crops
MotoDB	http://appliedbioinformatics.wur.nl/moto/	Tomato
<i>Analytical data / standard</i>		
Publication and literature		
BioMeta	http://biometa.cmbi.ru.nl/	
ChEBI	http://www.ebi.ac.uk/chebi/	
HMDB	http://www.hmdb.ca/	
KNAPSAcK	http://kanaya.naist.jp/KNAPSAcK/KNAPSAcK.php	
MassTRIX	http://mips.gsf.de/proj/metabolomics/	
MMCD	http://mmcd.nmrfa.wisc.edu/	
MMsINC	http://mms.dsfarm.unipd.it/MMsINC.html	
PubChem	http://pubchem.ncbi.nlm.nih.gov/	
UCI ChemDB	http://cdb.ics.uci.edu/CHEM/Web/	
Compound family		
Flavonoid viewer	http://www.metabolome.jp/software/FlavonoidViewer/data/mass	Flavonoids
LIPID MAPS	http://www.lipidmaps.org/index.html	Lipids
LIPIDBANK	http://lipidbank.jp/	Lipids
<i>"For a commercial fee" database</i>		
Adams library	Identification of essential oil components by gas chromatography/quadrupole mass spectroscopy, 4th Edition (2007)	
Dictionary of natural medicines	http://dnp.chemnetbase.com/dictionary-search.do?method=view&id=2714206&si=	
DiscoveryGate	http://www.symyx.com/products/databases/discoverygate/index.jsp	
MASS Frontier	http://www.thermo.com/com/cda/product/detail/1,1055,11442,00.html	
NIST	http://www.nist.gov/srd/online/list.htm	
Scifinder	http://www.cas.org/SCIFINDER/SCHOLAR/index.html	

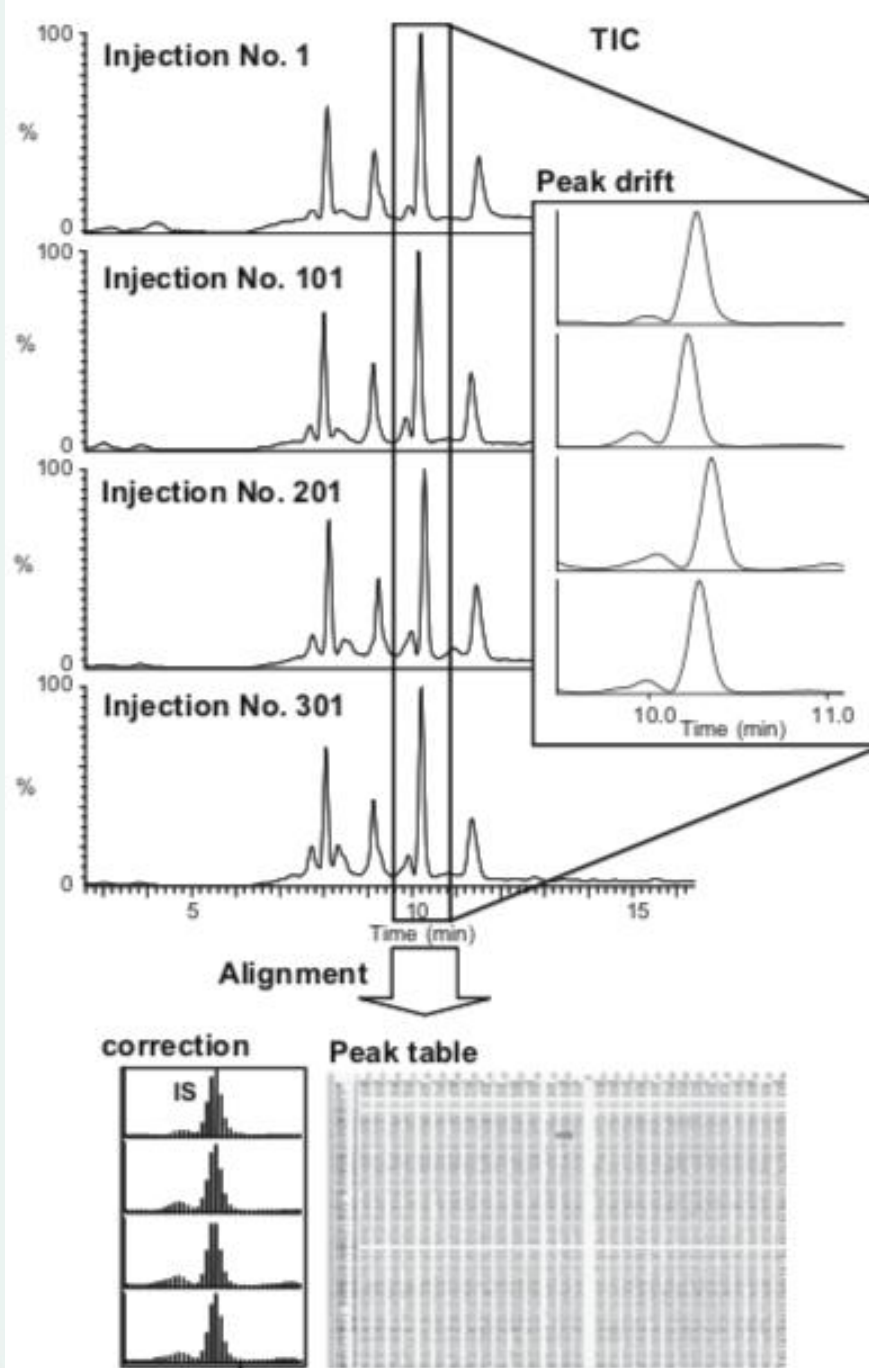


Fig. 1. Schematic overview of peak drift and correction in LC-MS.

Research article

Open Access

Seven Golden Rules for heuristic filtering of molecular formulas obtained by accurate mass spectrometry

Tobias Kind and Oliver Fiehn*

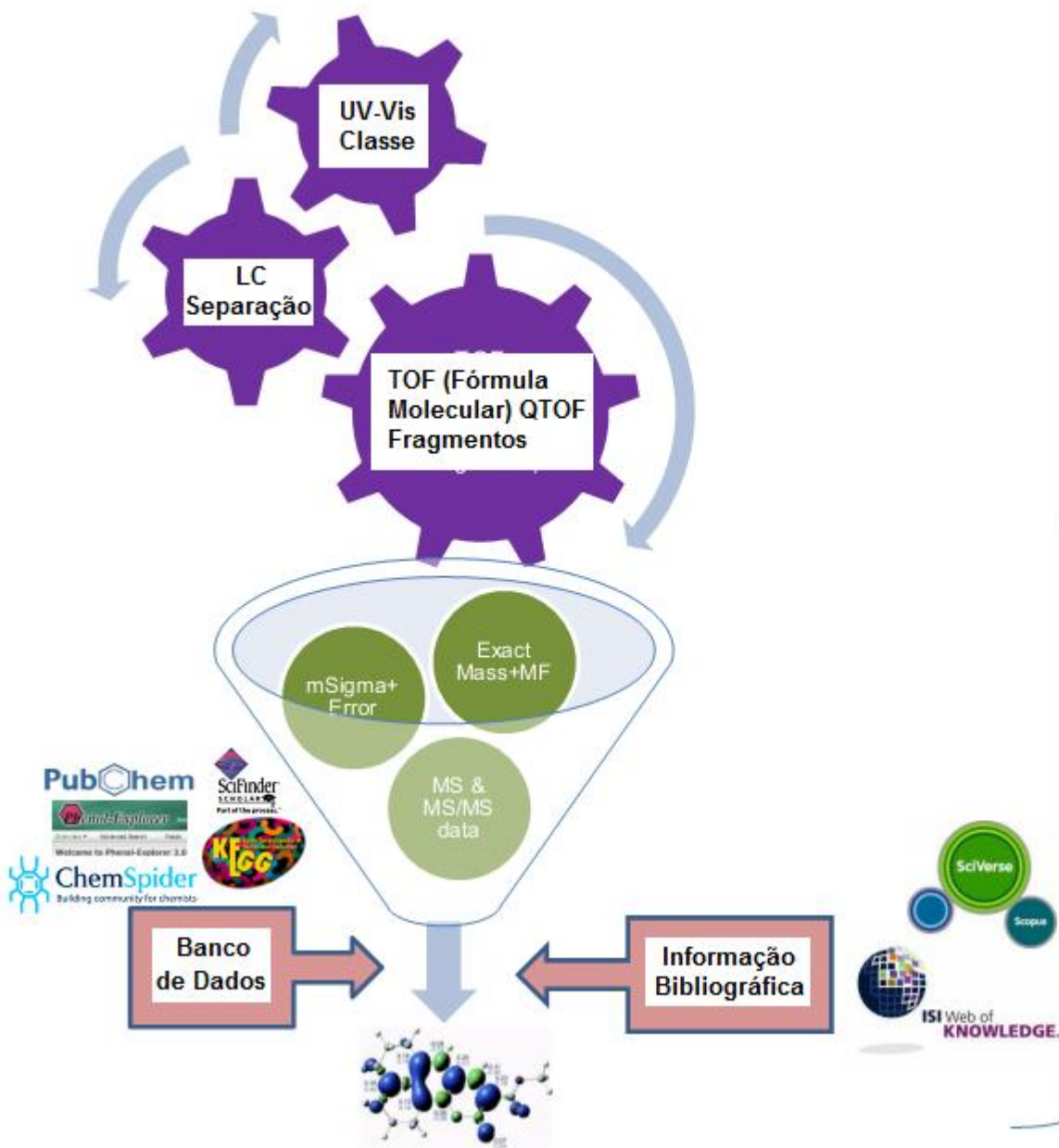
Address: University of California Davis, Genome Center, 451 E. Health Sci. Dr., Davis, CA 95616, USA

Email: Tobias Kind - tkind@ucdavis.edu; Oliver Fiehn* - ofiehn@ucdavis.edu

* Corresponding author



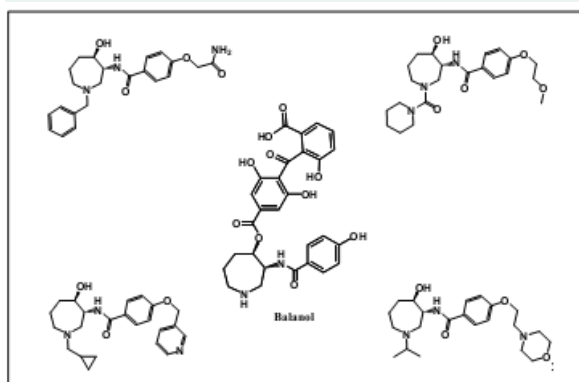
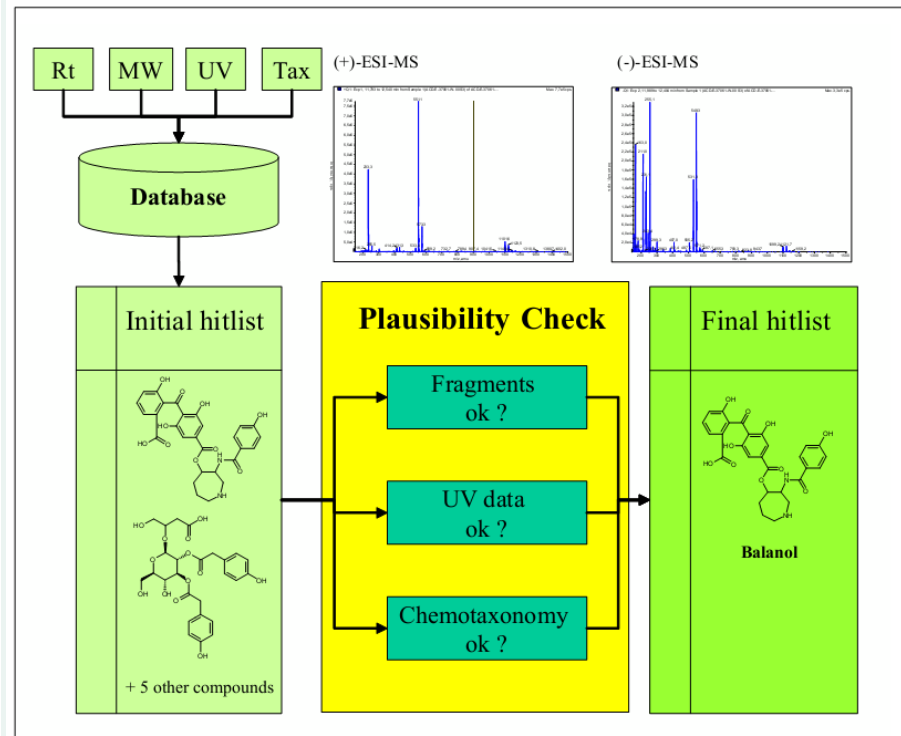
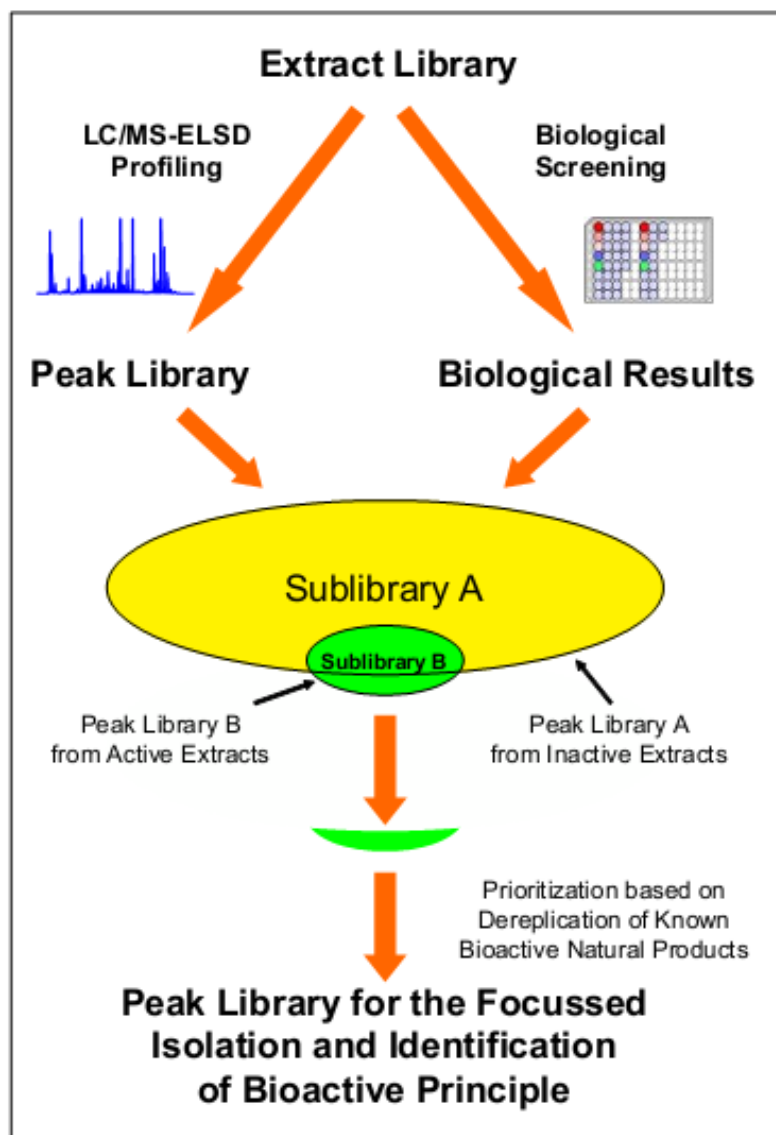
Metodologia de Desreplificação

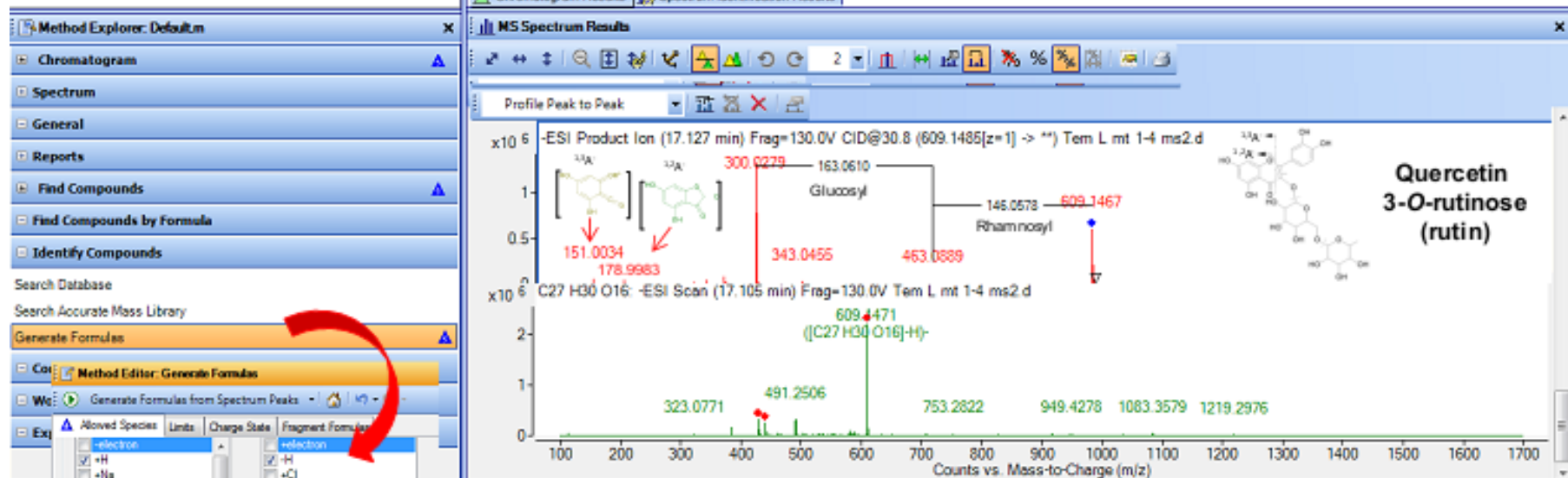
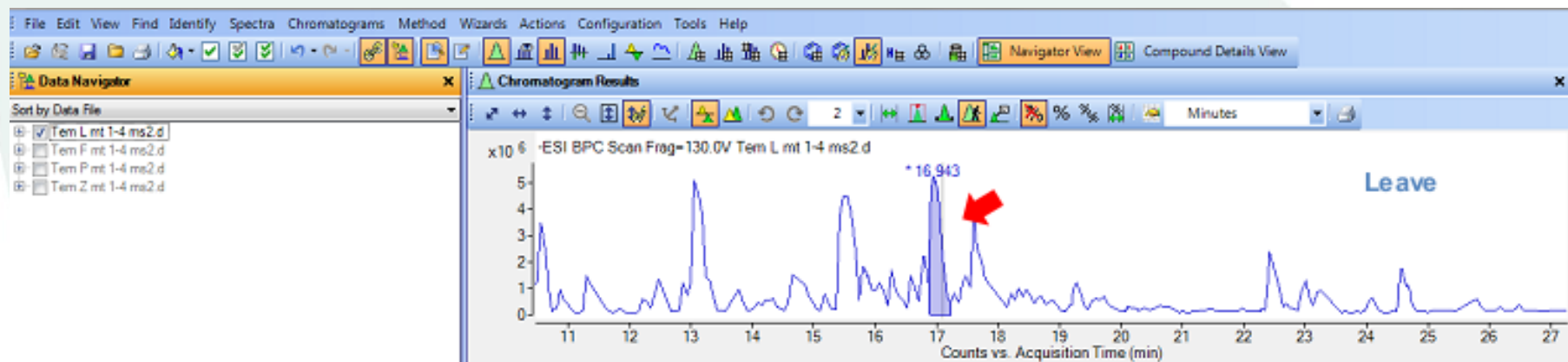


Caracterização

RMN

Bases de Dados de Produtos Naturais que podem ser utilizadas para busca de substâncias em meios virtuais





2 candidates

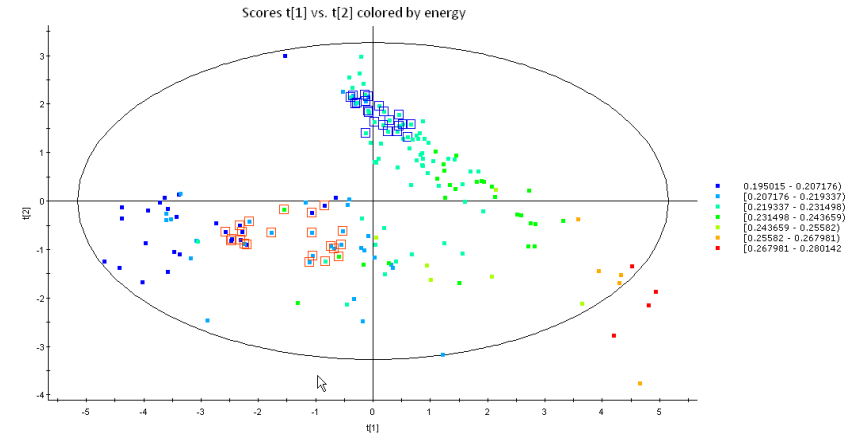
Spectrum Identification Results: - Scan (17.105 min)

Automatically Show Columns

Best	ID Source	Formula	Species	m/z	Score	Diff (ppm)	Score (MFG)	Mass
<input checked="" type="checkbox"/>	MFG	C27 H30 O16	(M)-	609.1471	96.53	-1.36	96.53	610.1542
<input type="checkbox"/>	MFG	C20 H34 O21	(M)-	609.1471	69.46	8.24	69.46	610.1542

Quimiometria

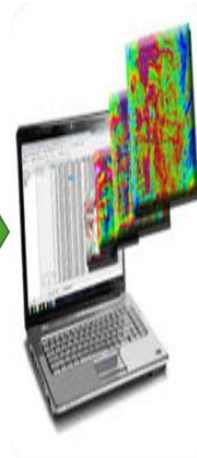
	1	2	3	4	5	6	7	8	9	10	11	1
1	Obs. num	Group	v1	v2	v3	v4	v5	v6	v7	v8	v9	v4
2	1	N	348	323	62	365	20	59	3	11	5	
3	2	T					12	69	4	8	3	
4	3	T							1	4	1	
5	4	N	143	245	61	26	1	100	1	4	1	
6	5	N	291	66	45	339	9	56	1	9	1	
7	6	N	312	435	1	313	84	172	4	33	31	
8	7	T	208	352	1	117	10	113	1	7	1	
9	8	T	217	442	51	102	1	28	1	8	1	
10	9	T	64	207	7	1	8	229	4	1	1	
11	10	T	368	974	320	321	53	122	1	39	10	
12	11	T	300	408		370	51	23	2	9	11	
13	12	T	196	450	308	276	16	45	1	8	2	
14	13	T	259	331	71	163	2	37	1	6	3	
15	14	N	219	66	46	282	9	23	3	9	1	
16	15	N	211	217	42	512	13	18	1	2	1	
17	16	T	239	521	1	313	20	74	1	33	22	



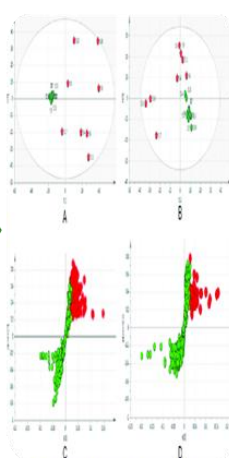
Coleta e preparo de amostra



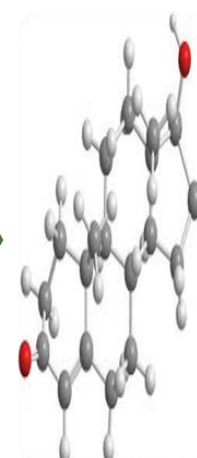
Análise instrumental



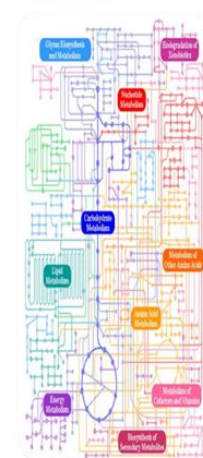
Processamento de dados



Análise estatística



Identificação dos metabólitos



Interpretação biológica

Aplicações

Introdução

□ Baraúna: Aspectos Gerais



Família Anacardiaceae



braúna, braúna-parda e braúna-do-sertão



A madeira é dura, pesada, de alta resistência e durabilidade



Árvore espinhenta de crescimento lento

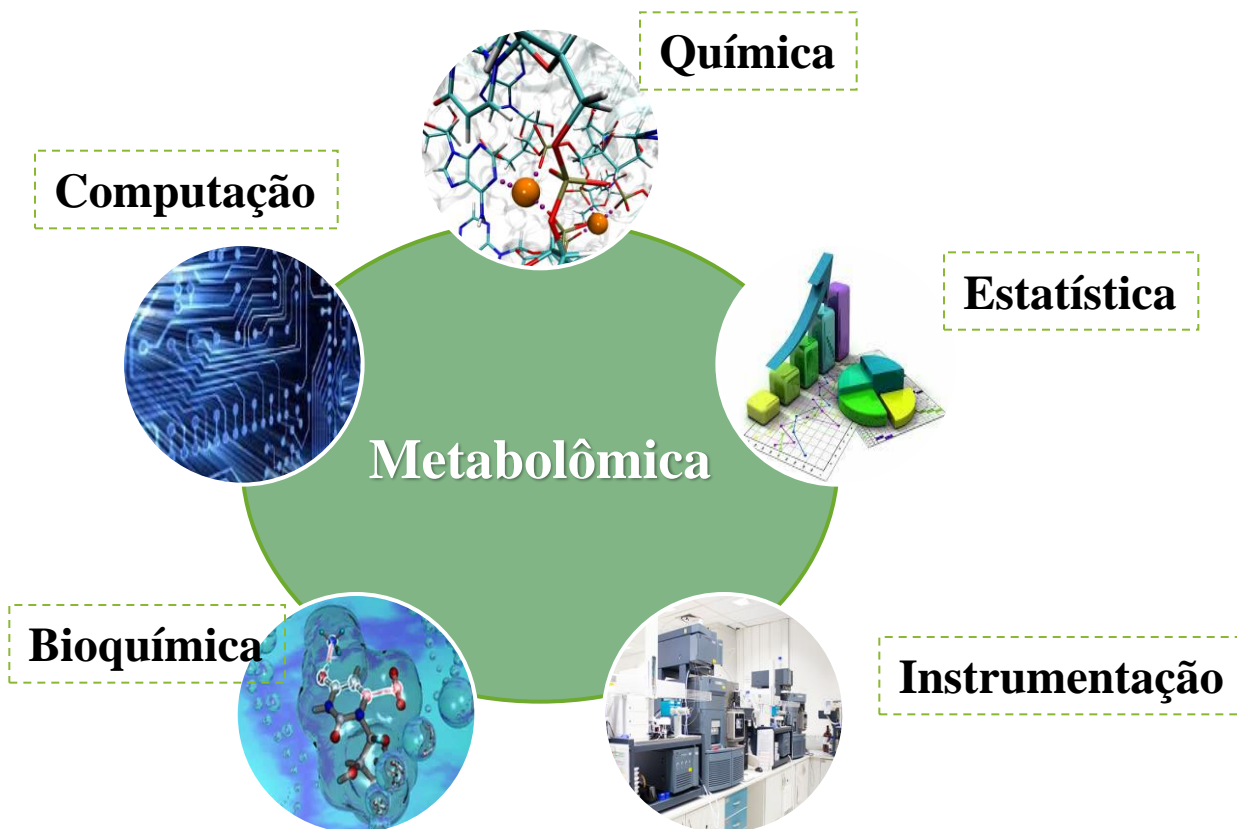


Galhos espessos e bem distribuído numa copa de poucas e pequenas folhas



- ✓ Santos, Raí Vinícius, and Maria Betânia Moreira Amador. "Baraúna: Diálogo entre natureza e sociedade." *Periódico Eletrônico Fórum Ambiental da Alta Paulista* 9.7 (2013).

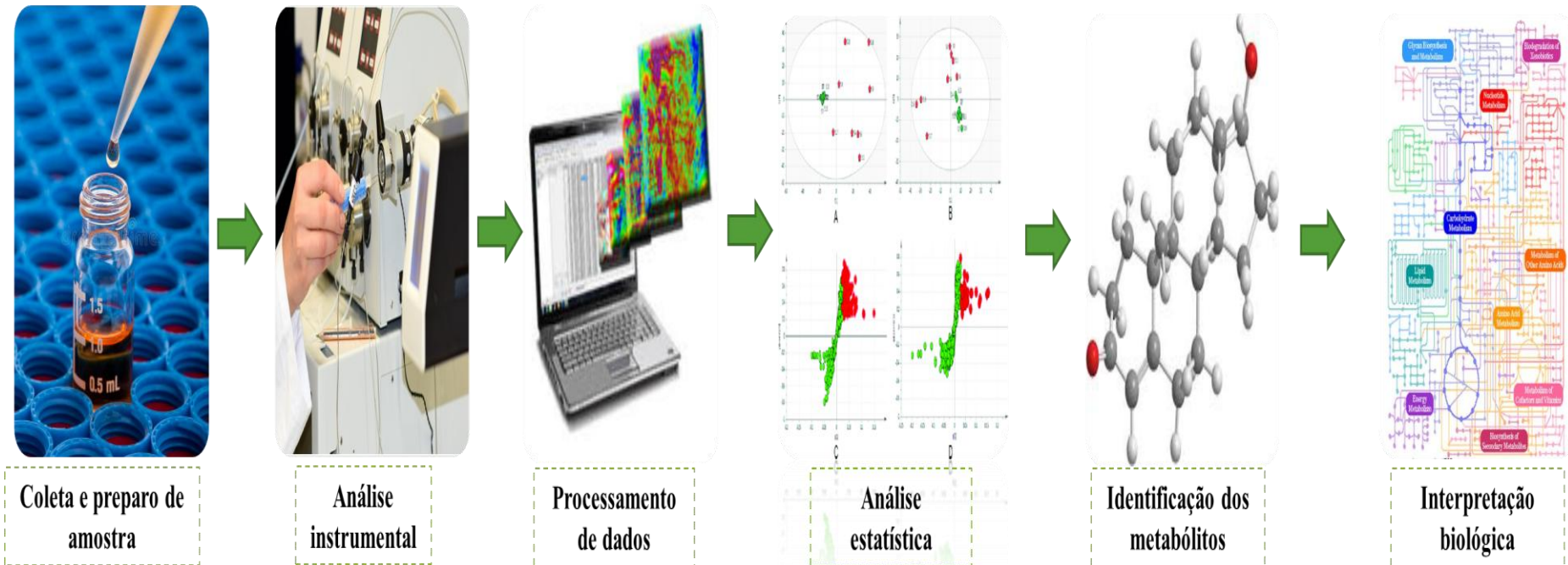
Abordagem metabolômica



- ✓ FORCISI, S. et al. Liquid chromatography-mass spectrometry in metabolomics research: Mass analyzers in ultra high pressure liquid chromatography coupling. **Journal of Chromatography A**, v. 1292, p. 51–65, 2013.

1. Introdução

□ Abordagem metabolômica

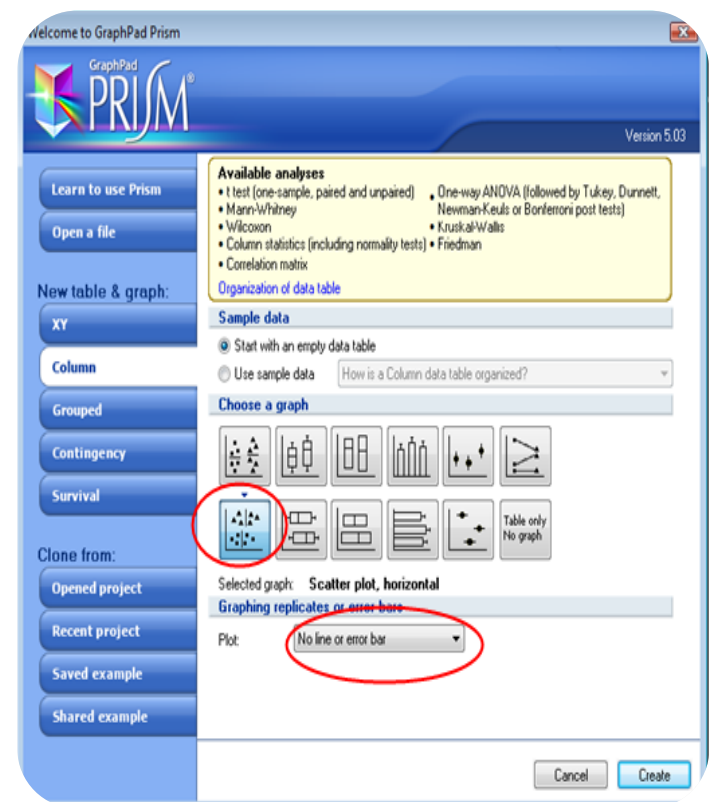


- ✓ Canuto GAB, Costa JL da, Cruza PLR da, Ana Rosa L. de Souza ATF, Klassen A, Rodrigues KT, Tavares MFM. METABOLÔMICA: DEFINIÇÕES, ESTADO-DA-ARTE E APLICAÇÕES

3. Metodologia

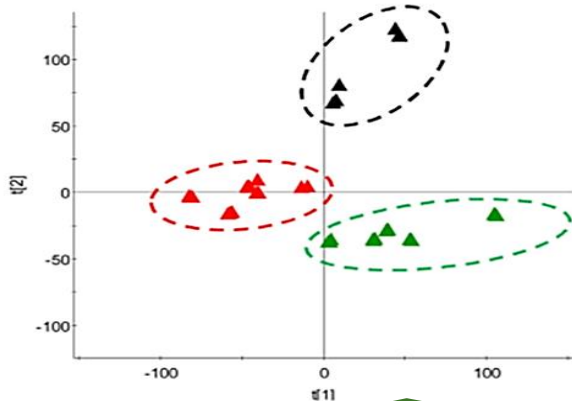
❑ Análise estatística da atividade citotóxica

- Foram analisadas a partir da média \pm desvio padrão (DP) da porcentagem de inibição do crescimento celular;
- *GraphPad Prism 5.*

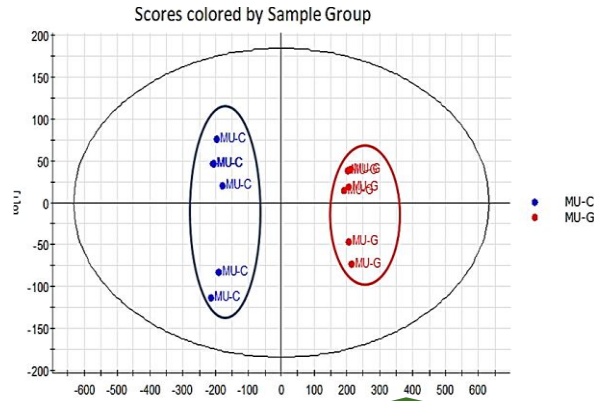


3. Metodologia

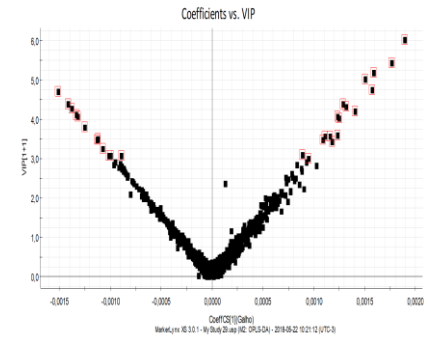
☐ Análise Multivariada dos dados



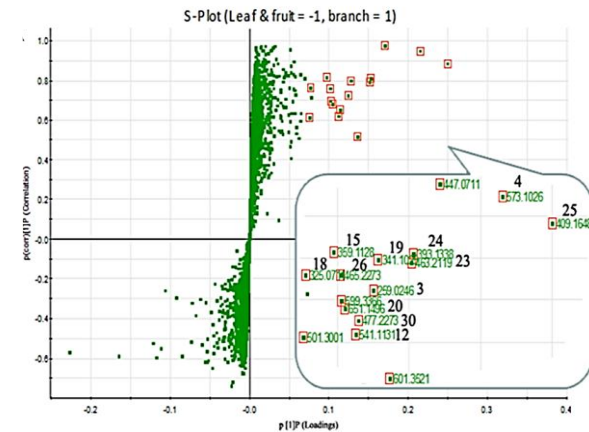
Análise de Componentes Principal (PCA)



Análise Discriminante Ortogonal dos Mínimos Quadrados Parciais(OPLS-Da)



Variável de Importância na Projeção (VIP)



S-plot

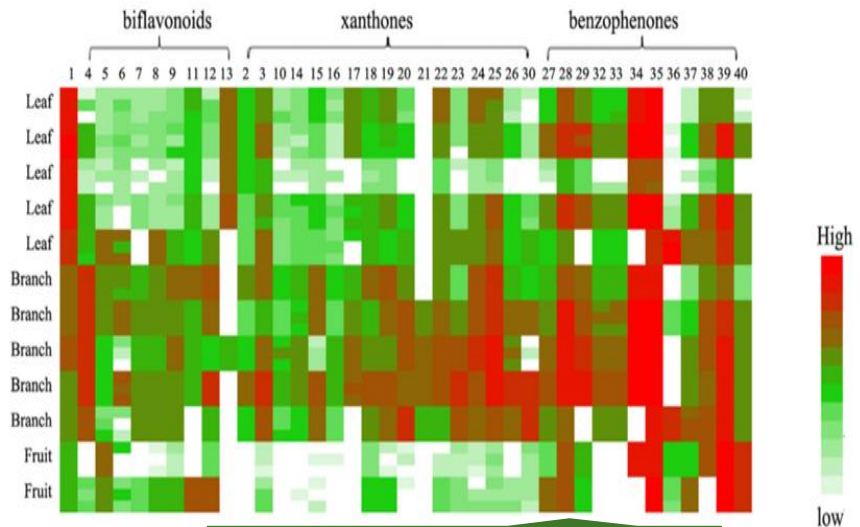
- Interpretação grande volumes de dados
- (UPLC-QTOF-MS^E)
- Determinação dos possíveis biomarcadores

✓ Long, C. lin. (2016). Comparative UPLC-QTOF-MS-based metabolomics and bioactivities analyses of *Garcinia oblongifolia*. Journal of Chromatography B: Analytical Technologies in the Biomedical and Life Sciences, 1011, 179–195.

3. Metodologia

☐ Análise Multivariada dos dados

- Método Hierárquico de Análise de Cluster;
- Contribui para um melhor entendimento da variação dos metabólitos nas diferentes partes da planta;
- Software utilizado GENE-E.

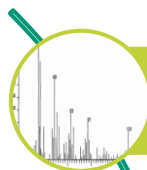


Mapa de Calor (Heat map)

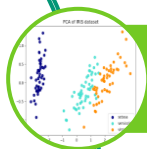
✓ Long, C. lin. (2016). Comparative UPLC-QTOF-MS-based metabolomics and bioactivities analyses of *Garcinia oblongifolia*. *Journal of Chromatography B: Analytical Technologies in the Biomedical and Life Sciences*, 1011, 179–195.

3. Metodologia

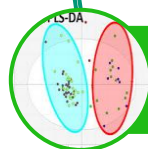
❑ Parâmetros de análise quimiométrica



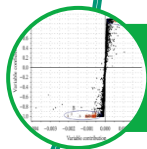
Intervalo de tempo de retenção de 0,70-7,0 min e intervalo de massa de 110-1200 Da no modo ES⁻



O modelo utilizado na análise de componentes principais (PCA) foi o pareto;



A análise discriminante dos mínimos quadrados ortográficos parciais (OPLS-DA) foi utilizada para validar o modelo de PCA e identificar os metabólitos diferenciais;



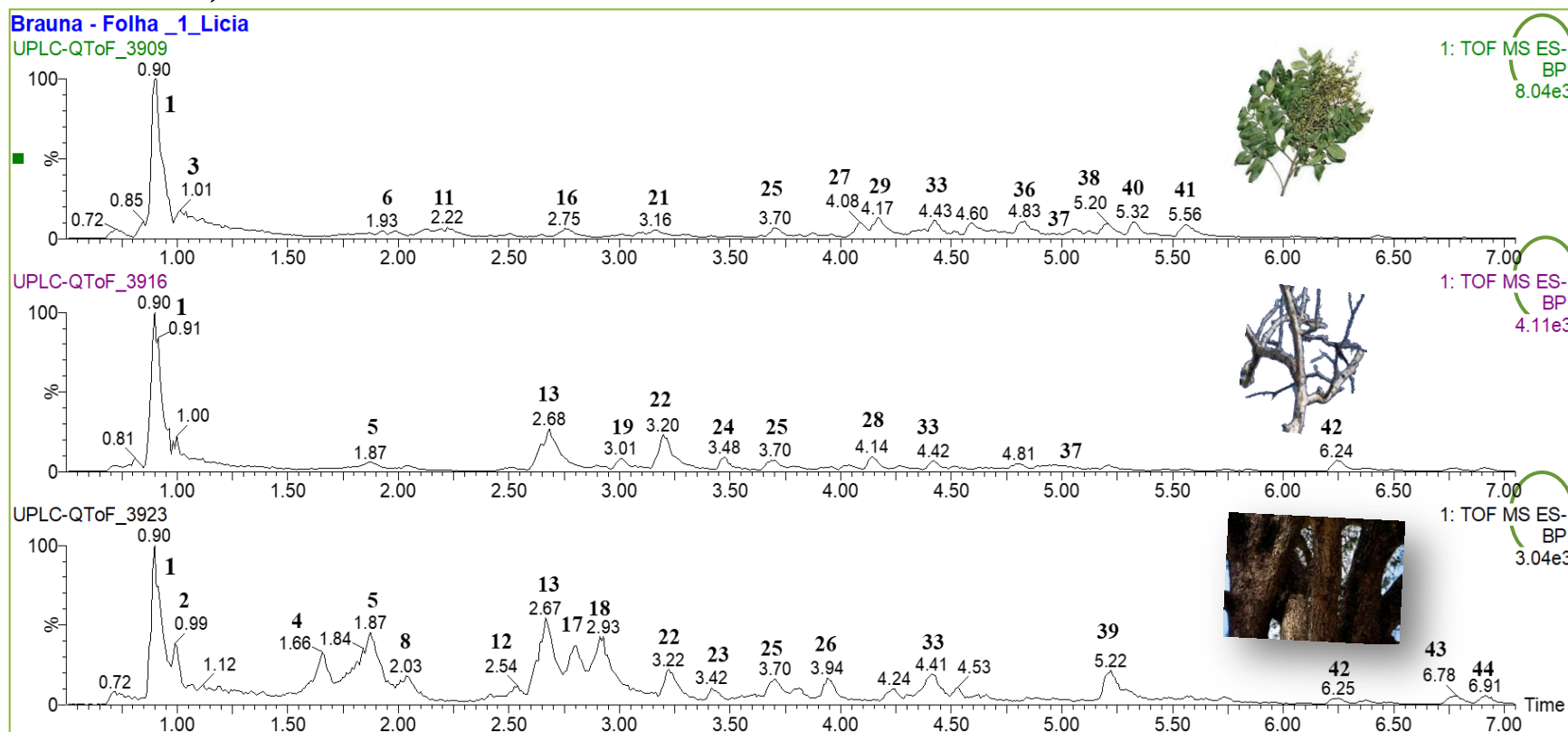
Os biomarcadores foram selecionados pela variável de importância na projeção (VIP) juntamente com o S-Plot.



O Heat map foi utilizado para corroborar com os resultados obtidos de PCA, OPLS-DA, VIP e S-PLOT.

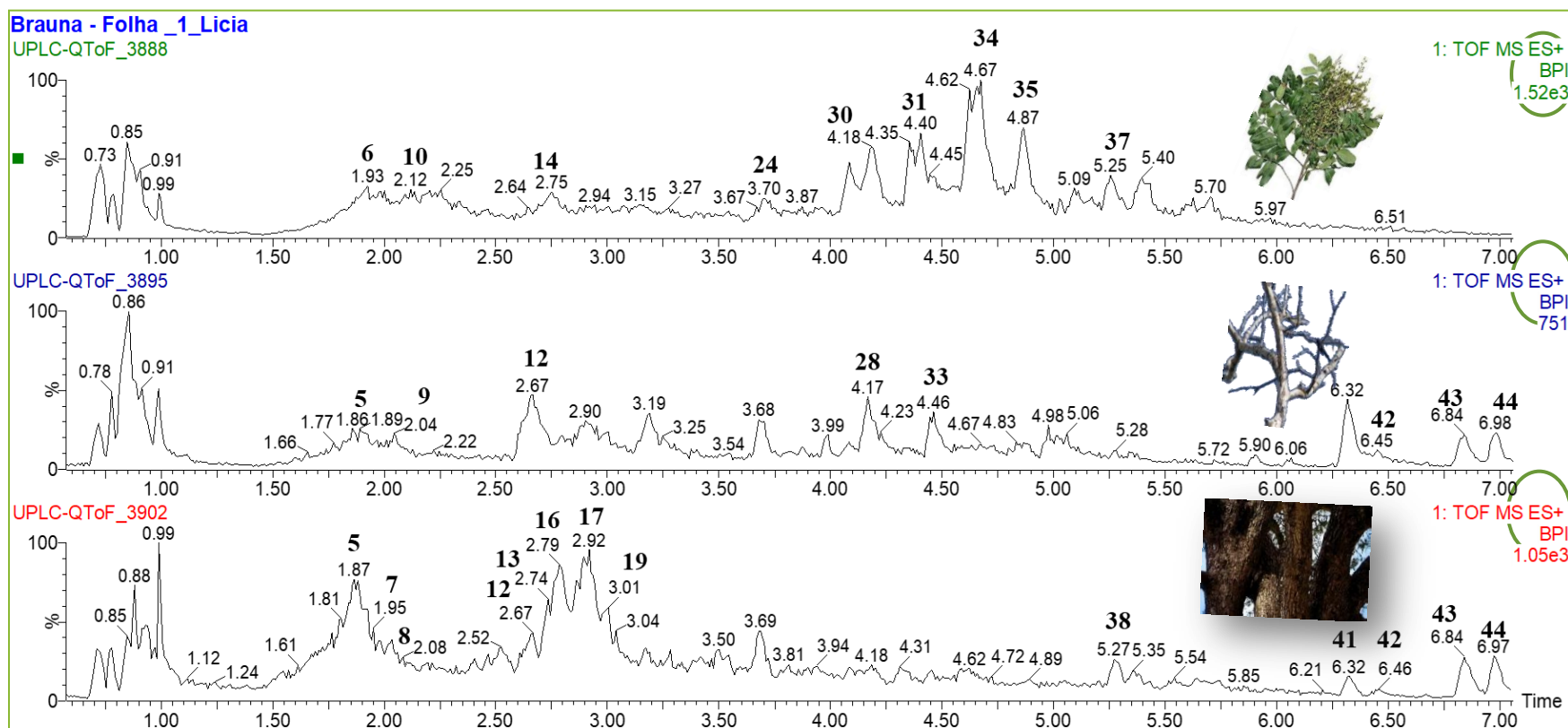
4. Resultados e Discussão

□ Cromatogramas dos extratos de folha, galho e casca (modo ESI-)



4. Resultados e Discussão

□ Cromatogramas dos extratos de folha, galho e casca (modo ESI⁺)



4. Resultados e Discussão

□ Tentativa de identificação dos metabólitos secundários presentes nos extratos de folha, galho e casca

Picos	t _r (min)	Modo de ionização negativo			Modo de ionização positivo			Fórmula molecular	Tentativa de identificação	S. <i>brasiliensis</i> Folha	S. <i>brasiliensis</i> Galho	S. <i>brasiliensis</i> Casca	Referências
		MS [M-H] ⁻	MS/MS	ppm	MS [M+H] ⁺	MS/MS	ppm						
1	0,90	191,0549	173,0440 127,0401 85,0333	-3,7	-	-	-	C ₇ H ₁₂ O ₆	Ácido quínico ^a	+	+	+	(ABU-REIDAH et al., 2015a; SRIVASTAVA, 2016)
2	0,99	191,0189	133,0167 111,0075	-1,6	-	-	-	C ₆ H ₈ O ₇	Ácido cítrico ^a			+	(OJEWOLE, 2003)
3	1,00	191,0496	133,0151 85,0302	-3,7	-	-	-	C ₁₄ H ₈ O	n.i	+	+		-
4	1,66	343,0655	191,0497 169,0125 125,0265	-5,2	-	-	-	C ₁₄ H ₁₆ O ₁₀	Ácido quínico galoil isômero I ^d			+	(ABU-REIDAH et al., 2015a; ERSAN et al., 2016)
5	1,87	343,0634	191,0522 169,0082 125,0193	-2,9	345,0817	153,0187 125,0203	-1,4	C ₁₄ H ₁₆ O ₁₀	Ácido quínico galoil isômero II ^d		+	+	(ABU-REIDAH et al., 2015a; ERSAN et al., 2016)
6	1,93	465,1231	271,0438 169,0129 125,0238	-2,8	467,1385	315,0734 153,0202	-3,4	C ₁₈ H ₂₆ O ₁₄	n.i	+			-
7	1,95	-	-	-	345,0824	153,0210	0,6	C ₁₄ H ₁₆ O ₁₀	Ácido quínico galoil isômero III			+	(ABU-REIDAH et al., 2015a; ERSAN et al., 2016)
8	2,03	343,0835	191,0540 169,0121 125,0247	2,3	345,0824	153,0209	0,6	C ₁₄ H ₁₆ O ₁₀	Ácido quínico galoil isômero IV			+	(ABU-REIDAH et al., 2015a; ERSAN et al., 2016)

4. Resultados e Discussão

□ Tentativa de identificação dos metabólitos secundários presente nos extratos de folha, galho e casca

Picos	t _r (min)	Modo de ionização negativo			Modo de ionização positivo			Fórmula molecular	Tentativa de identificação	S. <i>brasiliensis</i> Folha	S. <i>brasiliensis</i> Galho	S. <i>brasiliensis</i> Casca	Referências
		MS [M-H] ⁻	MS/MS	ppm	MS [M+H] ⁺	MS/MS	ppm						
9	2,04	-	-	-	315,0710	153,0193 125,0159	-1,9	C ₁₃ H ₁₄ O ₉	Levoglucosan galato isômero 4 ^a	+			(ABU-REIDAH et al., 2015a)
10	2,12	-	-	-	315,0726	153,0215 125,0114	3,2	C ₁₃ H ₁₄ O ₉	Levoglucosan galato isômero II ^a	+			(ABU-REIDAH et al., 2015a)
11	2,22	449,1292	271,0503 169,0157 125,0159	-0,7	-	-	-	C ₁₈ H ₂₆ O ₁₃	n.i	+			-
12	2,54	495,0789	343,0688 191,0524 169,0148	2,8	-	-	-	C ₂₁ H ₂₀ O ₁₄	Ácido quínico digaloiol isômero I			+	(FRAIGE et al., 2017; SANTOS et al., 2017)
13	2,65	353,0856	191,0531 179,0337 135,0439	-4,8	355,1042	163,0403 89,0397	3,7	C ₁₆ H ₁₈ O ₉	Ácido clorogênico ^a		+	+	(HASSAN et al., 2011; WILLEMS et al., 2016)
14	2,73	-	-	-	497,0946	479,0812 309,0629 153,0195	3,0	C ₂₁ H ₂₀ O ₁₄	Ácido quínico digaloiol isômero II			+	(FRAIGE et al., 2017; SANTOS et al., 2017)
15	2,74	-	-	-	315,0729	153,0209 125,0215	4,1	C ₁₃ H ₁₄ O ₉	Levoglucosan galato isômero III	+			(ABU-REIDAH et al., 2015a)
16	2,75	389,1086	271,0392 169,0164 125,0276	0,5	-	-	-	C ₁₆ H ₂₂ O ₁₁	n.i	+			-

4. Resultados e Discussão

□ Tentativa de identificação dos metabólitos secundários presente nos extratos de folha, galho e casca

Picos	t _r (min)	Modo de ionização negativo			Modo de ionização positivo			Fórmula molecular	Tentativa de identificação	S. <i>brasiliensis</i> Folha	S. <i>brasiliensis</i> Galho	S. <i>brasiliensis</i> Casca	Referências
		MS [M-H] ⁻	MS/MS	ppm	MS [M+H] ⁺	MS/MS	ppm						
17	2,78	495,0750	343,0645 191,0562 169,0143	-5,0	497,0954	479,085630 9,0629 153,0203	4,6	C ₂₁ H ₂₀ O ₁₄	Ácido quínico digaloil isômero III			+	(FRAIGE et al., 2017; SANTOS et al., 2017)
18	2,93	495,0759	343,0643 191,0616 169,0119	-3,2	497,0956	479,0872 309,0630 153,0201	5,0	C ₂₁ H ₂₀ O ₁₄	Ácido quínico digaloil isômero IV			+	(FRAIGE et al., 2017; SANTOS et al., 2017)
19	3,01	359,0991	169,0140	3,6	-	-	-	C ₁₅ H ₂₀ O ₁₀	etil- <i>O</i> -β-D-(6'- <i>O</i> -galoil)-glucopiranosídeo		+		(SANTOS et al., 2017)
20	3,01	-	-	-	497,0926	479,0812 309,0629 153,0195	-1,0	C ₂₁ H ₂₀ O ₁₄	Ácido quínico digaloil isômero IV			+	(FRAIGE et al., 2017; SANTOS et al., 2017)
21	3,16	321,0239	169,0121 125,0238	-2,5	-	-	-	C ₁₄ H ₁₀ O ₉	Ácido digálico ^a	+			(ABU-REIDAH et al., 2015a)
22	3,21	453,1016	313,0551 179,0317 169,0128	-3,8	-	-	-	C ₂₀ H ₂₂ O ₁₂	2-hidroxi-4-metoxifenol 1- <i>O</i> -β-D-(6'- <i>O</i> -galoil)glucopiranosídeo		+	+	(SANTOS et al., 2017)
23	3,48	633,0762	463,0793 300,9986 169,0133	5,4	-	-	-	C ₂₇ H ₂₂ O ₁₈	Corilagina ^a		+		(SRIVASTAVA, 2016) Padrão analítico

4. Resultados e Discussão

□ Tentativa de identificação dos metabólitos secundários presente nos extratos de folha, galho e casca

Picos	t _r (min)	Modo de ionização negativo			Modo de ionização positivo			Fórmula molecular	Tentativa de identificação	S. <i>brasiliensis</i> Folha	S. <i>brasiliensis</i> Galho	S. <i>brasiliensis</i> Casca	Referências	
		MS [M-H] ⁻	MS/MS	ppm	MS [M+H] ⁺	MS/MS	ppm							
24	3,69	635,0938	457,0819 169,0127 125,0114	-0,8	-	-	-	C ₂₀ H ₂₈ O ₂₃	n.i			+	-	
25	3,70	631,0961	479,0884 169,0130 125,0231	4,1	633,1121	319,0495 153,0235	4,6	C ₂₈ H ₂₄ O ₁₇	n.i	+	+		-	
26	3,94	923,1716	481,1007 169,0107 125,0255	4,9	-	-	-	C ₄₆ H ₃₆ O ₂₁	n.i				+	-
27	4,08	787,1006	635,0993 617,1226 465,0739 169,0145	1,5	-	-	-	C ₃₄ H ₂₈ O ₂₂	tetra- <i>O</i> -galoil-glucose isômero I ^b	+				(BERARDINI; CARLE; SCHIEBER, 2004)
28	4,14	787,1068	615,0982 169,0111 125,0196	-2,5	-	-	-	C ₄₈ H ₂₄ O ₁₄	n.i		+			-
29	4,16	787,1042	635,0993 169,0068 617,1226	6,0	-	-	-	C ₃₄ H ₂₈ O ₂₂	tetra- <i>O</i> -galoyl-glucose isômero II ^a	+				(BERARDINI; CARLE; SCHIEBER, 2004)
30	4,17	-	-	-	467,0858	153,0191	6,9	C ₂₀ H ₁₈ O ₁₃	<i>O</i> -galoilnorbergenina ^c		+			(ABU-REIDAH et al., 2015a)
31	4,18	615,0983	-	-0,5	617,1168	303,0540 153,0210	4,1	C ₂₈ H ₂₄ O ₂₂	Miricitrina <i>O</i> -galato isômero I ^d	+				(ABU-REIDAH et al., 2015a)

4. Resultados e Discussão

□ Tentativa de identificação dos metabólitos secundários presente nos extratos de folha, galho e casca

Picos	t _r (min)	Modo de ionização negativo			Modo de ionização positivo			Fórmula molecular	Tentativa de identificação	S. <i>brasiliensis</i> Folha	S. <i>brasiliensis</i> Galho	S. <i>brasiliensis</i> Casca	Referências
		MS [M-H] ⁻	MS/MS	ppm	MS [M+H] ⁺	MS/MS	ppm						
32	4,40	-	-	-	617,1122	303,0524	-3,4	C ₂₈ H ₂₄ O ₂₂	Miricitrina <i>O</i> -galato isômero II ^a	+			(ABU-REIDAH et al., 2015a)
33	4,41	939,1135	787,1022 769,0886 617,0902 467,0977	3,3	-	-	-	C ₄₁ H ₃₂ O ₂₆	Penta- <i>O</i> -galoil-β-D ^a	+	+	+	(ERSAN et al., 2016)
34	4,46	-	-	-	771,1117	153,0194	9,3	C ₃₄ H ₂₆ O ₂₁	di- <i>O</i> -galoil-2,3-(<i>S</i>)-hexahidrodidifenil-silo-querçitol ^b		+		(ABU-REIDAH et al., 2015a)
35	4,67	463,0877	301,0325		465,1042	303,0537	1,9	C ₂₁ H ₂₀ O ₁₂	Quercetina-3- <i>O</i> -hexosídeo ^a	+			(BERARDINI; CARLE; SCHIEBER, 2004)
36	4,83	615,0992	463,0869 301,0328 169,0112	1,0	617,1132	303,0486	-1,8	C ₂₈ H ₂₄ O ₁₆	Quercetina-3- <i>O</i> -(6''- <i>O</i> -galoil)-β-hexosídeo	+			(SALDANHA; VILEGAS; DOKKEDAL, 2013)
37	5,05	1091,1239	939,1112 769,1029 393,2011 433,0771	2,4	-	-	-	C ₄₈ H ₃₆ O ₃₀	Hexagaloil-hexosídeo ^a	+	+		(ABU-REIDAH et al., 2015a)
38	5,20	585,0894	469,2008 301,0325 169,0166	2,4	587,1027	457,0462 303,0493 153,0224	-1,7	C ₂₇ H ₂₂ O ₁₅	Quercetina galoil-pentosídeo ^a	+			(ERSAN et al., 2016)

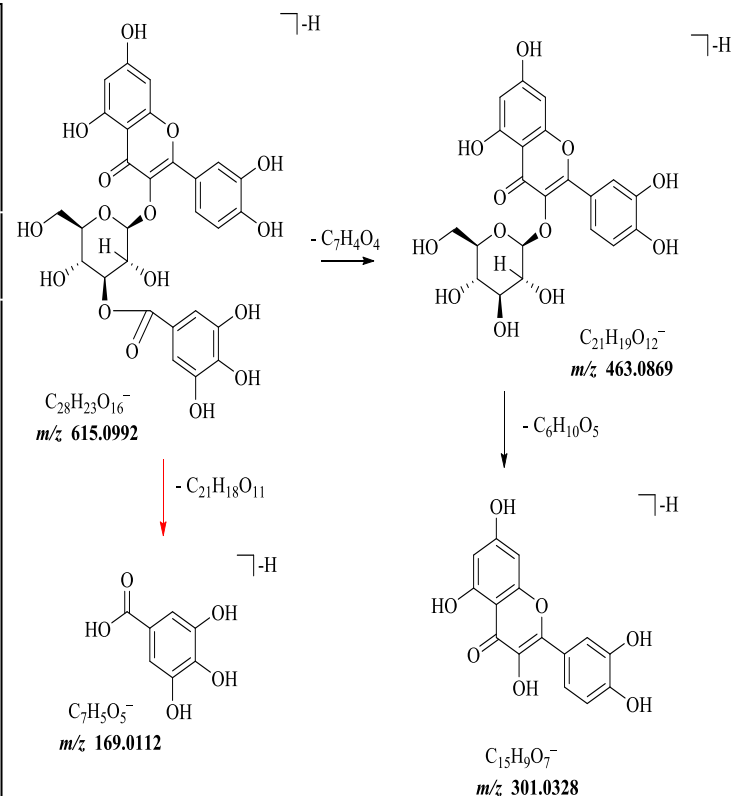
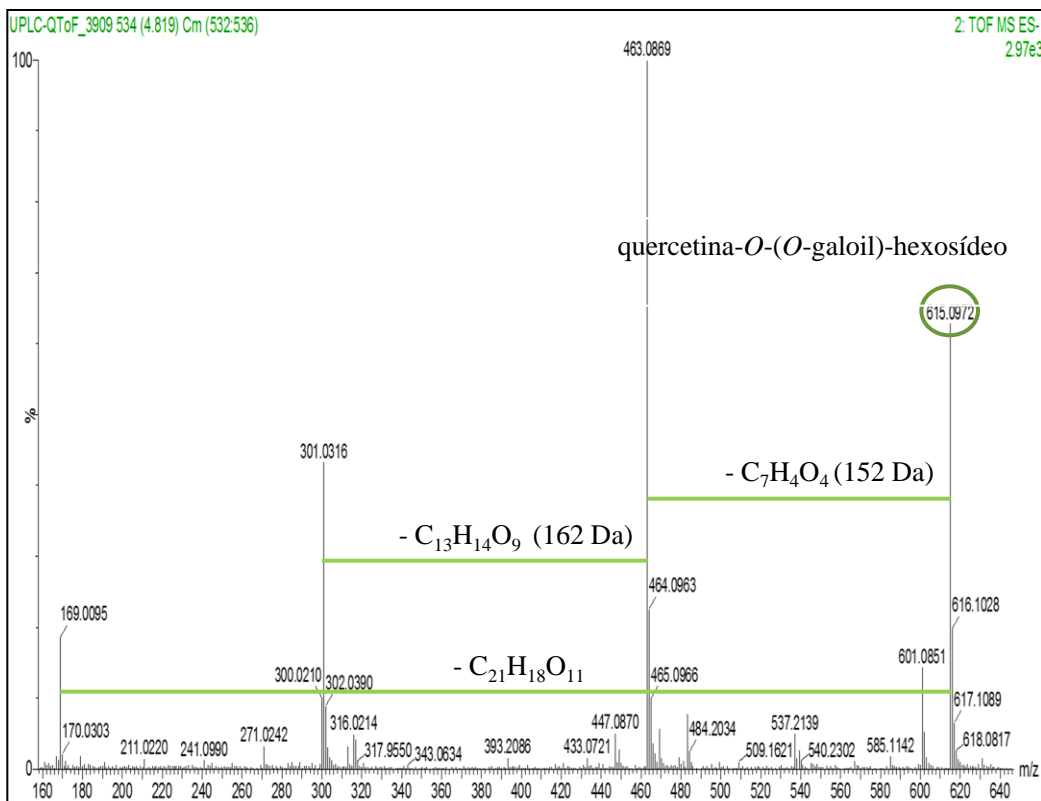
4. Resultados e Discussão

□ Tentativa de identificação dos metabólitos secundários presente nos extratos de folha, galho e casca

Picos	t _r (min)	Modo de ionização negativo			Modo de ionização positivo			Fórmula molecular	Tentativa de identificação	S. <i>brasiliensis</i> Folha	S. <i>brasiliensis</i> Galho	S. <i>brasiliensis</i> Casca	Referências
		MS [M-H] ⁻	MS/MS	ppm	MS [M+H] ⁺	MS/MS	ppm						
39	5,22	619,1095	449,0901 169,0164 125,0459	1,1	621,1203	451,1079 301,0754 153,0187	-6,6	C ₃₁ H ₂₄ O ₁₄	n.i			+	-
40	5,32	523,2187	469,2070 169,0137 125,0575	1,5	-	-	-	C ₂₆ H ₃₆ O ₁₁	n.i	+			-
41	5,55	349,0580	198,0759 197,0420 169,0096 124,0149	5,7	-	-	-	C ₁₆ H ₁₄ O ₉	Etil 2,4-dihidroxi-3-(3,4,5-trihidroxibenzoil)oxibenzoato	+			(DORTA et al., 2014)
42	6,24	525,1210	389,1068 371,1021 169,0185 135,0057	4,6	527,1376	417,1063 137,0260	6,4	C ₃₀ H ₂₂ O ₉	Urundevina A isômero I ^a		+	+	(VIANA; BANDEIRA; MATOS, 2003) Padrão analítico
43	6,78	525,1205	389,1053 371,0912 169,0130 135,0101	3,6	527,1379	417,1101 137,0269	9,3	C ₃₀ H ₂₂ O ₉	Urundevina A isômero II ^a		+	+	Padrão analítico
44	6,92	523,1061	387,0897 135,0090	6,1	525,1228	415,0859 389,1020 137,0258	8,0	C ₃₀ H ₂₀ O ₉	n.i			+	-

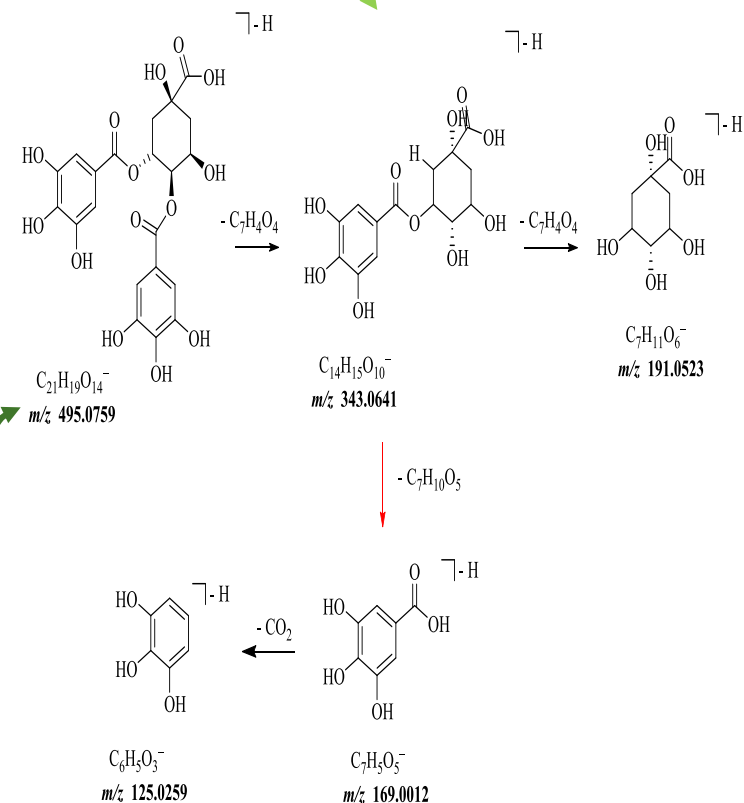
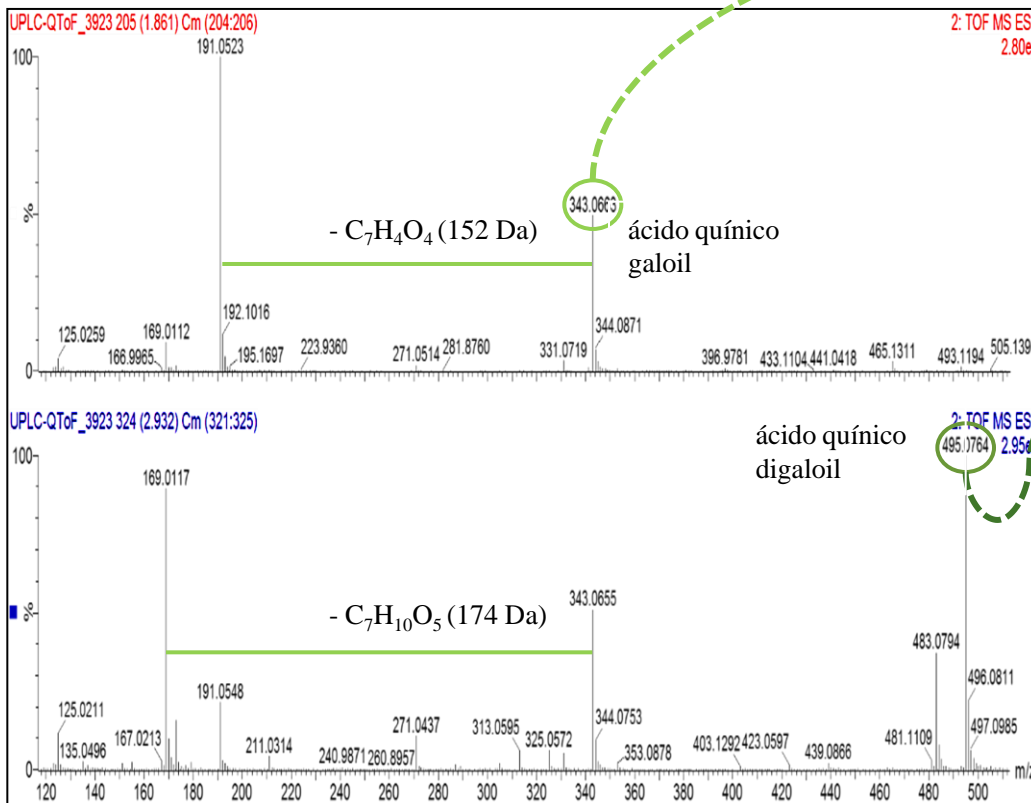
4. Resultados e Discussão

Espectros de massas



4. Resultados e Discussão

Espectros de massas



4. Resultados e Discussão

□ Atividade Citotóxica

- Percentual de inibição da proliferação celular (%) de extratos de *S.brasiliensis* em concentração de 100 µg/mL.

Inibição da proliferação celular (%)										
Extrato	HL60	DP%	HCT-116	DP%	PC3	DP%	SF-295	DP%	RAJI	DP%
Galho	72,17	8,44	0	-	16,37	2,36	34,04	7,63	4,97	1,87
Folha	88,68	1,35	77,55	2,46	39,22	3,49	74,25	4,46	53,64	14,47
Casca	83,16	0,24	57,80	5,21	33,49	1,33	73,94	3,17	17,34	7,47

4. Resultados e Discussão

☐ Atividade Citotóxica

- Atividade citotóxica *in vitro* dos extratos de folha e casca em células tumorais e não tumoral.

Amostra	CI ₅₀ µg/mL (Intervalo)*						
	SF-295 (Glioblastoma)	PC3 (Próstata)	HL60 (Leucemia)	RAJI (Colorretal)	HCT-116 (Colorretal)	SW-620 (Colorretal)	L929 (Fibroblasto murino)
Casca	>100	>100	58,75 (52,98 - 65,13)	>100	93,64 (85,06 - 103,1)	25,68 (16,25 - 40,57)	82,0 (51,43 - 131)
Folha	78,57 (52,92 - 116,6)	71,54 (33,95 - 150,7)	52,58 (47,19 - 58,59)	55,90 (34,93 - 89,45)	61,73 (53,60 - 71,10)	65,46 (55,11 - 77,75)	49,53 (33,62 - 72,97)
Doxorrubicina ^a	0,25 (0,22-0,28)	0,44 (0,34-0,54)	0,01 (0,005-0,01)	0,46 0,45-0,47	0,11 (0,08-0,14)	0,03 (0,02-0,05)	0,99 (0,92-1,08)

* Valores de CI₅₀ com um intervalo de confiança de 95% obtido por regressão não-linear a partir de três experimentos independentes, realizados em duplicata em seis linhagens tumorais e uma linhagem não tumoral.

^aDoxorrubicina foi usada como controle positivo

4. Resultados e Discussão

☐ Atividade Citotóxica

- Valores Índice de seletividade IC_{50} (células não tumorais)/ IC_{50} (célula tumoral) nas linhagens tumorais.

Índice de seletividade IC_{50} (células não tumorais)/ IC_{50} (célula tumoral)

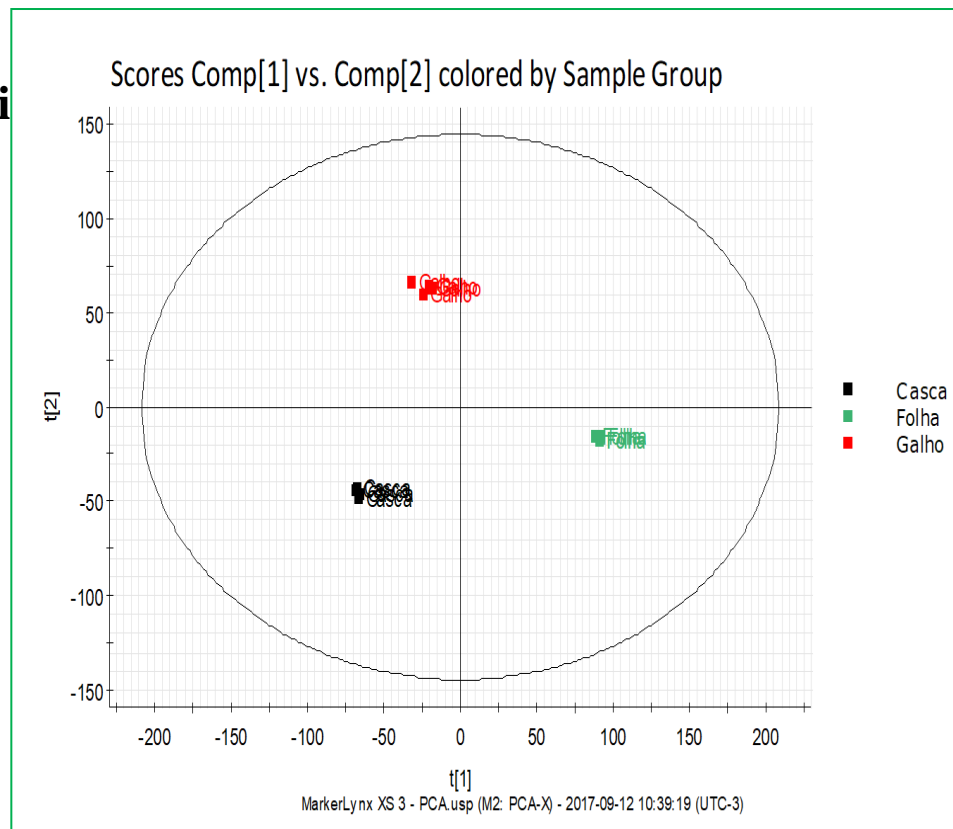
	SF-295 (Glioblastoma)	PC3 (Próstata)	HL60 (Leucemia)	RAJI (Colorretal)	HCT-116 (Colorretal)	SW-620 (Colorretal)
Casca	ND	ND	1,4	ND	0,9	3,2
Folha	0,6	0,7	0,9	0,9	0,8	0,8

4. Resultados e Discussão

☐ Análise Quimiométrica

- Análise de Componentes Principais

- o Amostras foram claramente separadas e agrupadas em três grupos;
- o O gráfico de PCA-X representou 77,73% da variância total (poder de discriminação das amostras) ($R^2X[1] = 0.5256$ e $R^2X[2] = 0.2517$).



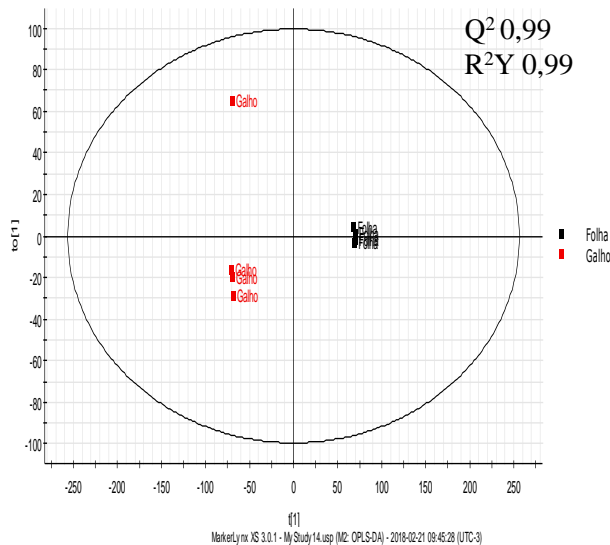
4. Resultados e Discussão

☐ Análise Quimiométrica

- Análise Discriminante Ortogonal dos Mínimos Quadrados Parciais (OPLS-Da)

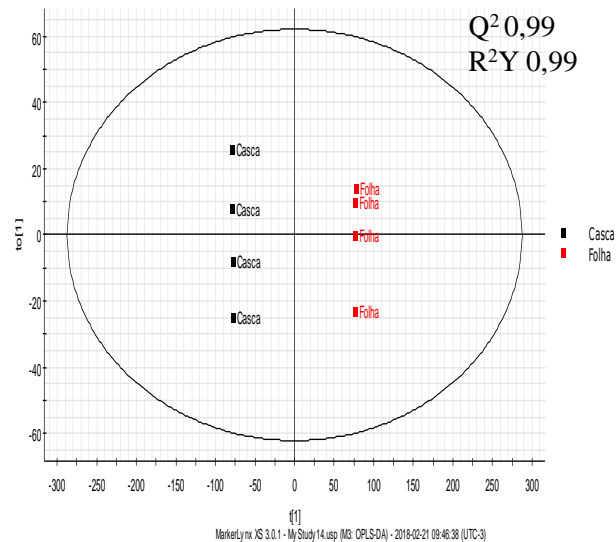
Galho vs Folha

Scores colored by Sample Group



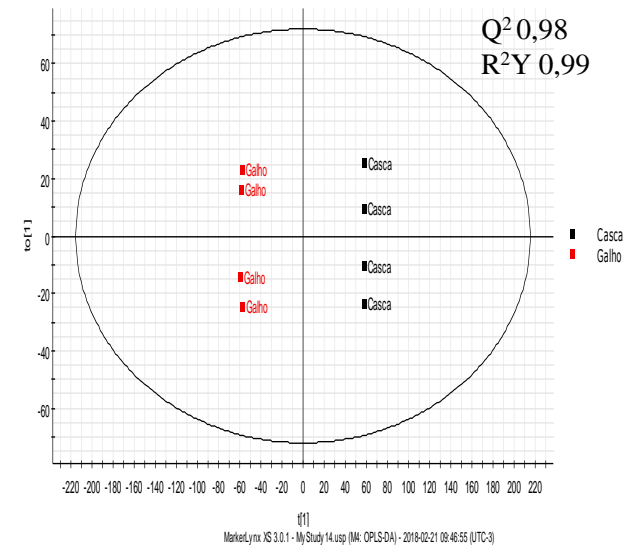
Casca vs Folha

Scores colored by Sample Group



Galho vs Casca

Scores colored by Sample Group

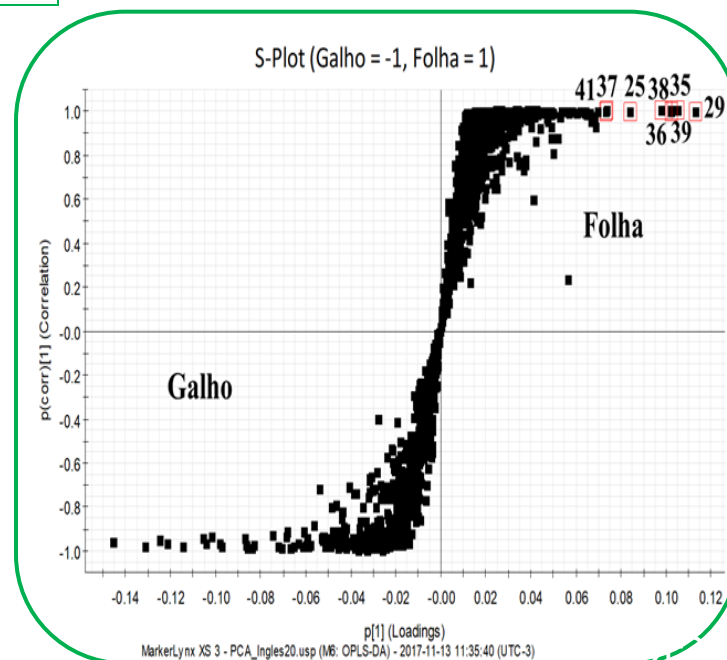
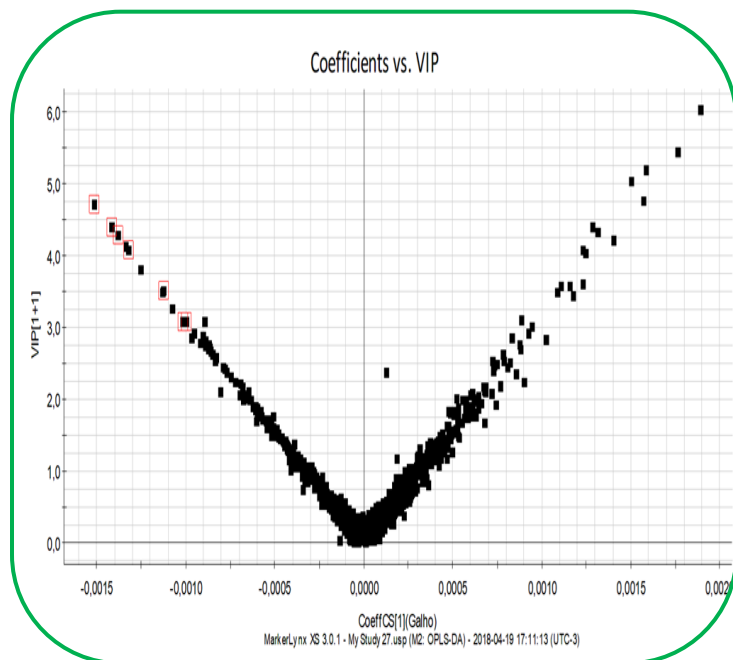


4. Resultados e Discussão

☐ Análise Quimiométrica

- Potenciais Biomarcadores

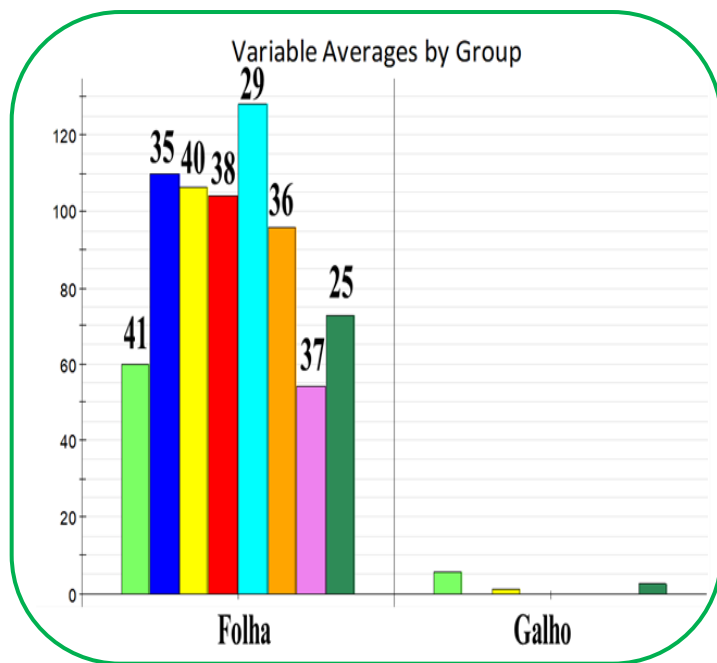
Galho vs Folha



4. Resultados e Discussão

☐ Análise Quimiométrica

- Potenciais Biomarcadores



25. n.i

29. tetra-O-galoil-glucose

isômero I

35. quercetina-O-hexosídeo

36. quercetina-O-(O-galoil)-hexosídeo

37. hexagaloil hexosídeo

38. quercetina galoil pentosídeo

40. n.i

41. etil 2,4-diidroxi-3-(3,4,5-triidroxibenzoil)oxibenzoato

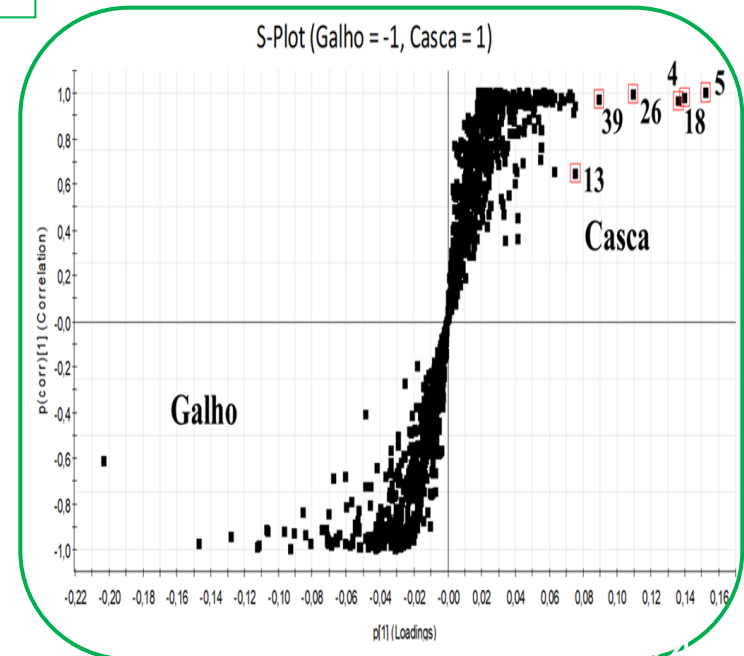
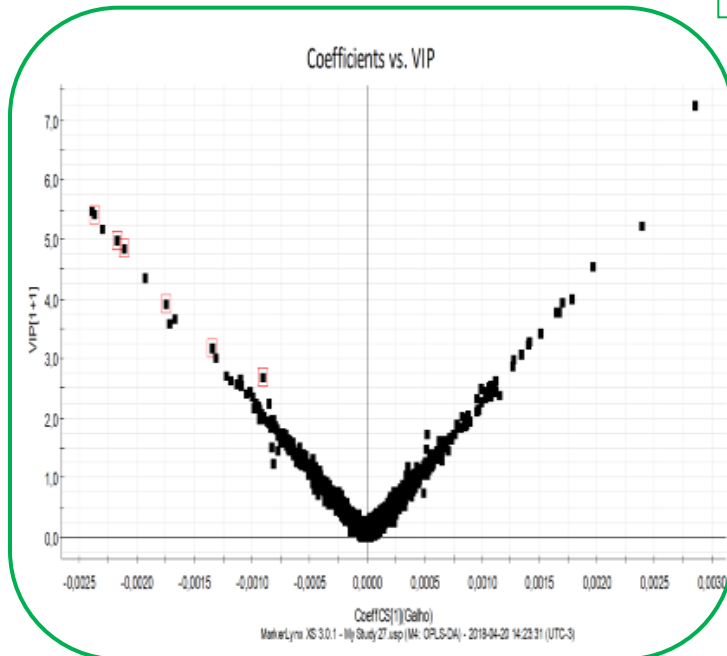
✓ A quercetina e seus derivados possuem propriedades antioxidante, anti-histamínico e antiinflamatória (KAHRAMAN et al., 2003; LESJAK et al., 2018; MAMANI-MATSUDA et al., 2006).

4. Resultados e Discussão

□ Análise Quimiométrica

- Potenciais Biomarcadores

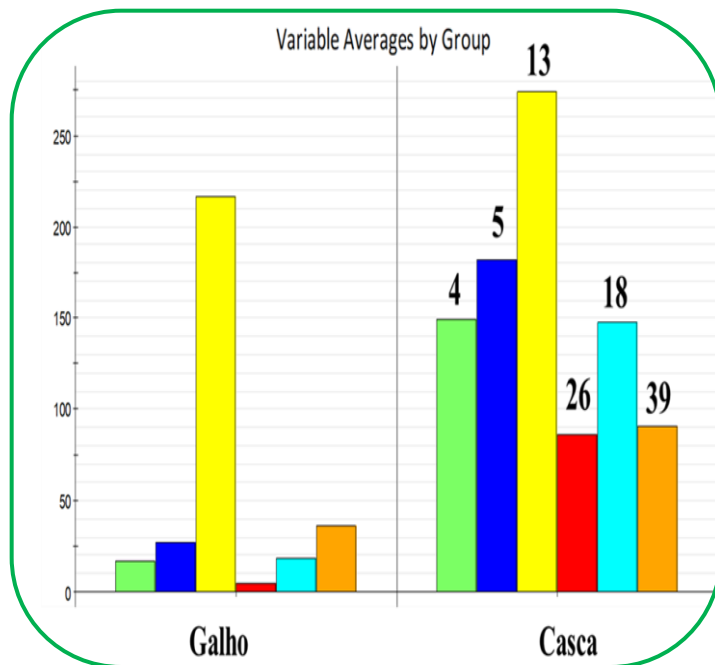
Galho vs Casca



4. Resultados e Discussão

☐ Análise Quimiométrica

- Potenciais Biomarcadores



4. ácido quínico galoil isômero I

5. ácido quínico galoil isômero II

13. ácido clorogênico

18. ácido quínico digaloil isômero

26. n.i

39. n.i

✓ Derivados do ácido galoil quínico possuem considerável atividade antioxidante. Quanto maior o número de unidades de galoil, maior a atividade observada (BARATTO et al., 2003).

✓ Regulação da expressão de genes relacionados à apoptose (LI et al., 2017; YAMAGATA et al., 2017);

✓ Diminuição da proliferação em células cancerígenas no pulmão (YAMAGATA et al., 2017);

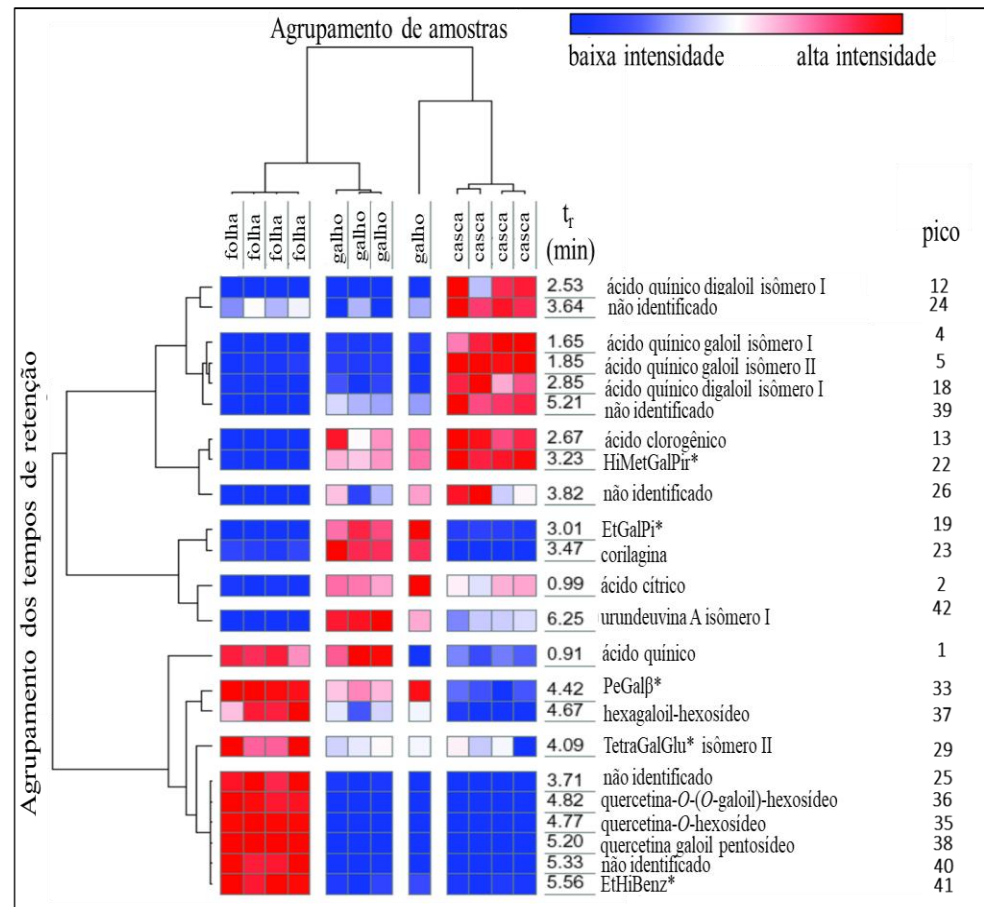
✓ Diminuição da taxa de crescimento de células HT29 em 46% (NAM et al., 2017).

4. Resultados e Discussão

□ Análise Quimiométrica

- Mapa de Calor (Heat map)

- As amostras das folhas foram agrupadas devido à maior quantidade relativa de ácido quínico.
- As amostras de cascas foram agrupadas pela maior quantidade de isômeros de ácido quínico galoil e digaloil, corroborando com os resultados de PCA.



Introdução – O cajueiro

Nome da família: *Anacardiaceae*

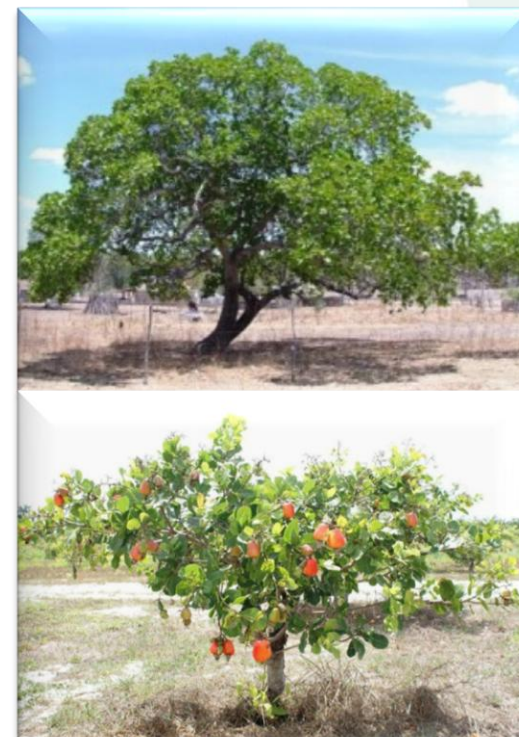
Nome científico: *Anacardium
Occidentale Linn*

Nome popular: Cajueiro

Centro de origem: Brasil

- ❖ Adaptada ao clima quente e seco;
- ❖ Classificada pelo porte;
- ❖ Dois tipos de cajueiro: comum e anão-precocce.

Figura 1 – Tipos de cajueiro.



Fonte: Elaborada pelo autor.

Materiais e Métodos

➤ Coleta das amostras:

Tabela 2 – Descrição das amostras analisadas

Denominação	Amostra	Característica
Clone 1	CCP 76	Resistente
Clone 2	BRS 226	Resistente
Clone 3	BRS 189	Resistente
Clone 4	BRS 265	Suscetível

Fonte: Elaborada pelo autor

- Planta doente
- Planta saudável

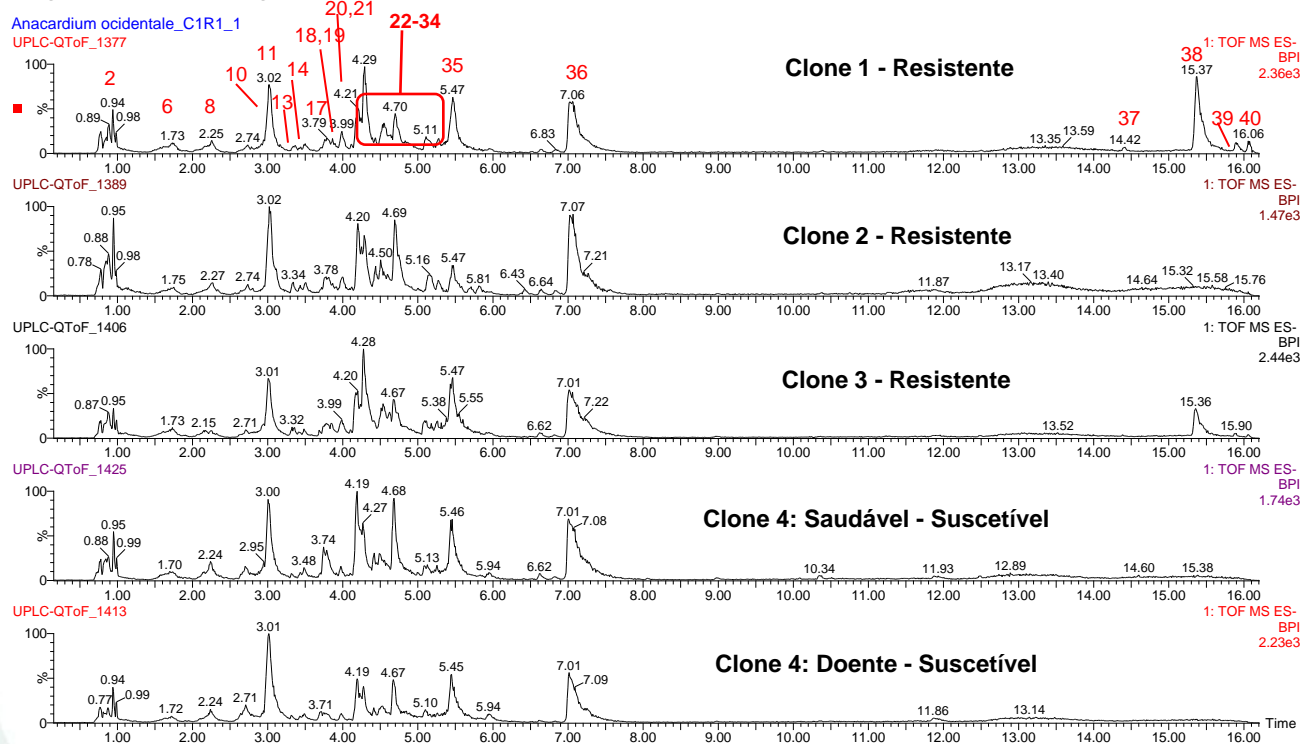
Local de cultivo das plantas



Resultados e Discussão

- Perfil químico via UPLC-ESI-QTOF-MS(/MS) dos extratos de folhas da *Anacardium Occidentale L.*

Figura 7 - Cromatogramas dos diferentes clones de cajueiro anão-precoce analisados.



Fonte: Elaborada pelo autor

Resultados e Discussão

- Perfil químico via UPLC-ESI-QTOF-MS(/MS) dos extratos de folhas da *Anacardium Occidentale L.*

Tabela 6 continuação – Constituintes identificados ou tentativamente identificados em folhas de *Anacardium Occidentale L.* das plantas saudáveis (C1, C2, C3, C4_SA) e da planta doente (C4_CA).

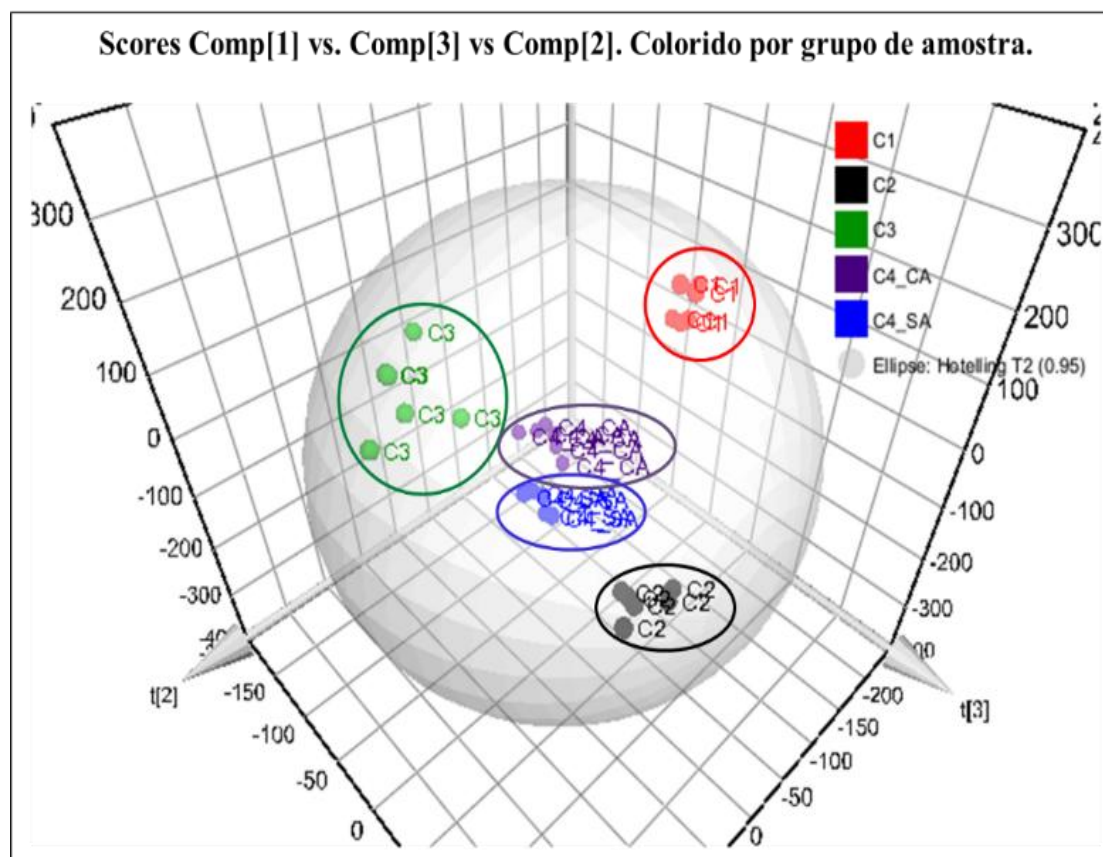
Pico no.	t _R (min)	[M-H] ⁺ Calculado	[M-H] ⁺ Observado	Fragmentos de ions (MS/MS)	Fórmula Molecular	Erro ppm	Tentativa Identificação	Referências	Clone 1	Clone 2	Clone 3	Clone 4 Saudável	Clone 4 Doente
30	4,57	1091,1213	1091,1285	939,1167;769,0932; 617,0867; 169.0123	C ₄₈ H ₃₆ O ₃₀	6,6	Hexagalolil hexosídeo	(GRACE et al., 2016; ERŞAN et al., 2016)	+	+	+	+	+
31	4,59	599,1037	599,1074	285,0398;169,0123; 125,0252	C ₂₈ H ₂₄ O ₁₅	6,2	Cianidina 3-O-(2 ^o galolil)-galactosídeo	(ABU-REIDAH et al., 2015)	-	+	-	-	-
32	4,69	447,0927	447,0909	301,0343; 300,0271	C ₂₁ H ₂₀ O ₁₁	-4,0	Quercetina 3-O-ramosídeo	(ABU-REIDAH et al., 2015)	+	+	+	+	+
33	4,75	585,0880	585,0923	301,0341; 169,0125	C ₂₇ H ₂₂ O ₁₅	7,3	Quercetina galolil pentosídeo	(ERŞAN et al., 2016)	+	+	+	+	+
34	5,27	585,0880	585,0912	301,0350; 169,0152	C ₂₇ H ₂₂ O ₁₅	5,5	Quercetina galolil pentosídeo dímero	(ABU-REIDAH et al., 2015)	-	+	-	-	-
35	5,44	349,0560	349,0562	198,0495;197,0426; 169,0128; 124,0166	C ₁₆ H ₁₄ O ₉	0,6	2,4-di-hidroxi-3-(3,4,5-tri-hidroxibenzoil) oxibenzoato de etilo	(DORTA et al., 2014)	+	-	+	+	+
36	7,02	537,0822	537,0809	417,0616; 375,0501	C ₃₀ H ₁₈ O ₁₀	-2,4	Amentoflavona ou agatisflavona	(ABU-REIDAH et al., 2015)	+	+	+	+	+
37	14,41	341,2117	341,3125	297,2204;119,0514; 106,0428	C ₂₀ H ₃₀ O ₃	5,3	Ácido anacárdico (15:3)	(ERŞAN et al., 2016)	+	-	-	-	-
38	15,38	369,2430	369,2406	325,2503	C ₂₄ H ₃₄ O ₃	-6,5	Ácido anacárdico (17:3)	(ERŞAN et al., 2016)	+	-	+	-	-
39	15,90	345,2430	345,2428	301,2550	C ₂₂ H ₃₄ O ₃	-0,6	Ácido anacárdico (15:1)	(ERŞAN et al., 2016)	+	-	-	-	-
40	16,06	371,2586	371,2582	327,2686	C ₂₄ H ₃₆ O ₃	-1,1	Ácido anacárdico (17:2)	(ERŞAN et al., 2016)	+	-	-	-	-

Fonte: Elaborada pelo autor.

Resultados e Discussão

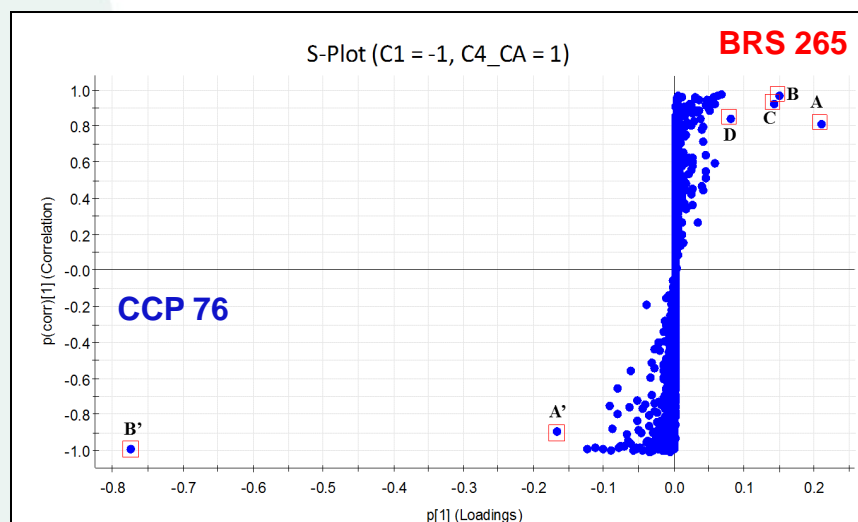
➤ Análises quimiométricas:

Figura 9 – Gráfico em 3D da Análise de Componentes Principais para as amostras de *Anacardium Occidentale L.* analisados por UPLC-ESI-QTOF-MS(/MS).



Resultados e Discussão

Figura 11 – Gráfico dispersão (S-plot) para os extratos de folhas do clone 1 relacionados aos dos clone 4 - doente.



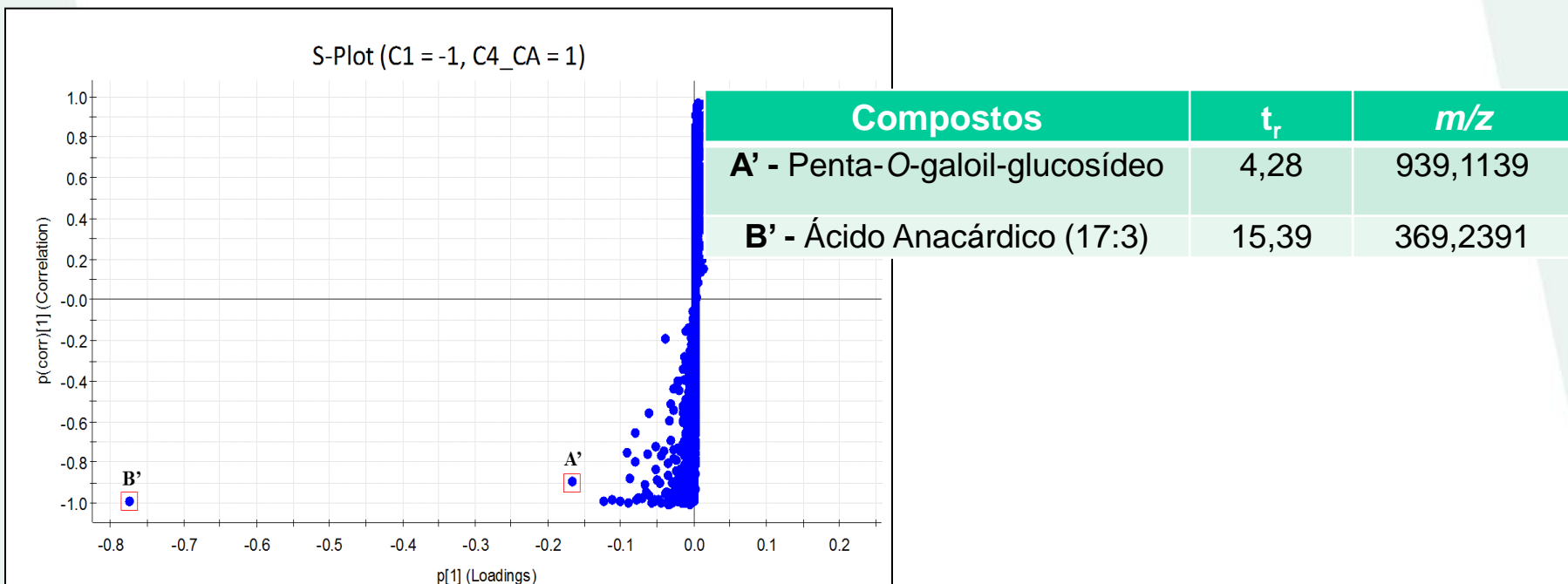
Compostos	t_r	m/z	$p[1]$	$p(\text{corr})[1]$
D - Monogalato de dímero de procianidina tipo B	3,71	729,1516	0,076905 2	0,851377
B - Dímero de Procianidina tipo B	2,74	577,1382	0,145079	0,978857
C - 2,4-di-hidroxi-3-(3,4,5-tri-hidroxibenzoil) oxibenzoato de etilo	5,44	349,0543	0,136453	0,934055
A - Catequina	3,01	289,0669	0,202476	0,817749
A' - Penta-O-galoil-glucosídeo	4,28	939,1139	-0,167484	-0,886497
B' - Ácido Anacárdico (17:3)	15,39	369,2391	-0,775554	-0,98636

Fonte: Elaborada pelo autor

Resultados e Discussão

Biomarcadores de Resistência

Figura 12 – Gráfico dispersão (S-plot) para os extratos de folhas do clone 1 relacionados aos dos clone 4 - doente.

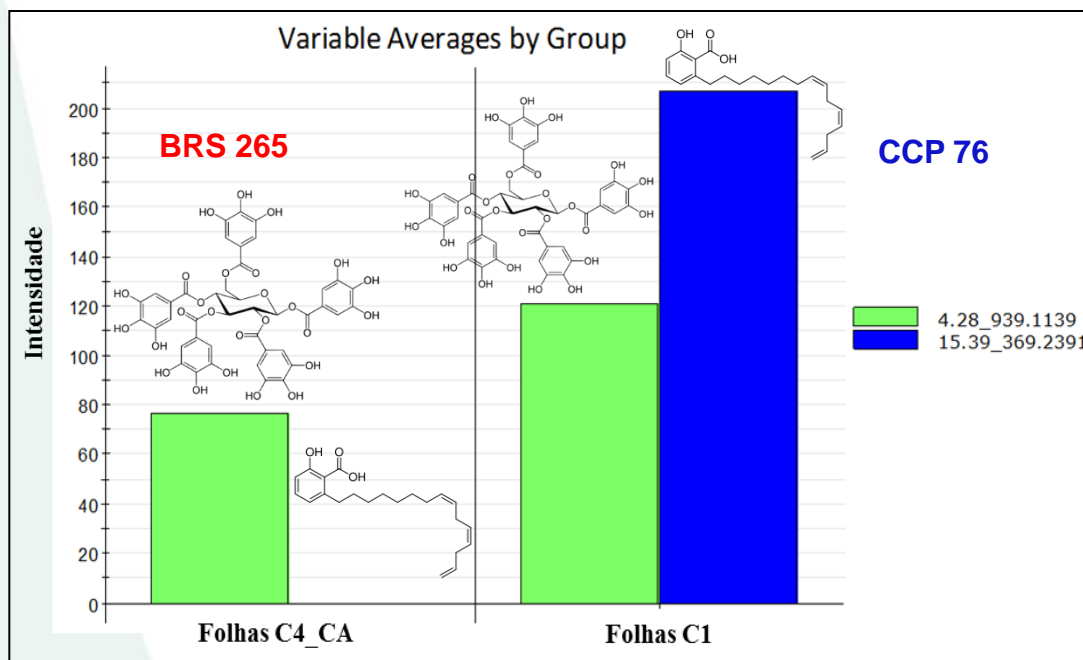


Fonte: Elaborada pelo autor

Resultados e Discussão

Biomarcadores de Resistência

Figura 13 - Variação média dos discriminantes do extrato etanólico do clone 1 em relação ao clone 4 doente.



Fonte: Elaborada pelo autor

ÁCIDOS ANACÁRDICOS:

Inibição de germinação de
conídios e crescimento micelial
de fungos
(MUZAFFAR et al., 2016)

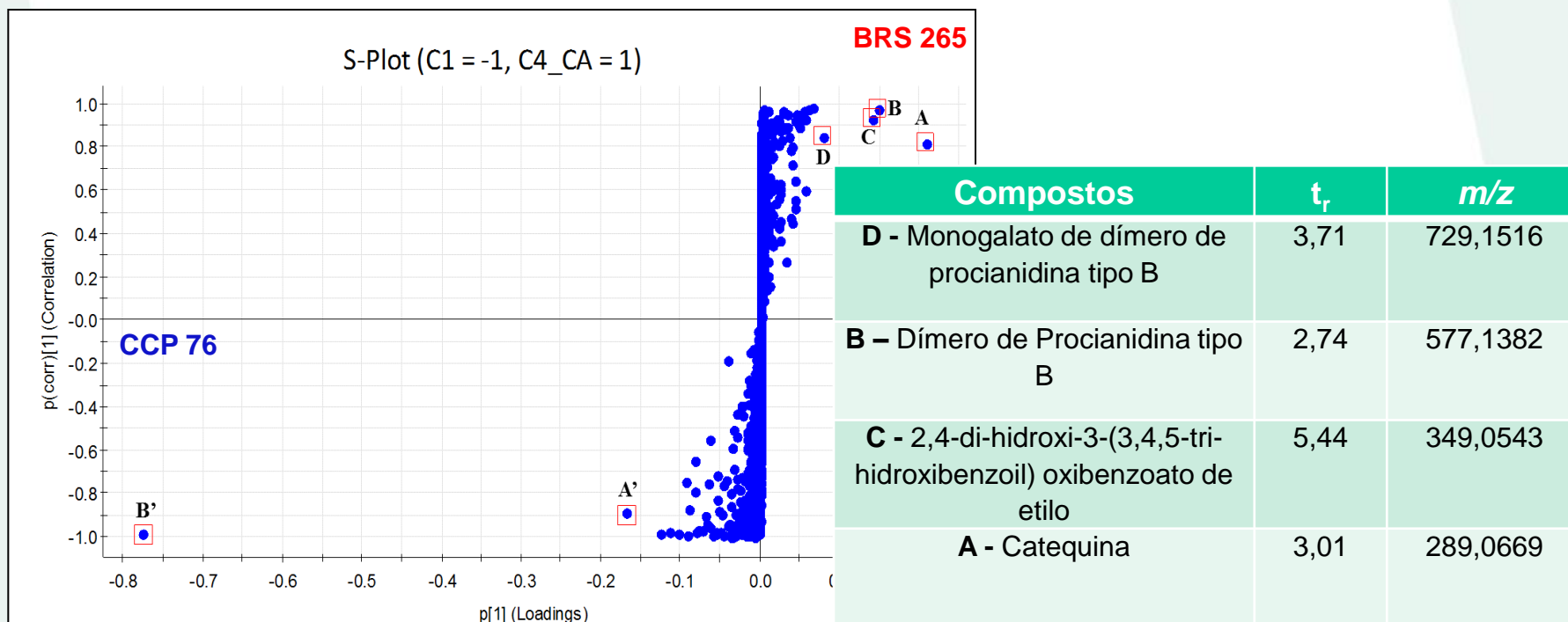
Compostos	t_r	m/z
A' - Penta-O-galoil-glucosídeo	4,28	939,1139
B' - Ácido Anacárdico (17:3)	15,39	369,2391

Resultados e Discussão

Biomarcadores de **Suscetibilidade**

76

Figura 14 – Gráfico dispersão (S-plot) para os extratos de folhas do clone 1 relacionados aos dos clone 4 - doente.

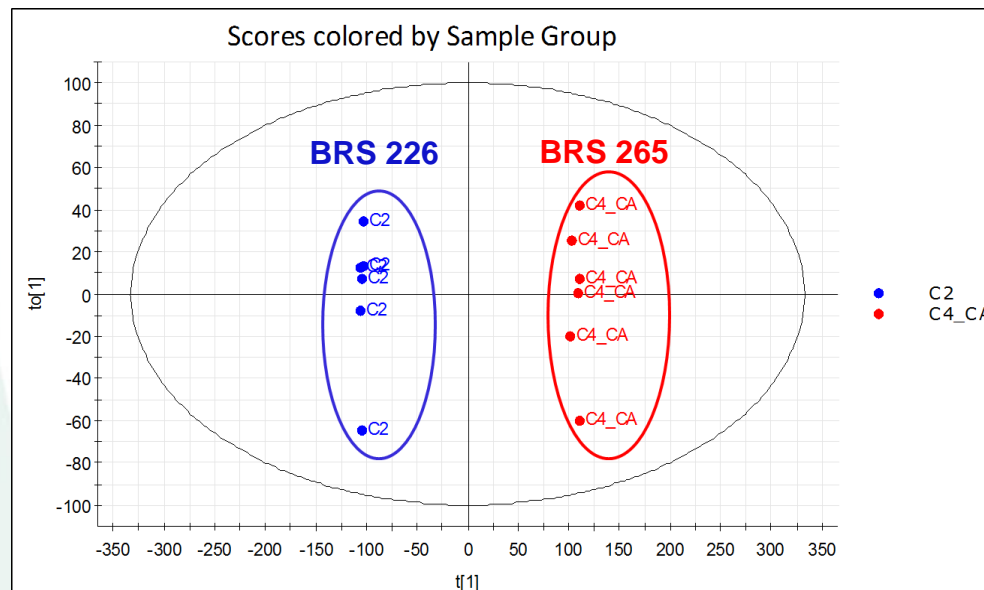


Fonte: Elaborada pelo autor

Resultados e Discussão

➤ Análise Discriminante por Projeções Ortogonais a Estruturas Latentes (OPLS-DA):

Figura 15 – Gráfico de scores da OPLS-DA para os extratos de folhas do clone 2 relacionados aos dos clone 4 - doente.

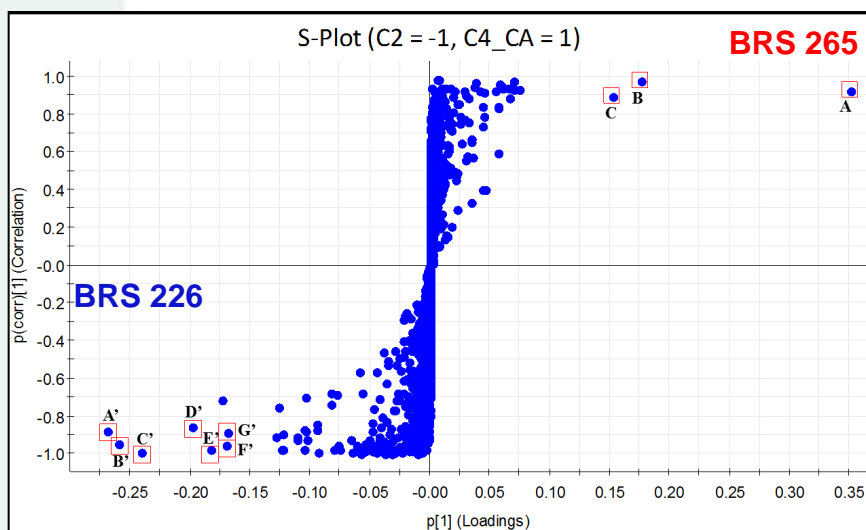


Fonte: Elaborada pelo autor

$R^2Y = 0,99$
 $Q^2 = 0,99$

Resultados e Discussão

Figura 16 – Gráfico dispersão (S-plot) para os extratos de folhas do clone 2 relacionados aos dos clone 4 - doente.



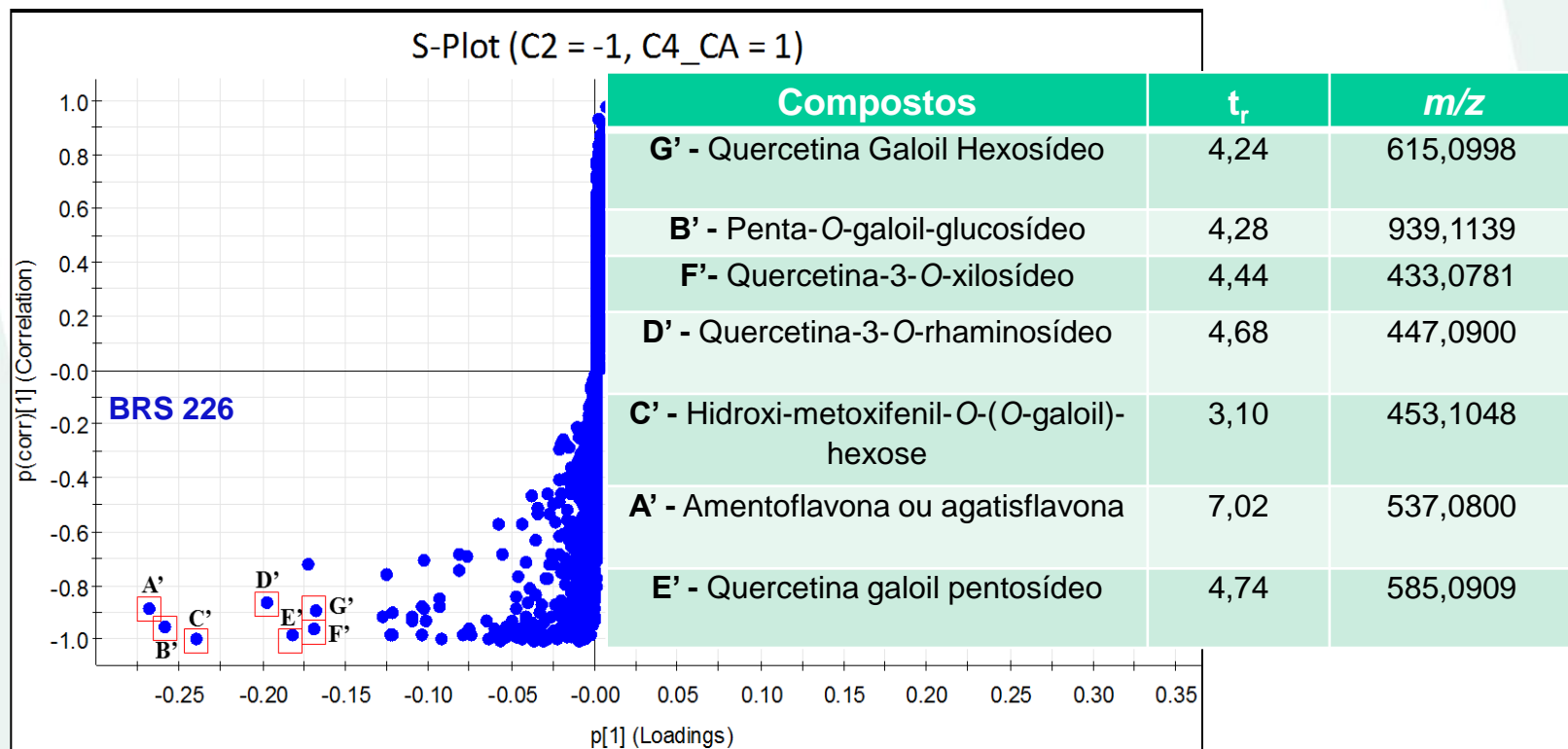
Fonte: Elaborada pelo autor

Compostos	t _r	m/z	p[1]	p[corr][1]
A - Catequina	3,01	289,0669	0,350639	0,922335
B - Dímero de procianidina tipo B	2,74	577,1382	0,175672	0,973503
C - 2,4-di-hidroxi-3-(3,4,5-tri-hidroxibenzoil) oxibenzoato de etilo	5,44	349,0543	0,15251	0,890879
G' - Quercetina Galoil Hexosídeo	4,24	615,0998	-0,168821	-0,886397
B' - Penta-O-galoil-glucosídeo	4,28	939,1139	-0,259856	-0,946644
F' - Quercetina-3-O-xilosídeo	4,44	433,0781	-0,170444	-0,948913
D' - Quercetina-3-O-rhaminosídeo	4,68	447,0900	-0,197768	-0,854247
C' - Hidroxi-metoxifenil-O-(O-galoil)-hexose	3,10	453,1048	-0,241299	-0,989756
A' - Amentoflavona ou agatisflavona	7,02	537,0800	-0,268911	-0,876031
E' - Quercetina galoil pentosídeo	4,74	585,0909	-0,183283	-0,974708

Resultados e Discussão

Biomarcadores de Resistência

Figura 17 – Gráfico dispersão (S-plot) para os extratos de folhas do clone 2 relacionados aos dos clone 4 - doente.

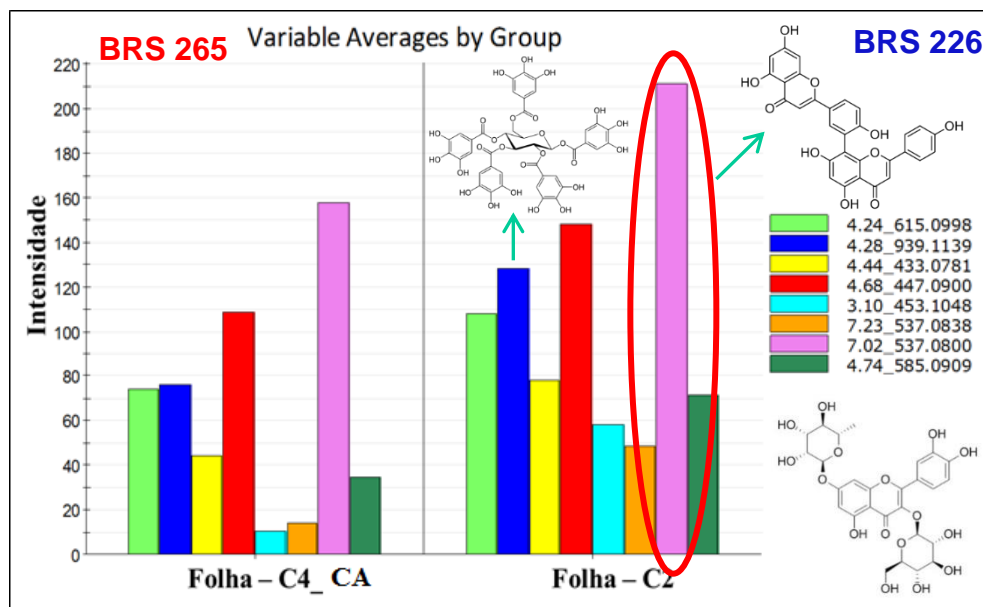


Fonte: Elaborada pelo autor

Resultados e Discussão

Biomarcadores de Resistência

Figura 18 - Variação média dos discriminantes do extrato etanólico do clone 2 em relação ao clone 4 doente.



Fonte: Elaborada pelo autor

AMENTOFLAVONA:

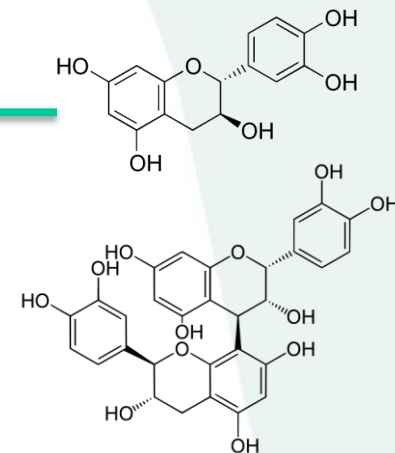
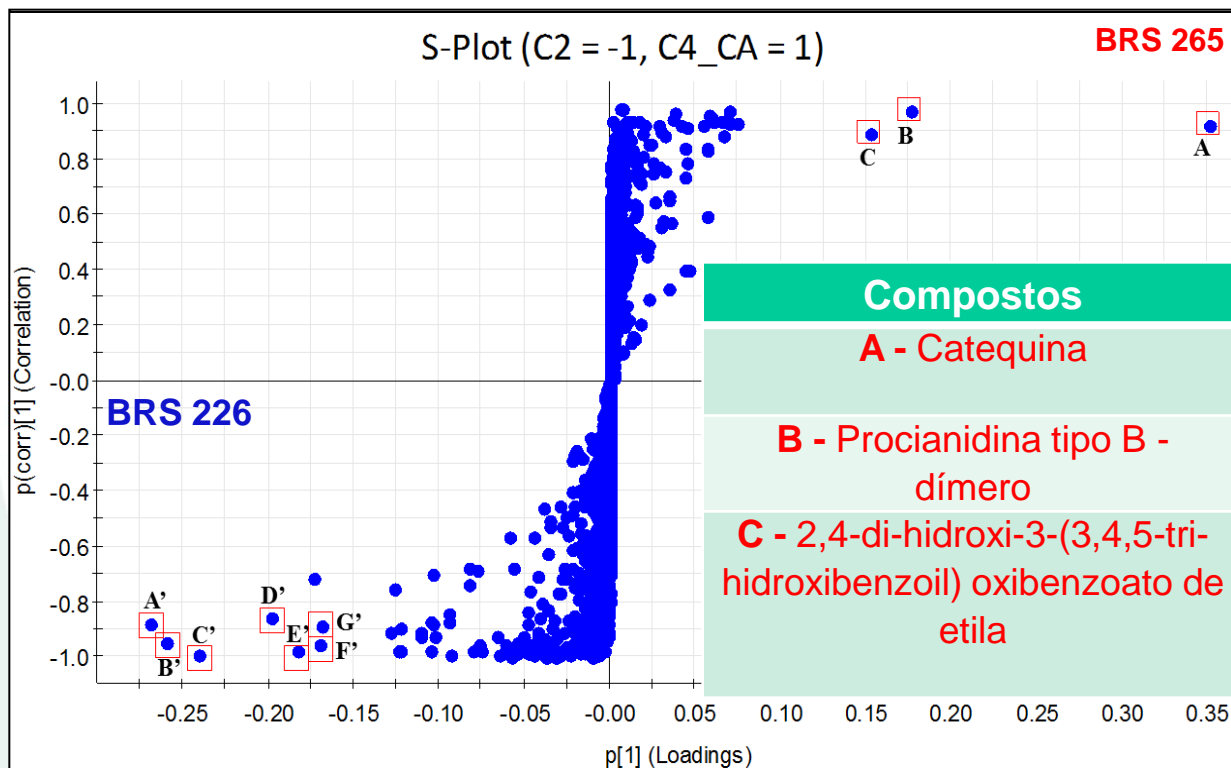
Atividade antifúngica
(JUNG et al., 2006)

Compostos	t_r	m/z
G' - Quercetina Galoíl Hexosídeo	4,24	615,0998
B' - Penta-O-galoíl-glucosídeo	4,28	939,1139
F' - Quercetina-3-O-xilosídeo	4,44	433,0781
D' - Quercetina-3-O-rhaminosídeo	4,68	447,0900
C' - Hidroxi-metoxifenil-O-(O-galoíl)-hexose	3,10	453,1048
A' - Amentoflavona ou agatisflavona	7,02	537,0800
E' - Quercetina galoíl pentosídeo	4,74	585,0909

Resultados e Discussão

Biomarcadores de **Suscetibilidade**

Figura 19 – Gráfico dispersão (S-plot) para os extratos de folhas do clone 2 relacionados aos dos clone 4 - doente.

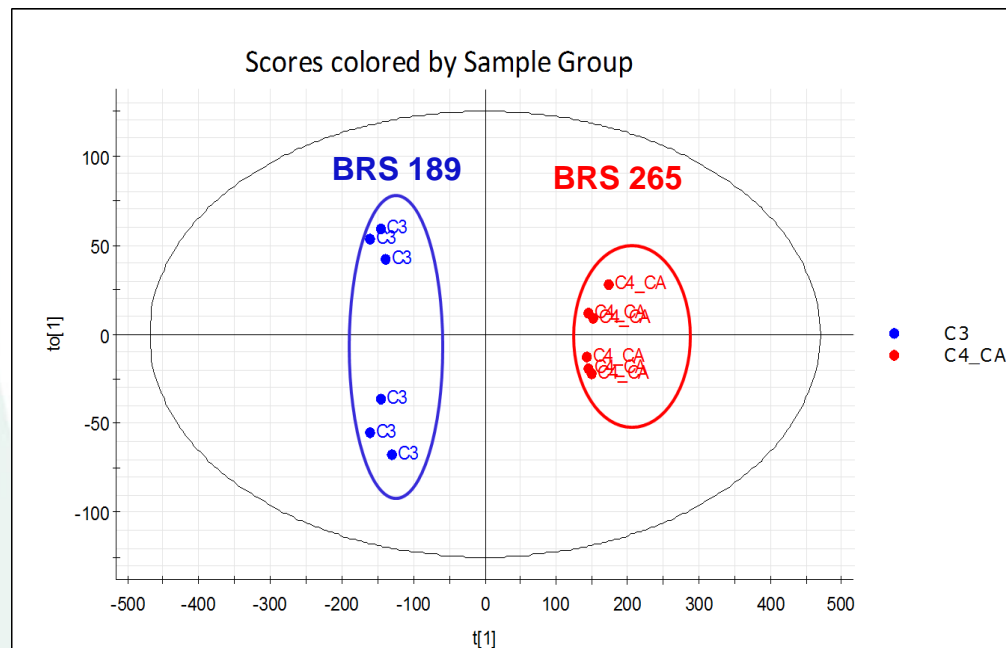


Fonte: Elaborada pelo autor

Resultados e Discussão

➤ Análise Discriminante por Projeções Ortogonais a Estruturas Latentes (OPLS-DA):

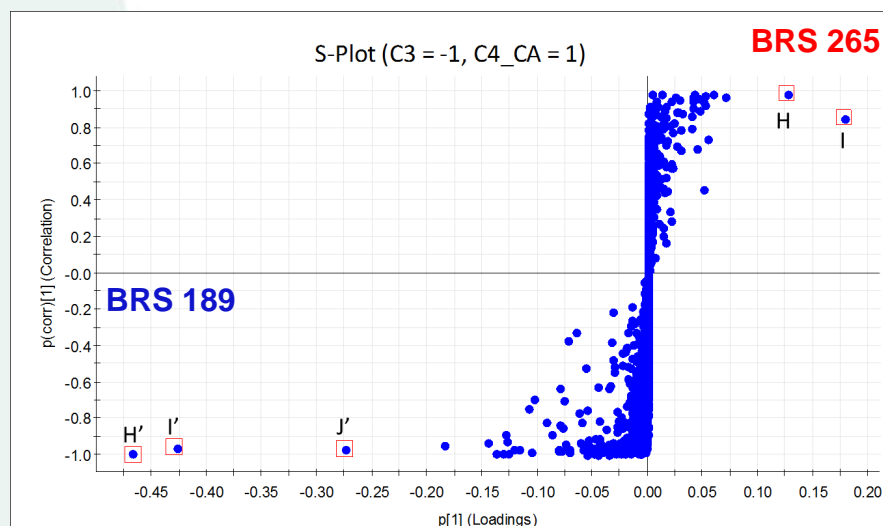
Figura 20 – Gráfico de scores da OPLS-DA para os extratos de folhas do clone 3 relacionados aos dos clone 4 - doente.



$R^2Y = 0,99$
 $Q^2 = 0,98$

Resultados e Discussão

Figura 21 – Gráfico dispersão (S-plot) para os extratos de folhas do clone 3 relacionados aos dos clone 4 - doente.



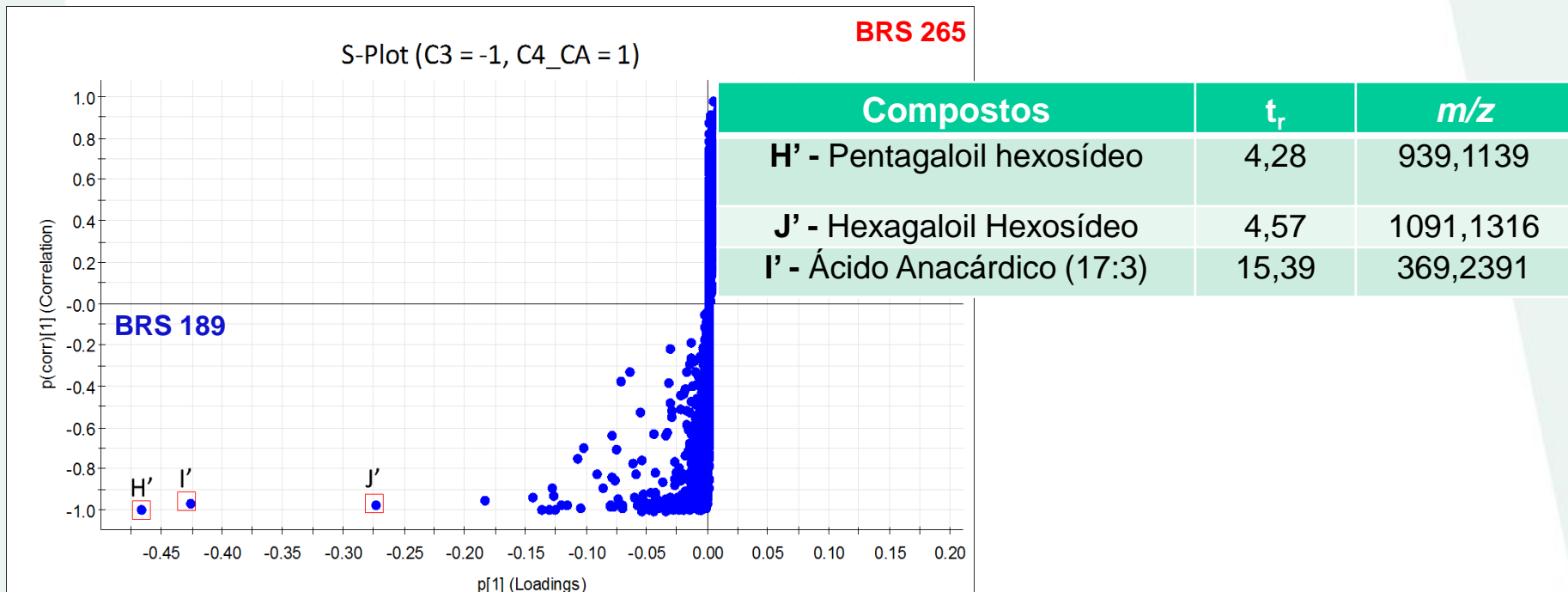
Compostos	t_r	m/z	$p[1]$	$p(\text{corr})[1]$
I – Catequina	3,01	289,0669	0,178502	0,849393
H - Procianidina tipo B – dímero	2,74	577,1382	0,127435	0,982202
H' - Pentagalolil hexosídeo	4,28	939,1139	- 0,467289	-0,989771
J' - Hexagalolil Hexosídeo	4,57	1091,1316	- 0,274869	-0,97266
I' - Ácido Anacárdico (17:3)	15,39	369,2391	-0,42684	-0,962733

Fonte: Elaborada pelo autor

Resultados e Discussão

Biomarcadores de Resistência

Figura 22 – Gráfico dispersão (S-plot) para os extratos de folhas do clone 3 relacionados aos dos clone 4 - doente.

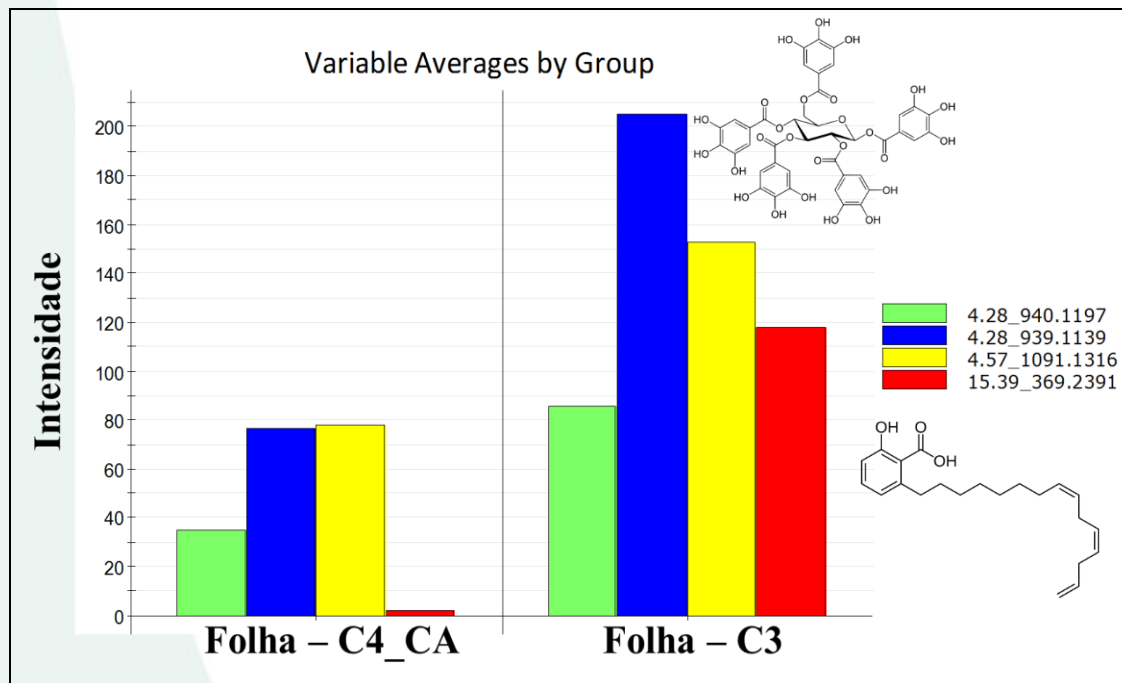


Fonte: Elaborada pelo autor

Resultados e Discussão

Biomarcadores de Resistência

Variação média dos discriminantes do extrato etanólico do clone 3 em relação ao clone 4 doente.

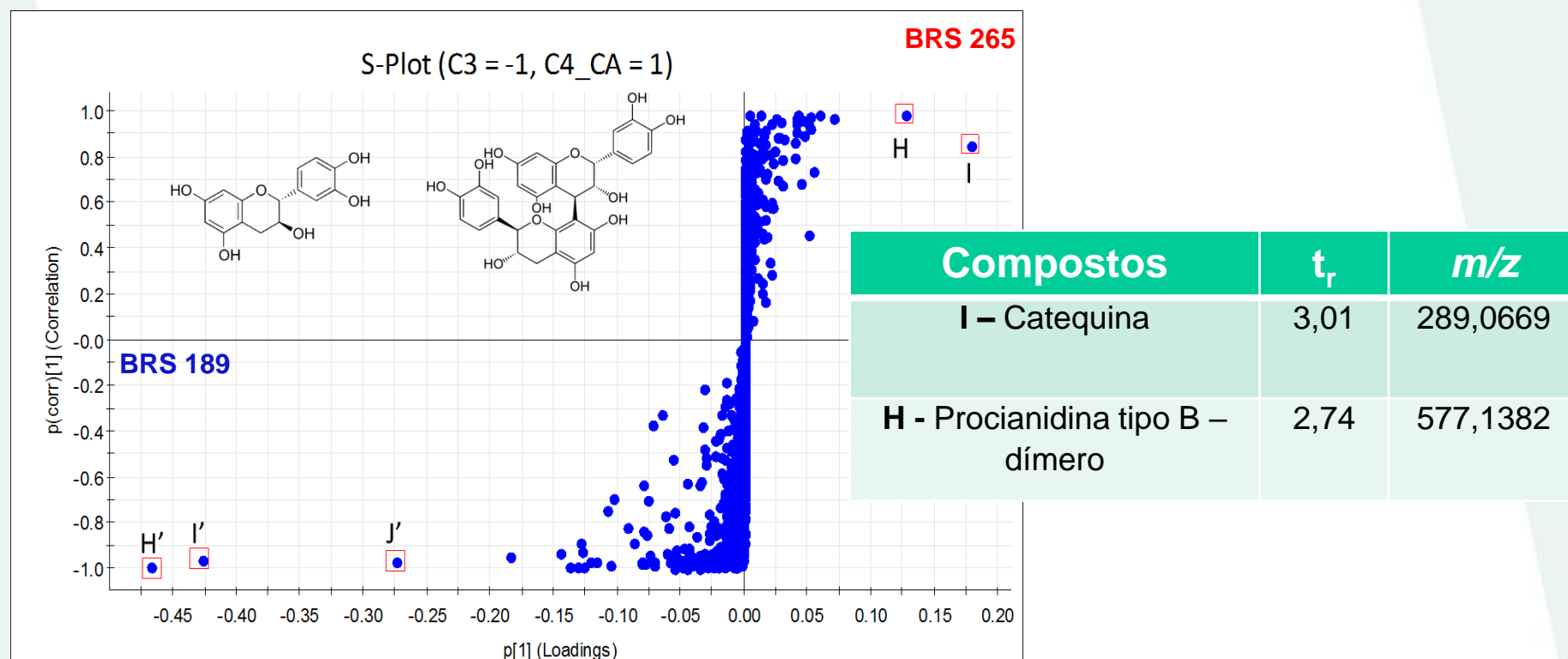


Fonte: Elaborada pelo autor

Resultados e Discussão

Biomarcadores de **Suscetibilidade**

Figura 24 – Gráfico dispersão (S-plot) para os extratos de folhas do clone 3 relacionados aos dos clone 4 - doente.

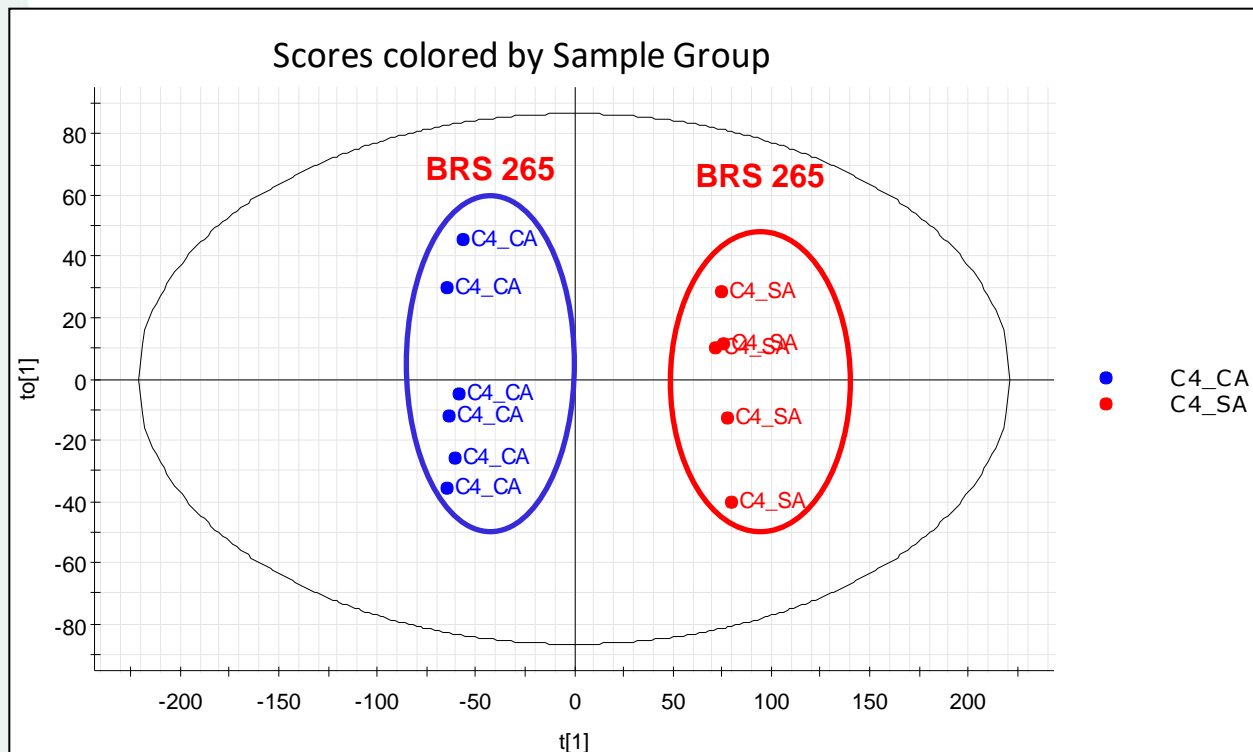


Fonte: Elaborada pelo autor

Resultados e Discussão

Biomarcadores de **Suscetibilidade**

Figura 25 – Gráfico de scores da OPLS-DA para os extratos de folhas do clone 4 (saudável) relacionados aos dos clone 4 (doente).



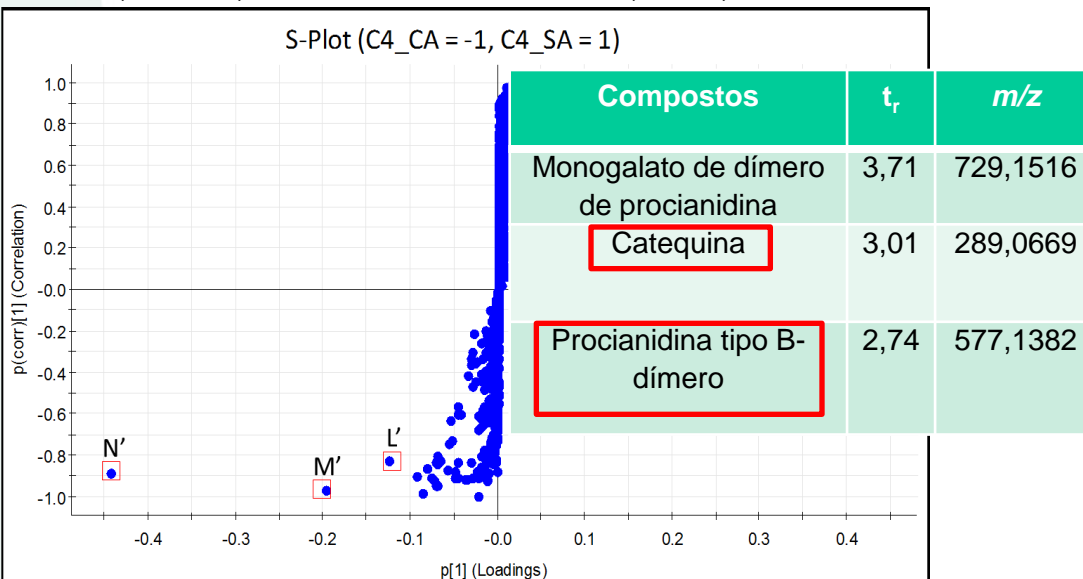
$R^2Y = 0,99$
 $Q^2 = 0,97$

Fonte: Elaborada pelo autor

Resultados e Discussão

Biomarcadores de **Suscetibilidade**

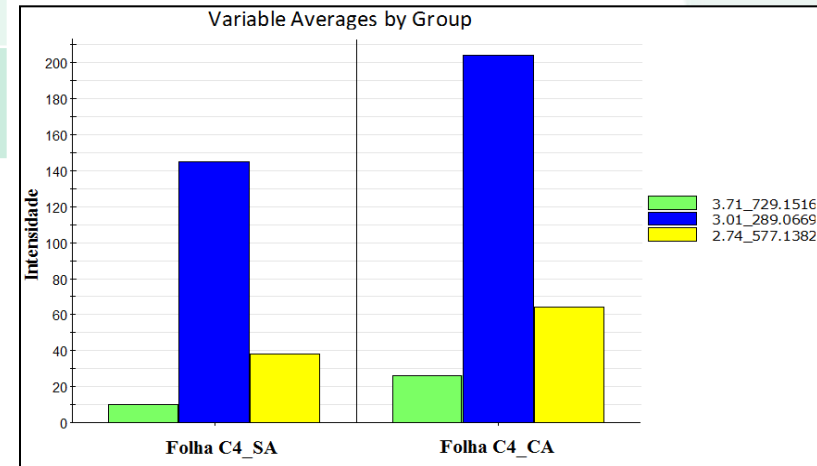
Figura 26 – Gráfico dispersão (S-plot) para os extratos de folhas do clone 4 (saudável) relacionados aos dos clone 4 (doente).



Fonte: Elaborada pelo autor

Total de quatro biomarcadores de suscetibilidade ligados às comparações entre a planta doente do clone 4 e as demais plantas saudáveis.

Figura 27 –Variação média dos discriminantes do extrato etanólico do clone 4 (saudável) em relação ao clone 4 (doente).



Fonte: Elaborada pelo autor